



UNIUNEA EUROPEANĂ



GUVERNUL ROMÂNIEI
MINISTERUL MUNCII, FAMILIEI
ȘI PROTECȚIEI SOCIALE
AMPOSDRU



Fondul Social European
POSDRU 2007-2013



Instrumente Structurale
2007-2013



MI
OPOSDRU



UNIVERSITATEA "POLITEHNICA"
din BUCUREȘTI

FONDUL SOCIAL EUROPEAN

Investește în oameni!

Programul Operațional Sectorial pentru Dezvoltarea Resurselor Umane 2007 – 2013

Proiect POSDRU/6/1.5/S/19 – Pregătirea competitivă a doctoranzilor în domenii prioritare ale societății bazate pe cunoaștere



UNIVERSITATEA POLITEHNICA DIN BUCUREȘTI

Facultatea de Automatică și Calculatoare

Catedra de Calculatoare

Nr. Decizie Senat 211 din 15.09.2011

TEZĂ DE DOCTORAT

Soluții de asigurare a calității sistemelor software de monitorizare și control a stațiilor electrice

Quality assurance solutions for electrical substations monitoring and control software systems

Autor: Ing. Victor Ursianu

COMISIA DE DOCTORAT

Președinte	Prof. Dr. Ing. Dumitru Popescu	de la	Facultatea de Automatică și Calculatoare, Universitatea POLITEHNICA din București
Conducător de doctorat	Prof. Dr. Ing. Florica Moldoveanu	de la	Facultatea de Automatică și Calculatoare, Universitatea POLITEHNICA din București
Referent	Prof. Dr. Ing. Sergiu Stelian Iliescu	de la	Facultatea de Automatică și Calculatoare, Universitatea POLITEHNICA din București
Referent	Prof. Dr. Ion Smeureanu	de la	Facultatea de Cibernetică, Statistică și Informatică Economică, Academia de Studii Economice din București
Referent	Prof. Dr. Ing. Mat. Dumitru Dan Burdescu	de la	Facultatea de Automatică, Calculatoare și Electronică, Universitatea din Craiova

București, 2011

Rezumat

Există mai multe puncte de vedere privind calitatea software, de la atribute de calitate internă, până la satisfacția utilizatorului. În funcție de scopul software-ului și mediul în care funcționează, anumiți factori de calitate sunt mai importanți decât alții. Această teză încearcă să definească soluțiile adecvate pentru asigurarea calității unui sistem software de monitorizare și control în domeniul energetic, sistem care poate fi încadrat în categoria sistemelor critice. Un astfel de sistem poate fi considerat o componentă dintr-un Smart Grid, un domeniu care capătă o din ce în ce mai mare amploare la nivel mondial și care reprezintă viitorul în sectorul energetic.

Am încercat să clarific și să propun soluții de asigurare a calității sistemelor software de monitorizare și control din domeniul energetic.

Sunt subliniate aspecte ale sistemelor software de monitorizare și control precum și al tehnicilor de asigurare a calității acestora.

Pentru testarea componentelor unui astfel de sistem, am dezvoltat un simulator pentru echipamentele de monitorizare tip IED (Intelligent Electronic Device), care poate fi configurat pentru diferite tipuri de echipamente electrice monitorizate. Acest simulator generează automat date de test, pornind de la domeniile de valori ale parametrilor echipamentelor electrice monitorizate.

Datorită faptului că standardul IEC61850 este unanim acceptat de către marii fabricanți de echipamente de monitorizare și control a stațiilor electrice, s-a utilizat limbajul SCL de configurare a unei stații electrice pentru modelarea sistemului analizat în studiul de caz.

Pentru estimarea fiabilității unui sistem de monitorizare și control a unei stații electrice, am propus utilizarea modelului matematic al rețelei Bayesiene. De asemenea, am utilizat modelul Rayleigh pentru estimarea ratei de defectare a componentelor de monitorizare din cadrul sistemului din studiul de caz. Pentru estimarea momentului de timp al defectării sistemului am propus un model de tip lanț Markov cu patru stări ale sistemului. Identificarea celor două stări intermediare, între cea de funcționare perfectă și cea de nefuncționare, poate aduce avantaje financiare imense, deoarece poate preveni ajungerea sistemului în starea de nefuncționare, cu efecte imprevizibile (posibil catastrofale) datorită nefuncționării stației electrice.

Aplicația software de modelare și evaluare a rețelei Bayesiene, pe care am dezvoltat-o, permite preluarea configurației stației electrice dintr-un fișier scris în limbajul SCL, completarea acestei configurații cu noi noduri și calcularea probabilității de defectare a sistemului ținând cont de probabilitățile de defectare ale fiecărui nod al rețelei.

Cuprins

Lista de figuri și tabele	8
Lista de figuri.....	8
Lista de tabele.....	10
1. Introducere.....	11
1.1. Problema calității software.....	11
1.2. Importanța asigurării calității software	11
1.3. Structura și obiectivele tezei	13
2. Asigurarea calității software.....	17
2.1. Calitățile generale ale unui produs software	17
2.2. Metrici pentru evaluarea calității software.....	20
2.2.1. Categoriile de metrici software.....	20
2.2.2. Metrici integrate în Visual Studio .NET.....	27
2.3. Metode și tehnici de asigurare a calității sistemelor software	30
2.3.1. Prevenirea injectării defectelor în software	30
2.3.2. Tehnici de eliminare a defectelor.....	31
2.3.3. Tehnici de toleranță la defecte	31
2.4. Concluzii	42
3. Analiza aspectelor de calitate pentru un sistem de monitorizare și control a unei stații electrice	43
3.1. Arhitectura generală pentru un sistem de monitorizare și control a unei stații electrice	43
3.2. Sisteme existente de monitorizare și control a stațiilor electrice.....	44
3.2.1. Sistemul General Electric	44
3.2.2. Sistemul ABB	46
3.2.3. Sistemul Siemens.....	47
3.2.4. Sistemul AREVA.....	49

3.2.5.	Sistemul Nova Industrial.....	50
3.3.	Smart Grid	53
3.4.	Probleme care pot cauza căderi ale sistemului.....	56
3.5.	Concluzii	58
4.	Studiu de caz: soluții pentru asigurarea calității sistemului de monitorizare și control EMCSIT	59
4.1.	Particularitățile sistemului.....	59
4.2.	Dezvoltarea unui simulator de echipamente de monitorizare și control (IED-uri) pentru testarea sistemului	62
4.2.1.	Simularea unui IED pentru un întreruptor	68
4.2.2.	Simularea unui IED pentru un separator.....	69
4.2.3.	Simularea unui IED pentru un descărcător	71
4.2.4.	Simularea unui IED pentru un transformator de tensiune/curent	73
4.3.	Generarea cazurilor de test– Metoda Pairwise testing	75
4.4.	Asigurarea securității sistemului EMCSIT	79
4.5.	Implementarea unor tehnici de toleranță la defecte	79
4.5.1.	Folosirea de Blocuri de Recuperare	79
4.5.2.	Utilizarea tehnicilor de duplicare	82
4.5.3.	Utilizarea tehnicilor de reconfigurare și reîntinerire (reconfiguration and rejuvenation).....	83
4.6.	Concluzii	84
5.	Standardul IEC61850	85
5.1.	Introducere	85
5.2.	Limbajul SCL.....	89
5.3.	Concluzii	90
6.	Utilizarea unor modele matematice pentru estimarea fiabilității sistemelor de monitorizare și control a stațiilor electrice	91
6.1.	Modelul de distribuție Rayleigh.....	91

6.2. Modelul matematic al lanțului Markov	100
6.3. Rețele Bayesiene	104
6.3.1. Modelul matematic	104
6.3.2. Modelarea unui sistem de monitorizare și control a unei stații electrice conform standardului IEC61850 printr-o rețea Bayesiană	106
6.3.3. Studiu de caz: modelarea sistemului EMCSIT printr-o rețea Bayesiană	108
6.4. Concluzii	112
7. Aplicația software pentru estimarea fiabilității unui sistem de monitorizare și control a unei stații electrice	114
7.1. Modulul Parser SCL.....	114
7.2. Modulul Calcul BN	116
7.3. Rezultate obținute	121
7.4. Concluzii	127
8. Concluzii, contribuții proprii și planuri de cercetare pentru viitor	129
8.1. Concluzii	129
8.2. Contribuții proprii	131
8.3. Planuri de cercetare pentru viitor	134
Lista lucrărilor autorului	135
Bibliografie	138
Anexe	142
Anexa 1. Exemplu de configurare a unei stații electrice în limbajul SCL.....	142
Anexa 2. Modelarea în limbajul SCL a stației electrice studiu de caz.....	148
Anexa 3. Rezultatele matematice pentru modelul de distribuție Rayleigh	152
Anexa 4. Estimarea probabilității de defectare a sistemului de monitorizare și control utilizând rețeaua Bayesiană.....	156
Anexa 5. Exemplu de date de test generate prin metoda Pairwise testing	165

Lista de figuri și tabele

Lista de figuri

- Fig. 2.2.1.1. Rata apariției defectelor în timpul testării
- Fig. 2.3.3.1. Graficul ratei de defectare a unui echipament hardware/electric în funcție de vârsta sa
- Fig. 2.3.3.2. Graficul ratei de defectare pentru un produs software
- Fig. 2.3.3.1.1. Structura și operarea blocurilor de recuperare
- Fig. 2.3.3.2.1. Structura NVP
- Fig. 2.3.3.4.1. Reconfigurarea și reținerea
- Fig. 2.3.3.5.1. Exemplificarea BFT prin algoritmul recursiv al lui Lamport
- Fig. 3.1.1. Arhitectura generală a unui sistem de monitorizare și control a unei stații electrice
- Fig. 3.2.1.1. Arhitectura sistemului iSM&D
- Fig. 3.2.1.2. Fereastra principală a aplicației software din sistemul iSM&D
- Fig. 3.2.2.1. Fereastra principală a sistemului de monitorizare ABB SMS510
- Fig. 3.2.3.1. Sistemul de monitorizare Siemens ISCM
- Fig. 3.2.4.1. Sistemul de monitorizare AREVA PACiS
- Fig. 3.2.5.1. Aplicația EMCSIT Stație și integrarea modulului EMCSIT client pentru monitorizarea unui întreruptor
- Fig. 3.3.1. Model Conceptual SMART GRID
- Fig. 4.1.1. Arhitectura hardware pentru monitorizarea stației electrice - Substația de 110kV (parte a stației electrice)
- Fig. 4.1.2. Conexiunea serverelor locale cu serverul central
- Fig. 4.2.1. Ansamblul echipament electric – IED – server local
- Fig. 4.2.2. Ansamblul simulator IED – aplicație server EMCSIT
- Fig. 4.2.3. Fereastra de configurare a simulatorului de IED-uri
- Fig. 4.2.1.1. Aplicația software server pentru întreruptor
- Fig. 4.2.2.1. Aplicația software server pentru separator
- Fig. 4.2.3.1. Aplicația software server pentru descărcător
- Fig. 4.2.4.1. Aplicația software server pentru transformator de măsură de curent/tensiune
- Fig. 4.3.1. Exemplu de utilizare a simulatorului de IED pentru un transformator de curent/tensiune.
- Fig. 4.3.2. Aplicația software server pentru transformator de măsură curent/tensiune

Fig. 4.5.1. Exemplu de implementare a blocurilor de recuperare în cadrul proiectului EMCSIT

Fig. 5.1.1. Modelarea conceptuală conform standardului IEC61850

Fig. 5.1.2. Standarde pentru comunicarea în interiorul unei stații electrice

Fig. 5.2.1. Proiectarea unei stații electrice cu ajutorul SCL

Fig. 6.1. Graficul pentru funcția de densitate a probabilității în funcție de valoarea parametrului σ

Fig. 6.1.1. Reprezentarea grafică a numărului de defecte pentru aplicația tip server pentru IED-urile ce monitorizează întreruptoarele (IED1)

Fig. 6.1.2. Reprezentarea grafică a numărului de defecte pentru aplicația tip server pentru IED-urile ce monitorizează separatoarele (IED4)

Fig. 6.1.3. Reprezentarea grafică a numărului de defecte pentru aplicația tip server pentru IED-urile ce monitorizează descărcătoarele (IED3)

Fig. 6.1.4. Reprezentarea grafică a numărului de defecte pentru aplicația tip server pentru IED-urile ce monitorizează transformatoare de măsură (IED4)

Fig. 6.1.5. Reprezentarea grafică a numărului de defecte pentru aplicația tip server pentru IED-urile ce monitorizează transformatoare de putere/bobine de compensare (IED5)

Fig. 6.1.6. Aplicarea modelului de distribuție Rayleigh pentru aplicația tip server IED1

Fig. 6.1.7. Aplicarea modelului de distribuție Rayleigh pentru aplicația tip server IED2

Fig. 6.1.8. Aplicarea modelului de distribuție Rayleigh pentru aplicația tip server IED3

Fig. 6.1.9. Aplicarea modelului de distribuție Rayleigh pentru aplicația tip server IED4

Fig. 6.1.10. Aplicarea modelului de distribuție Rayleigh pentru aplicația tip server IED5

Fig. 6.2.1. Reprezentarea stărilor pentru calculul FPT

Fig. 6.3.1.1. Relația dintre nodul părinte și nodul fiu într-o rețea Bayesiană

Fig. 6.3.1.2. Exemplu tabelă de probabilități condiționate

Fig. 6.3.1.3. Exemplu de rețea Bayesiană

Fig. 6.3.2.1. Exemplu de influență între nodurile unei rețele Bayesiene

Fig. 6.3.2.2. Arhitectura simplificată a sistemului de monitorizare și control

Fig. 6.3.3.1. Reprezentarea sistemului EMCSIT printr-o rețea Bayesiană

Fig. 7.1.1. Fereastra principală a aplicației Parser SCL

Fig. 7.1.2. Rezultate obținute

Fig. 7.2.1. Fereastra principală a aplicației

Fig. 7.2.2. Nodurile rețelei Bayesiene

Fig. 7.2.3. Adăugare de noi noduri în rețeaua Bayesiană

Fig. 7.2.4. Definirea tipurilor de noduri pentru rețeaua Bayesiană

Fig. 7.2.5. Vizualizare noduri rețea Bayesiană și tipul lor

Fig. 7.2.6. Fereastra de încărcare a datelor de defectare pentru IED-uri

Fig. 7.2.7. Fereastra de afișare a rezultatelor finale

Fig. 7.3.1. Rețeaua Bayesiană pentru serverul central SS1 și serverele locale din cabinetele de rele

Fig. 7.3.2. Rețeaua Bayesiană pentru serverul central SS1 și serverele locale din cabinetele de rele

Lista de tabele

Tabel 2.2.1. Metrici interne și limitele lor

Tabel 4.3.1. Valorile de test pentru 6 mărimi analogice

Tabel 7.3.1. Număr de defecte pe tipuri de IED-uri pentru fiecare cabină de rele

1. Introducere

1.1. Problema calității software

Problema calității sistemelor software de monitorizare și control din domeniul energetic este de mare complexitate.

Calitatea sistemului depinde de calitatea tuturor componentelor sale, hardware și software. Corectitudinea funcționării unui sistem de timp real depinde atât de rezultatele calculelor cât și de momentul în care sunt ele disponibile. În cazul sistemelor embedded, calitatea depinde de întregul ansamblu calculator-echipament.

În ultimii 10-15 ani, sistemele de timp real au evoluat ca urmare a cercetărilor și rezultatelor deosebite din acest domeniu, care au fost imperativ cerute de necesitatea proiectării unor aplicații concrete, foarte complexe, critice, ce implică siguranță și predictibilitate deosebite: sisteme de control al traficului aerian, sisteme informaționale distribuite, centrale nucleare, sisteme de apărare spațiale, largi sisteme de comandă și control în producție, etc.

Aplicațiile în timp real din prima generație rulau pe sisteme monoprocesor, problemele ce le rezolvau fiind relativ simple și nepresupunând algoritmi sofisticăți sau prelucrări foarte complexe. În domeniul energetic, aplicațiile constau din conducerea centralelor electrice astfel încât să se reducă prețul de cost al energiei.

Pe lângă activitatea de control a instalațiilor se cere și monitorizarea producerii, transportului și distribuiri. Timpii de răspuns sunt de ordinul microsecundelor sau milisecundelor pentru partea de control, ajungând până la o secundă pentru monitorizare. Numărul de sarcini (taskuri) este mare (de ordinul zecilor). Sistemele de acest tip au o mare funcționalitate, iar complexitatea proiectării este ridicată. În cadrul interfeței cu operatorii, se folosesc de obicei reprezentări grafice ale echipamentelor electrice monitorizate și/sau controlate și valorile numerice ale parametrilor achiziționați pentru acestea.

În ceea ce privește calitatea software pentru aceste sisteme, vom folosi următorii termeni:

- **Defect (Defect):** o problemă software legată de comportarea sa externă sau caracteristicile sale interne, o anomalie în produsul software (“bug”).
- **Cădere (Failure):** incapacitatea unui sistem sau componentă de a-și realiza funcțiile cerute conform specificațiilor de performanță (IEEE 610.12, 1990).

- **Greșeală (Fault):** un pas, proces incorect, o definiție de date incorectă într-un program (IEEE 610.12).
- **Eroare (Error):** o acțiune umană care produce un rezultat incorect (IEEE 610.12).

Astfel, căderea poate fi interpretată ca o abatere comportamentală de la cerințele utilizatorului sau de la specificația produsului în timpul operării, greșeala ca fiind condiție existentă în software care cauzează o cădere iar eroarea reprezintă o acțiune umană absentă sau incorectă care are ca efect injectarea unor greșeli în produsul software.

1.2. Importanța asigurării calității software

Datorită experienței dobândite în domeniul calității software și în ultimii ani în domeniul monitorizării echipamentelor electrice primare și apoi al stațiilor electrice în totalitate, din punct de vedere al aparatajului primar, consider că aceste sisteme de monitorizare și control pot fi îmbunătățite. Există mai multe aspecte ce pot fi studiate, inclusiv pe partea de proiectare, dezvoltare și mentenanță a acestor sisteme.

Mai întâi de toate, trebuie conștientizată importanța domeniului energetic. Acesta este un domeniu fundamental al dezvoltării economice naționale și internaționale. Fără energie, nu se poate dezvolta nimic. Pentru dezvoltarea conceptului de Smart Grid (Rețea Inteligentă) sunt puse la dispoziție fonduri financiare uriașe la nivelul Uniunii Europene și nu numai.

Există o părere unanimă a specialiștilor în acest domeniu că domeniul energetic și viitorul Smart Grid nu poate funcționa fără monitorizarea parametrilor echipamentelor electrice din cadrul stațiilor electrice.

Stațiile electrice reprezintă zona intermediară cea mai importantă între producătorul de energie (hidrocentrale, termocentrale, centrale nucleare, eoliene, etc.) și utilizatorul final.

În funcție de tipul lor constructiv, stațiile electrice se împart în mai multe categorii. În cadrul tezei de doctorat, m-am referit la stațiile electrice de transformare aparținând rețelei electrice naționale de transport a energiei electrice (RET). Soluțiile de asigurare a calității software prezentate, împreună cu modelele matematice propuse pot fi folosite fără probleme și la alte tipuri de stații electrice.

Calitatea unui produs software este dată de “capacitatea sa de a putea fi utilizat eficient, efectiv și confortabil, de către un set de utilizatori, pentru un set de scopuri, în condiții specificate”.

Asigurarea calității software a sistemului este foarte importantă din necesitatea de a avea un produs fiabil, cu cât mai puține defecte și căderi. Personalul din stație este

principalul beneficiar al unui produs fiabil întrucât folosește informațiile furnizate de sistem pentru raportări către dispecerat și mai apoi pentru a lua decizii operative. Totodată informațiile achiziționate de la sistemul de monitorizare și control sunt raportate mai departe la dispeceratul zonal și mai apoi la dispeceratul energetic național (DEN), principalul organism din domeniu care are date despre situația tuturor stațiilor electrice la orice moment de timp. Toate deciziile de retragere din exploatare sau comenzile importante pentru echipamentele electrice se iau cu aprobarea sau la indicațiile dispeceratului. De aceea, orice informație eronată transmisă sau orice întârziere de raportare a unui defect sau a unei avarii poate duce la funcționarea imperfectă și la decizii greșite luate de către dispecerat.

În cazul cel mai rău, situația poate genera un dezechilibru energetic în zona respectivă și pagube materiale importante pentru consumatori.

1.3. Structura și obiectivele tezei

Următoarele capitole ale tezei sunt:

- Capitolul 2, intitulat “Asigurarea calității software” descrie pe scurt standardul ISO9126 și modelul de calitate software împărțit în 6 caracteristici de calitate și 21 de subcaracteristici. Sunt descrise categoriile în care se împart metricile software: metrici de dimensiune, complexitate, calitate a produsului și respectiv metrici interne ale procesului.

Sunt prezentate soluții de asigurare a calității software, care presupun utilizarea de tehnici și metode de prevenire a injectării defectelor precum și tehnici de eliminare a defectelor și izolare a acestora.

S-a pus accentul pe activitățile de inspecție și testare, utilizarea blocurilor de recuperare, N-version programming, self-checking precum și tehnici mai noi ca reconfigurare și reîntinerire, BASE. De asemenea, sunt descrise pe scurt aspecte de asigurare a siguranței transmisiei datelor în cadrul unei stații electrice.

- Capitolul 3, intitulat “Analiza aspectelor de calitate ale unui sistem software de monitorizare și control a unei stații electrice” prezintă arhitectura generală a unui astfel de sistem. Sunt enumerate sisteme existente produse de fabricanți cunoscuți în domeniul energetic.

Este prezentat sistemul de monitorizare și control EMCSIT care a fost utilizat ca și studiu de caz. Se face o analiză a aspectelor de calitate software plecând de la un punct de vedere general și apoi sunt descrise particularitățile unui sistem software de monitorizare și control a unei stații electrice. Sunt identificate problemele care pot apărea în dezvoltarea, funcționarea și operarea acestui sistem.

Pornind de la rezultatele acestor analize, sunt propuse tehnici de asigurare a calității software pentru sistemele de monitorizare și control a unei stații electrice și estimarea fiabilității acestora.

- Capitolul 4, intitulat “Studiu de caz: asigurarea calității software pentru sistemul de monitorizare și control EMCSIT” prezintă arhitectura și funcționalitatea sistemului EMCSIT de monitorizare și control a unei stații electrice din România.

Sunt descrise soluțiile și exemple de aplicare a acestor soluții pentru asigurarea și îmbunătățirea calității software a acestui sistem. Pentru îmbunătățirea procesului de testare a IED-urilor incluse în acest sistem este propusă dezvoltarea și utilizarea unui simulator software ce generează pachete de date și le trimite pe interfața serială a calculatorului server. Aceste date sunt achiziționate de aplicațiile software tip server EMCSIT dezvoltate pentru fiecare tip de IED și care sunt instalate pe același calculator. Datele de intrare pentru simulator sunt generate utilizând limitele tehnologice pentru mărimile electrice monitorizate.

Aplicând metoda *Pairwise testing* se generează mult mai puține cazuri de test față de numărul total de combinații însă acestea pot conduce la descoperirea a aproximativ 70% din erori în timpul testării.

- Capitolul 5, intitulat ”Standardul IEC61850” descrie limbajul SCL de configurare a unei stații electrice și aspecte generale ale standardului IEC61850. Acest standard a fost ales întrucât este unanim acceptat de producătorii de echipamente de monitorizare și control din domeniu.

Sunt prezentate aspecte generale privind IEC61850 și utilizarea acestuia în cadrul unei stații electrice. Este prevăzută folosirea IED-uri (Intelligent Electronic Device) pentru monitorizarea echipamentelor electrice primare. IED-ul reprezintă, conform IEC61850 orice echipament ce include unul sau mai multe procesoare

(microcontrollere) cu posibilitatea de a primi sau trimite date de la sau către o sursă externă, sau de a controla acea sursă.

Limbajul SCL a fost ales în continuare pentru configurarea unei stații electrice ce include componentele unui sistem software de monitorizare și control. Structura generală a unui fișier scris în limbajul SCL permite descrierea echipamentelor electrice din cadrul unei stații precum și asocierea IED-urilor destinate monitorizării și respectiv controlului acestora.

- Capitolul 6, intitulat “ Utilizarea unor modele matematice pentru estimarea fiabilității sistemelor de monitorizare și control a stațiilor electrice” prezintă modelul de distribuție Rayleigh și rezultatele aplicării acestui model asupra ratelor de defectare obținute pentru sistemul EMCSIT folosit ca studiu de caz.

Este prezentat modelul matematic al lanțurilor Markov și o propunere de implementare a acestui model. Se propune încadrarea unei aplicații software în 4 stări posibile: stare bună, acceptabilă, proastă respectiv inacceptabilă. Sunt propuse mai multe criterii pentru a încadra aplicația software într-una din stări, cel ales de mine se bazează pe rata pachetelor de date neachiziționate de la server. În urma modelării aplicației software utilizând un lanț Markov, se poate estima starea curentă a sistemului și timpul de trecere dintr-o stare în alta. Se poate prezice momentul când acest sistem va cădea sau se va defecta.

Tot în acest capitol, se prezintă modelarea unei rețele Bayesiene având drept noduri tip părinte, IED-urile ce monitorizează echipamentele electrice. Cu ajutorul informațiilor privind rata de defectare/cădere a acestora, se propune estimarea fiabilității sistemului de monitorizare și control prin calculul probabilității de defectare a nodurilor rețelei și a întregului sistem.

- Capitolul 7, intitulat “ Aplicație software pentru estimarea fiabilității unui sistem de monitorizare și control a unei stații electrice” descrie componentele incluse în aplicația dezvoltată pentru estimarea fiabilității sistemului: *Parser SCL* și *Calcul BN*. Pornind de la configurația unei stații electrice descrisă în limbajul SCL, sunt colectate informații privind IED-urile ce monitorizează echipamentele electrice. Modulul *Parser SCL* citește informațiile din fișierul scris în limbajul SCL și pune la dispoziția modulului *Calcul BN*, date reprezentând IED-urile instalate în stație. Acestea

reprezintă nodurile rețelei Bayesiene. Se pot edita legăturile între noduri, definind cele două tipuri de noduri: nod de tip fiu și nodurile de tip părinte.

Putem completa configurația stației electrice în limbajul SCL conform standardului IEC61850, adăugând noduri de tip calculator Server- local, noduri de tip calculator Client, noduri de tip Server de baze de date, etc. Utilizând informații privind rata de defectare/cădere a IED-urilor, modulul *Calcul BN* poate calcula probabilitatea de defectare a întregului sistem de monitorizare și control a stației electrice.

- Capitolul 8, intitulat “Concluzii, contribuții proprii și planuri de cercetare pentru viitor” prezintă concluziile cercetării și contribuțiile proprii originale dezvoltate și aplicate în scopul asigurării calității sistemelor software de monitorizare și control a stațiilor electrice. Sunt propuse direcții de cercetare pentru viitor.

Obiectivele tezei sunt următoarele:

- Identificarea modalităților de îmbunătățire a procesului de dezvoltare software pentru asigurarea unui nivel ridicat de fiabilitate și a unei mentenabilități crescute pentru un sistem de monitorizare și control a unei stații electrice.
- Crearea unor instrumente software de testare a modulelor sistemului și optimizarea acestora.
- Alegerea unor modele matematice utile pentru estimarea fiabilității la nivel de componentă precum și la nivelul întregului sistem.
- Dezvoltarea unor module software pentru estimarea fiabilității sistemului.

2. Asigurarea calității software

2.1. Calitățile generale ale unui produs software

O metrică software este o măsură a unei proprietăți pentru un artefact software. O metrică software trebuie să fie cuantificabilă și să poată fi aplicată unei caracteristici a produsului software. De exemplu, mentenabilitatea (ușurința de întreținere), este o caracteristică a produsului software și este precizată în toate modelele principale de asigurare a calității. O metrică software semnificativă pentru această caracteristică este timpul mediu de reparare a unui defect. O măsură mai bună a cauzei mentenabilității scăzute a unui produs software poate fi și complexitatea codului. Pentru aceasta a fost dezvoltată o metrică de către Thomas McCabe încă din anul 1976. Această metrică permite evaluarea cantitativă a oricărei secvențe de cod sursă. Complexitatea codului poate fi evaluată static, dar timpul mediu de rezolvare a unui bug poate fi estimat în timpul testelor de sistem sau în timpul exploatarei produsului.

Există două puncte de vedere asupra calității software: un punct de vedere extern (A) și respectiv unul intern (B).

A) Calitățile software interne sunt strâns legate de metodele de proiectare și implementare. Ele nu sunt vizibile clientului/utilizatorului dar influențează puternic calitățile externe, mai ales fiabilitatea, eficiența, portabilitatea și ușurința de întreținere.

Câteva dintre acestea sunt:

- coeziunea strânsă la nivelul fiecărui modul (funcție, clasă);
- cuplare scăzută între module;
- complexitate redusă a proiectării și la nivelul codului;
- claritatea codului și a documentării sale;

B) Calitatea externă înseamnă toate proprietățile software-ului pe care utilizatorii săi le pot percepe și prin care îl pot aprecia:

- conformitatea cu așteptările lor (și evoluția acestora);
- fiabilitatea;
- precizia/acuratețea;
- ușurința de utilizare și confortul (inclusiv întârzierea răspunsului);
- robustețea (sau adaptabilitatea la condiții neprevăzute de utilizare);
- adaptabilitate pentru extinderi viitoare sau evoluții;

O aplicație software care prezintă calitate internă ridicată este ușor de modificat, ușor de extins cu noi facilități și ușor de testat. Software-ul cu o calitate internă scăzută este greu de înțeles, greu de schimbat și dificil de extins. Măsuri cum ar fi cele definite de McCabe (complexitate ciclomatică, coeziune, cuplare), punctele funcțiune (introdusă de Allan Albrecht de la IBM) pot fi folosite pentru a estima calitatea internă.

Calitatea software externă este o măsură a modului în care sistemul în ansamblul său îndeplinește cerințele beneficiarului. Aceasta ne ajută să răspundem la următoarele întrebări: Sistemul asigură funcționalitatea necesară? Este interfața clară și coerentă? Software-ul produce valoarea așteptată a afacerii?

Încercările de standardizare a terminologiei referitoare la calitatea produselor software au condus la standardul ISO 9126 (Information Technology - Software Product Quality, Part 1: Quality Model, 1998).

Sunt definite 6 caracteristici de calitate, împărțite în 21 de subcaracteristici.

1) Funcționalitatea: realizarea scopului de bază pentru care a fost realizat produsul.

- **Oportunitatea:** prezența unui set de funcții adecvate pentru taskuri specificate;
- **Precizia:** furnizarea unor rezultate sau efecte corecte sau agreate;
- **Interoperabilitatea:** capacitatea produsului de a interacționa cu sisteme specificate;
- **Securitatea:** capacitatea de a preveni accesul neautorizat, accidental sau deliberat, la programe sau date;
- **Conformitatea:** adeziunea la standarde, convenții, legi și protocoale.

2) Fiabilitatea: capacitatea produsului de a-și menține nivelul de performanță, în condiții definite, pentru o perioadă de timp definită.

- **Maturitatea:** atribut bazat pe frecvența căderilor datorate greșelilor în software;
- **Toleranța la defecte (robustețea):** capacitatea de a-și menține un nivel de performanță specificat în cazuri de căderi software sau intrări neașteptate;
- **Restabilirea după căderi:** capacitatea și efortul necesar pentru restabilirea nivelului de performanță, recuperarea datelor afectate, după posibile căderi;
- **Conformitatea:** adeziunea la standarde, convenții, legi și protocoale.

3) Utilizabilitatea (ușurința de utilizare): efortul necesar pentru utilizarea sa de către un set de utilizatori definit.

- **Ușurința de înțelegere:** efortul solicitat unui utilizator de a recunoaște conceptul logic și aplicabilitatea sa;
 - **Ușurința de învățare:** efortul solicitat unui utilizator de a învăța aplicația, operarea, intrările și ieșirile;
 - **Operabilitatea:** ușurința de operare și de control de către utilizatori;
 - **Puterea de atracție:** capacitatea produsului de a fi atrăgător pentru utilizatori;
 - **Conformitatea:** adeziunea la standarde, convenții, legi și protocoale.
- 4) Eficienta:** relația între nivelul de performanță al produsului și cantitatea de resurse utilizate, în condiții definite.
- **Timp la execuție:** viteza de răspuns, timpi de prelucrare, rata ieșirilor la realizarea funcțiilor;
 - **Utilizarea resurselor:** cantitatea de resurse utilizate și durata utilizării pentru realizarea funcțiilor sale;
 - **Conformitatea:** adeziunea la standarde, convenții, legi și protocoale.
- 5) Ușurința de întreținere:** efortul necesar pentru efectuarea modificărilor, inclusiv corecții, îmbunătățiri sau adaptări ale produsului la schimbări ale mediului de funcționare, a cerințelor și schimbărilor funcționale.
- **Ușurința de analiză:** efortul necesar pentru diagnoza defectelor, a cauzelor căderilor, pentru identificarea părților care trebuie să fie modificate;
 - **Ușurința de modificare:** efortul necesar pentru înlăturarea defectelor sau pentru schimbări;
 - **Stabilitatea:** riscul efectelor neașteptate în urma modificărilor;
 - **Ușurința de testare:** efortul necesar pentru a valida produsul modificat;
 - **Conformitatea:** adeziunea la standarde, convenții, legi și protocoale.
- 6) Portabilitatea:** capacitatea produsului de a fi transferat de la o organizație sau platformă software/hardware la o alta.
- **Adaptabilitatea:** capacitatea de adaptare la diferite medii specificate;
 - **Ușurința de instalare:** efortul necesar pentru instalarea produsului într-un mediu specificat;

- **Co-existența:** capacitatea de a co-exista cu alte produse independente în același mediu;
- **Oportunitatea** și efortul necesar pentru a folosi produsul în locul altui produs într-un mediu particular;
- **Conformitatea:** adeziunea la standarde, convenții, legi și protocoale.

2.2. Metrici pentru evaluarea calității software

O metrică software este o măsură a unei proprietăți a unui artefact software. O metrică software trebuie să fie cuantificabilă și să poată fi aplicată unei caracteristici a produsului software.

2.2.1. Categoriile de metrici software

Sunt următoarele categorii de metrici:

a. Metrici de dimensiune (size metrics)

Metricile de dimensiune sunt folosite pentru aprecierea aspectelor legate de calitate, productivitate și de estimare a costurilor.

➤ **Linii de cod (LOC, Lines Of Code)**

Există în următoarele variante:

- LOC : Lines of Code (linii de cod);
- KLOC : Kilo Lines of Code (kilo-linii de cod);

Este o metrică simplă dacă se specifică ce înseamnă “codul”. Pentru aceasta există următoarele opțiuni:

- Linii de cod executabile;
- Linii de cod executabile, definiții de date și comentarii;
- Linii de cod fizice;
- Altele;

Sunt disponibile următoarele metrici, mai precise față de LOC și respectiv KLOC:

- DSI: instrucțiuni sursă livrate;
- KDSI: kilo-instrucțiuni sursă livrate;
- SSI: instrucțiuni sursă expediate;
- CSI: instrucțiuni sursă noi și schimbate;

SSI (lansarea curentă) are următoarea formulă de calcul: SSI (lansarea precedentă) + CSI (pentru versiunea curentă) – cod șters – cod schimbat (pentru a evita numărarea repetată în SSI și CSI).

➤ **Puncte funcțiune (FP - function points)**

Punctele funcțiune reprezintă dimensiunea funcțională a unui sistem. Analiza punctelor funcțiune (FPA, Function Point Analysis) este o metodă certificată ISO pentru măsurarea dimensiunii funcționale a unui sistem informatic. Dimensiunea funcțională reflectă gradul de funcționalitate care este recunoscut și relevant pentru utilizator și este independentă de tehnologia folosită pentru implementarea sistemului.

Indiferent de limbajul de programare sau mediul în care rulează sistemul, numărul de puncte funcțiune pentru un sistem va fi același. [Swq9-15].

Dimensiunea funcțională, exprimată în puncte funcțiune, poate fi folosită pentru:

- Estimarea bugetului pentru dezvoltarea aplicației sau costurile extinderii;
- Estimarea bugetului anual pentru costurile de mentenanță la portofoliul de aplicații;
- Determinarea productivității proiectului după încheierea lui;
- Determinarea dimensiunii software-ului pentru estimarea costurilor;

FPA (analiza punctelor funcțiune) poate fi folosită și pentru estimarea efortului de testare necesar pentru dezvoltarea software.

Aceasta metrică a fost folosită pentru prima dată în cadrul companiei IBM (Albrecht [Swq9-16]) la mijlocul anilor 1970. Este o metrică empirică, bazată pe studierea proiectelor dezvoltate în această companie.

Metrica punctelor funcțiune este considerată mai stabilă și mai relevantă față de metricile bazate pe LOC (lines of codes).

b. Metrici de complexitate

Complexitatea ciclomatică utilizează graful de control al programului. Ea pornește de la ipoteza că dificultatea de înțelegere a unui program este în mare măsură determinată de complexitatea grafului. Este o măsură a dificultății de testare a modulelor și a fiabilității la nivel de modul.

Complexitatea unei entități este determinată de relațiile dintre părțile sale. Părțile unui modul software sunt instrucțiunile sale. Relațiile dintre ele se bazează pe trei structuri:

- **Secvența:** bloc maximal indivizibil de instrucțiuni care se execută întotdeauna în aceeași ordine;
- **Selecția:** condiția;
- **Iterația:** ciclul. Iterația poate fi simulată prin salt la o condiție.

Complexitatea ciclomatică este definită pentru un modul pe baza grafului de control al modulului. McCabe definește complexitatea ciclomatică a unui graf de control astfel:

$$v = e - n + 2$$

unde:

- e este numărul de arce (edges);
- n este numărul de noduri.

Pentru o secvență: $v=1$; este necesară o singură execuție de test pentru a executa fiecare instrucțiune din secvență.

Fiecare salt adăugat la un modul crește complexitatea sa cu 1 și necesită o execuție de test suplimentară pentru testarea sa.

Deci, complexitatea ciclomatică a unui modul dă numărul minim de execuții de test ale unui modul, pentru acoperirea tuturor arcelor.

Complexitatea ciclomatică totală a unui program se obține însumând complexitățile ciclomatiche ale modulelor sale. Este exprimată prin formula:

$v = e - n + 2p$, unde:

- p este numărul de module;
- e este numărul de arce din toate modulele;
- n este numărul de noduri din toate modulele;

O formulă echivalentă este:

$$v = v_1 + v_2 + \dots + v_p$$

unde v_1, v_2, \dots, v_p sunt complexitățile ciclomatiche ale celor p module.

Combinând mai multe module într-unul singur, va rezulta un modul cu o complexitate ciclomatică mai mare decât a modulelor combinate dar mai mică în comparație cu complexitatea totală.

Descompunerea unui modul în module mai mici crește complexitatea totală dar reduce complexitatea la nivelul fiecărui modul.

Complexitatea proiectării unui modul, notată de McCabe cu iv , măsoară efectul individual al unui modul asupra proiectului general pentru un program. Complexitatea proiectării unui modul este evaluată plecând de la graful de control al modulului și marcând nodurile care conțin apeluri de module externe.

Graful de control este apoi redus după următoarele reguli:

1. nodurile marcate nu pot fi eliminate;
2. nodurile nemarcate care nu conțin decizii sunt eliminate;
3. arcele care întorc controlul la începutul unui ciclu care conține numai noduri nemarcate sunt eliminate;
4. arcele care unesc nodul de start al unei instrucțiuni *case* cu nodul de sfârșit sunt eliminate dacă nici una dintre celelalte ramificații ale instrucțiunii *case* nu conțin noduri marcate.

Complexitatea proiectării unui ansamblu de module are următoarea formulă:

$$S_0 = iv_1 + iv_2 \dots + iv_n,$$

unde iv_1, iv_2, iv_n sunt complexitățile de proiectare ale modulelor din ansamblu.

Complexitatea integrării unui ansamblu de N module, notată de McCabe cu S_1 , este definită astfel:

$$S_1 = S_0 - N + 1$$

Complexitatea integrării a N module care nu conțin ramificații este deci 1.

Formal, complexitatea integrării necesită măsurarea complexității proiectării fiecărui modul.

În timpul proiectării arhitecturale, de regulă, nu este disponibil graful fluxului de control al fiecărui modul. Totuși, ar trebui să fie disponibilă suficientă informație pentru a defini complexitatea proiectării fiecărui modul, chiar fără a cunoaște logica modulelor. Diagrama de structură, care reflectă apelurile modulelor programului, poate furniza aceste informații.

c. **Metrici de calitate a produsului**

Calitatea produsului reprezintă “totalitatea caracteristicilor ce îi conferă acestuia aptitudinea de a satisface nevoile utilizatorului” [Swq9-14].

Calitatea din punctul de vedere al producătorului reprezintă conformitatea cu cerințele. Din punctul de vedere al utilizatorului, calitatea reprezintă conformitatea cu așteptările utilizatorului.

Câteva atribute externe nu pot fi măsurate: ușurința de utilizare, ușurința de întreținere, ușurința de instalare.

Sunt două nivele ale metricilor de calitate a produsului software :

- Metrici de calitate intrinsecă;
- Metrici orientate către client;

Metrici de calitate intrinsecă a produsului

Astfel de metrici, care referă calitățile externe ale unui produs software sunt fiabilitatea și densitatea defectelor. Aceste metrici sunt corelate dar sunt diferite. Ambele au valori bazate pe predicții.

Fiabilitatea software reprezintă probabilitatea ca un program să își îndeplinească funcțiile specificate, pentru o perioadă de timp definită, în condiții specificate. De obicei, fiabilitatea este estimată în timpul testelor de sistem, utilizând teste statistice, bazate pe profilul utilizării software-ului.

Metricile de fiabilitate sunt următoarele:

- MTBF (timpul mediu între defectări); este timpul așteptat între două căderi succesive ale sistemului, exprimat în ore. Este o metrică importantă de fiabilitate pentru sistemele ce pot fi reparate sau restaurate (sisteme reparabile).
- MTTF (timpul mediu până la defectare) reprezintă timpul până la căderea sistemului. În termeni de fiabilitate, este o metrică pentru sisteme nereparabile. Sistemele nereparabile pot cădea doar o singură dată.
- Timpul mediu de reparare (MTTR) reprezintă timpul mediu pentru repararea unui sistem după o cădere.

Atunci când nu sunt întârzieri în procesul de reparare (de exemplu, datorită unor întârzieri de aprovizionare cu componente hardware) : $MTBF = MTTF + MTTR$

Sistemele software sunt sisteme reparabile. Modelele de fiabilitate software neglijează timpul necesar pentru repararea sistemului după o cădere.

Dacă $MTTR = 0$ atunci $MTBF = MTTF$

Disponibilitatea unui sistem are următoarea formulă: $MTTF / MTBF = MTTF / (MTTF + MTTR)$, iar indisponibilitatea este: $1 - \text{Disponibilitatea}$.

Metrici orientate către client

Aceste metrici caracterizează problemele utilizatorului atunci când folosesc produsul software: defecte valide, probleme de utilizare, documentație neclară, erori în utilizare.

Una din metrici este PUM (probleme per utilizator pe lună):

$PUM = TNP / TNM$, unde

- TNP reprezintă numărul total de probleme raportate de către clienți pentru o anumită perioadă de timp.
- TNM reprezintă numărul total de licențe instalate pentru software înmulțit cu numărul de luni de utilizare ale software-ului în timpul perioadei de testare.

Există și o măsură a satisfacției utilizatorului, evaluată pe 5 nivele:

- Foarte satisfăcut: toți utilizatorii sunt complet satisfăcuți;
- Satisfăcut: toți utilizatorii sunt satisfăcuți sau 50% sunt complet satisfăcuți și 50% sunt indiferenți;
- Indiferent: 50% din utilizatorii sunt satisfăcuți;
- Nesatisfăcut 25% din utilizatorii sunt satisfăcuți;
- Complet nesatisfăcut: toți utilizatorii sunt complet nesatisfăcuți;

IBM a dezvoltat modelul CUPRIMDSO pentru certificarea calității software care are următoarele componente:

- Capability – capabilitate/funcționalitate;
- Usability – utilizabilitate;
- Performance – performanță;
- Reliability – fiabilitate;
- Installability – instalabilitate;
- Mentenability – mentenabilitate;
- Documentation – documentare/informații;
- Service;
- Overall – calitatea per ansamblu.

Similar, Hewlett-Packard a dezvoltat modelul FURPS cu componentele:

- Functionability – funcționalitate;

- Usability – utilizabilitate;
- Reliability – fiabilitate;
- Performance – performanță;
- Service;

Alte metrice existente sunt procentul de clienți complet satisfăcuți, de clienți satisfăcuți, parțial nesatisfăcuți respectiv nesatisfăcuți.

d. Metrice interne ale procesului (in-process metrics)

Metricile interne ale procesului au rolul de a exprima starea software-ului din punct de vedere practic și a susține eliminarea defectelor înainte de livrarea aplicației software către beneficiar.

Sunt disponibile următoarele metrice:

- Densitatea defectelor în timpul testării

Densitatea defectelor în timpul testării formale (teste de sistem) este estimată prin numărul de defecte per KLOC sau numărul de defecte per puncte funcțiune. Este de obicei corelată cu rata defectelor în timpul operării: cu cât sunt descoperite mai multe defecte în timpul testării, cu atât mai mult vor fi găsite defecte mai târziu. Această metrică este utilizată pentru a estima evoluția produsului între două livrări.

- Modelul apariției defectelor în timpul testelor formale

Oferă mai multe informații față de densitatea defectelor: având aceeași rată a defectelor per ansamblu, diferite modele de apariție a defectelor indică diverse nivele de calitate în timpul operării.

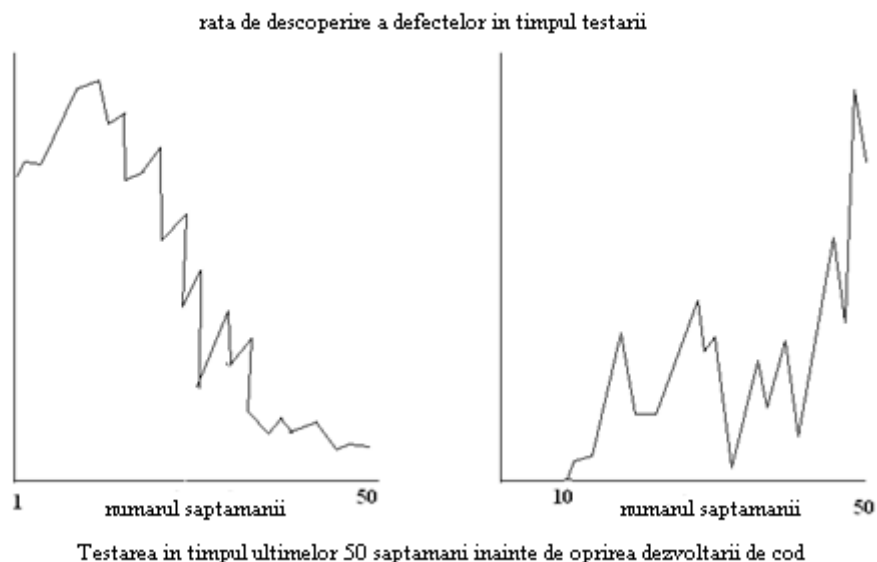


Fig. 2.2.1.1. Rata apariției defectelor în timpul testării

Unitatea de timp pentru observarea apariției defectelor este de obicei săptămâna, ocazional luna. Pentru modelele de fiabilitate ce au nevoie de timp de execuție, unitatea de timp este timp CPU (procesor).

2.2.2. Metrice integrate în Visual Studio .NET

În continuare sunt prezentate câteva metrice software care pot fi calculate și utilizate în cadrul proiectelor dezvoltate în mediul de programare Microsoft Visual Studio .NET:

➤ **Index de mentenabilitate (Maintainability Index);**

Indicele de mentenabilitate (MI) se bazează pe un set de valori numerice dezvoltat la Universitatea din Idaho, folosind formula Halstead pentru efort și complexitatea ciclomatică McCabe, plus alți factori referitori la numărul de linii de cod și procentul de comentarii. MI este utilizat în principal pentru a determina gradul de dificultate al mentenanței codului: înalt, mediu sau redus.

Acesta este independent de limbaj și a fost validat în domeniu de către Hewlett-Packard (HP). HP a concluzionat că modulele cu un MI de cel puțin 65 sunt dificil de întreținut, module între 65 și 85 au întreținere rezonabilă și cele cu MI peste 85 au mentenabilitatea excelentă.

În cadrul mediului de dezvoltare Microsoft Visual Studio .NET 2010, indexul de mentenabilitate a fost calculat inițial după cum urmează:

$$\text{Index Mentenabilitate} = 171 - 5,2 * \ln(\text{Volum Halstead}) - 0,23 * (\text{Complexitatea Ciclomatică}) - 16,2 * \ln(\text{linii de cod})$$

Aceasta a însemnat că valoarea a variat de la 171 la un număr negativ nemărginit. S-a observat că în situațiile când valoarea a tins către 0, a fost în mod clar greu să se facă mentenanță pentru cod, atunci diferența între valoarea 0 și o valoare negativă nu a fost folositoare. Ca urmare a utilității scăzute pentru numere negative și dorinței de a păstra această metrică cât mai clară, s-a decis ca toate valorile negative sau egale cu 0 să aibă valoarea 0 și apoi au fost scalate valorile mai mici ca 171 pentru a fi în gama de la 0 la 100.

Astfel, formula folosită în prezent este:

$$\text{Index Mentenabilitate} = \text{MAX}(0, (171 - 5,2 * \ln(\text{Volumul Halstead}) - 0,23 * (\text{Complexitatea Ciclomatică}) - 16,2 * \ln(\text{linii de cod})) * 100 / 171)$$

Volumul Halstead reprezintă volumul informației (exprimată în biți) necesar pentru a realiza un program software.

Volumul Halstead = $N * \log_2(n)$ unde N este dimensiunea programului iar n reprezintă numărul operanzilor din cadrul programului.

Volumul Halstead descrie dimensiunea implementării unui algoritm. Calculul acestuia se bazează pe numărul de operații efectuate și operanzii folosiți în algoritm.

Deoarece indexul de mentenabilitate are valori între 0 și 100, acest interval a fost împărțit în 0-9, 10-19 și 20-100, pentru a semnaliza doar codul care a fost într-adevăr suspect.

Avem următoarea clasificare:

- 0-9 = nivel roșu;
- 10 - 19 = nivel galben;
- 20-100 = nivel verde;

Atunci când nivelul este roșu, putem spune cu un grad ridicat de încredere că există o problemă cu codul.

➤ **Complexitate ciclomatică (Cyclomatic Complexity);**

Cu cât sunt utilizate mai multe instrucțiuni: *if*, *switch*, *while do* și altele similare, cu atât acest număr va fi mai mare. Trebuie menținută o valoare mai mică de 20 pentru fiecare

metodă. O valoare mai mare indică faptul că acel cod este complicat și greu de întreținut. Este preferată o metodă cu o complexitate ciclomatică mică.

➤ **Adâncimea arborelui de moștenire al unei clase (Depth of Inheritance);**

Această metrică reprezintă cel mai lung drum de la clasa de bază până la o clasă derivată din aceasta.

Cu cât o clasă se află mai jos în ierarhie, cu atât crește probabilitatea să moștenească mai multe metode de la clasele pe care le moștenește și deci este mai greu de testat și întreținut.

➤ **Cuplaje între clase de obiecte (Class Coupling);**

Această metrică va calcula de câte alte clase este legată o anumită clasă. Prea multe cuplaje împiedică modularitatea și re folosirea codului.

Se măsoară, numărând clasele distincte, care nu sunt moștenite, de care depinde o altă clasă. O clasă este cuplată de alta, dacă apelează funcțiile sau variabilele acesteia.

➤ **Linii de cod (Lines of Code);**

Această metrică este simplă și foarte cunoscută. Rezultatul obținut cu ajutorul Visual Studio .NET trebuie utilizat cu atenție, în mod ideal doar pentru informare, pentru a vedea cât de mare este o clasă sau o metodă.

Pragurile de alarmare pentru aceste metrici, conform convenției specialiștilor de la Microsoft sunt următoarele:

Tabel 2.2.1. Metrici interne și limitele lor [Swm9-3]

Metrica	Prag
Adâncimea arborelui de moștenire al unei clase	Avertizare dacă este peste 5 nivele de adâncime
Complexitate ciclomatică	Avertizare dacă depășește valoarea 25
Index de mentenabilitate	Avertizare dacă scade sub valoarea 20
Cuplaje între clase de obiecte	Avertizare dacă este peste 80 pentru o clasă și peste 30 pentru o metodă

2.3. Metode și tehnici de asigurare a calității sistemelor software

2.3.1. Prevenirea injectării defectelor în software

Prevenirea injectării defectelor prin blocarea sau eliminarea surselor de eroare are la bază următoarele:

- Eliminarea anumitor surse de eroare, cum ar fi: comunicarea ambiguă, neînțelegerea cerințelor, etc.
- Prevenirea sau blocarea greșelilor prin corectarea sau blocarea directă a erorilor umane. În acest scop se pot folosi instrumente și tehnologii, standarde de proces și produs, etc.

Metodele prin care se poate preveni injectarea defectelor software sunt:

- **Educație și instruire**

Această metodă are ca scop cunoașterea tipului produsului și a domeniului specific produsului, cunoașterea și expertiza în dezvoltarea de software (lipsa de expertiză în analiza cerințelor și specificarea software poate conduce la multe probleme în fazele următoare), cunoștințe despre metodologia de dezvoltare, tehnologia și instrumentele de dezvoltare, cunoașterea procesului de dezvoltare (neînțelegerea procesului incremental poate conduce la multe probleme de interfațare sau interacțiune).

- **Metode formale**

Aceste metode permit eliminarea unor surse de eroare și verificarea absenței greșelilor corelate. Metodele de dezvoltare formală presupun: specificarea formală (sunt specificate formal funcțiile produsului, constrângerile de mediu și de proiectare, reducându-se șansa injectării de greșeli accidentale), verificarea formală (se verifică conformitatea proiectului software sau a codului față de specificația formală).

Limitarea utilizării metodelor formale este dată de următoarele aspecte: dificultatea specificării formale (cost asociat) și necesitatea instrumentelor automate de suport.

- **Alte metode**

Alte metode presupun utilizarea de metodologii sau tehnologii software care reduc șansele de injectare a greșelilor. Un proces de dezvoltare bine gestionat presupune: planificarea procesului, gestiunea configurațiilor și a schimbărilor, utilizarea de instrumente software în procesul de dezvoltare, etc.

2.3.2. Tehnici de eliminare a defectelor

Principalele tehnici de eliminare a defectelor, înainte ca produsul software să fie folosit de către utilizatorul final sunt:

- Activitățile de inspecție – se detectează și se elimină greșelile din codul sursă, documentele de proiectare și specificare;
- Testarea – se elimină greșelile pe baza căderilor constatate în timpul execuțiilor programului;

Inspecții: detecția și eliminarea directă a defectelor

Inspecțiile software reprezintă examinări critice ale artefactelor software de către inspecitori umani, cu scopul descoperirii și reparării greșelilor din produsul software. Aceste inspecții constă în citirea și analiza codului și artefactelor de specificare, proiectarea, planificarea testelor, etc. Greșelile sunt detectate fie direct de către inspecitori, fie în cadrul unor întâlniri de grup. Greșelile identificate trebuie să fie eliminate ca rezultat al inspecției iar eliminarea lor este de asemenea verificată. Există diferite procese de inspecție, dar în mod tipic ele includ planificare și alte activități care urmează activităților de inspecție propriuzise.

Testare: observarea căderilor și eliminarea greșelilor identificate

Testarea reprezintă cea mai importantă activitate de QA (quality assurance - asigurarea calității). Este efectuată la diferite nivele ale produsului (unitate, componentă, subsistem, sistem) și în diferite faze ale dezvoltării. Testarea *Black-box* verifică efectuarea corectă a funcțiilor externe oferite de software în timp ce testarea *White-box* verifică implementarea corectă a unităților interne, a structurilor și relațiilor dintre ele. Testarea se oprește în funcție de diverse criterii de acoperire:

- Checklists: testarea funcțiilor majore și a principalelor scenarii de utilizare;
- Acoperirea codului: execuția tuturor instrucțiunilor, traversarea tuturor ramificațiilor, ș.a.;
- Obținerea fiabilității cerute (în condițiile de utilizare);

În continuare se vor detalia metode pentru asigurarea calității prin tehnici de toleranță la defecte.

2.3.3. Tehnici de toleranță la defecte

Datorită complexității și dimensiunii multor sisteme software actuale, metodele de prevenire și reducere a defectelor nu pot elimina toate defectele: numărul de teste necesare ar putea fi prea mare.

Pentru sisteme software ale căror căderi au un impact mare (sisteme de control în timp real utilizate în aplicații medicale, nucleare, transport, sisteme încorporate, etc.), defectele rămase pot fi diminuate prin tehnici de izolare.

Tehnicile de toleranță la defecte au ca scop menținerea sistemului în stare operațională (posibil la o capacitate redusă) în cazul unei căderi locale.

Empiric s-a observat că echipamentele tind să aibă o mortalitate care urmărește o curbă, ilustrată în figura 2.3.3.1: sistemele foarte tinere și cele foarte uzate se strică mult mai des decât sistemele „mature”. „Burn-in” este o fază de testare care folosește componentele până acestea devin mature; în acest fel, componentele cu mortalitate infantilă ridicată sunt eliminate.

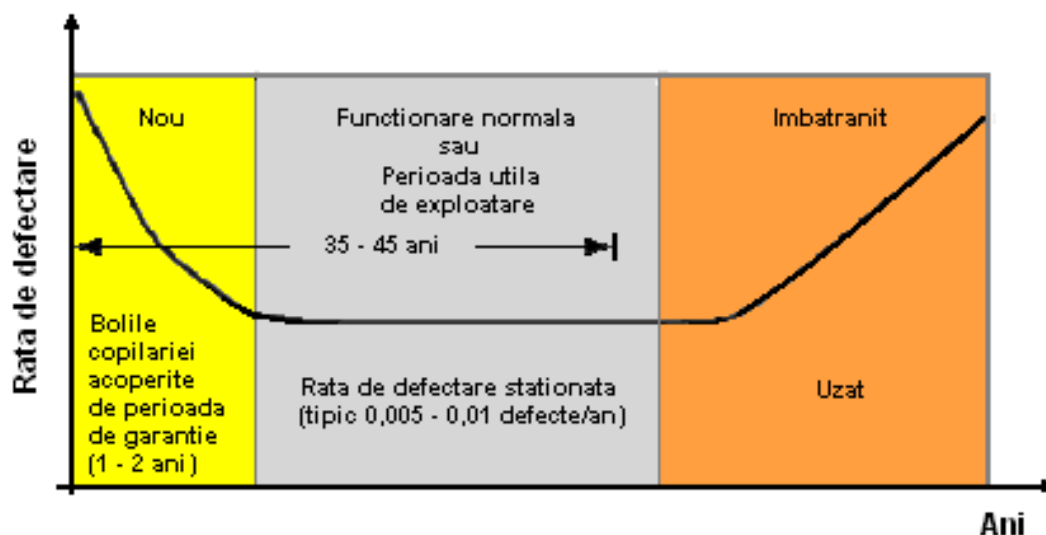


Fig. 2.3.3.1. Graficul ratei de defectare a unui echipament hardware/electric în funcție de vârsta sa

Se observă că acest grafic are forma unei „căzi de baie” sau albie, de aceea mai este denumit și „bathtub curve”. Interpretarea graficului ne furnizează informația că echipamentele foarte noi și foarte vechi au o probabilitate mai mare de a se defecta.

Fiabilitatea software, nu are aceleași caracteristici ca și fiabilitatea hardware. Un exemplu de curbă ce modelează rata de defectare pentru un sistem software este prezentată în figura 2.3.3.2., împreună cu un exemplu de cum este influențată această rată de către modificări în cadrul software-ului.

Există două diferențe majore între curbele de fiabilitate hardware și software. O diferență este că în ultima fază, software-ul nu are o rată de defectare din ce în ce mai

crescută, în ce timp ce hardware-ul are. În această fază, software-ul se apropie de uzura morală, nu există motivație pentru orice modificări ale software-ului. Prin urmare, rata de defectare nu se va schimba. A doua diferență este că software-ul va cunoaște o creștere drastică ca și rată de defectare de fiecare dată când se face o modificare. Rata de defectare se nivelează treptat, în parte din cauza defectelor constatate și remediate după modificări.

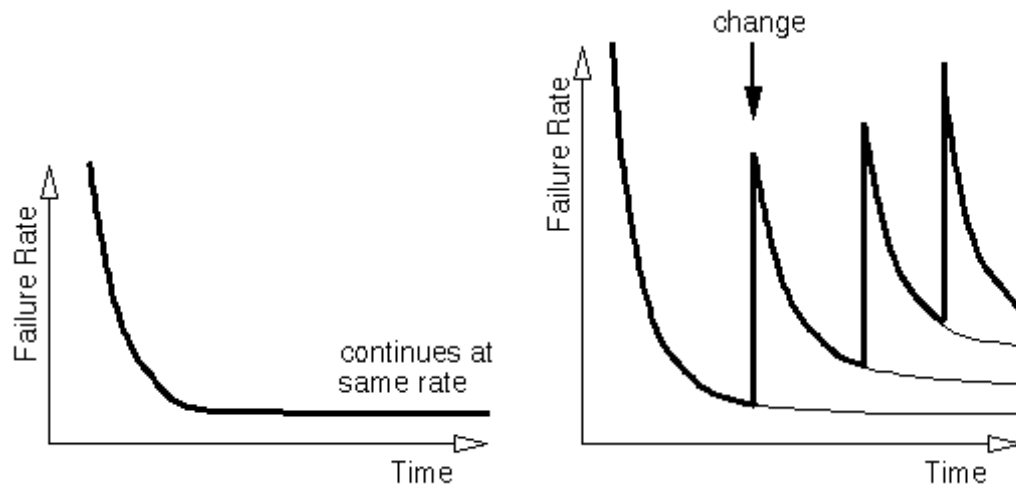


Fig. 2.3.3.2. Graficul ratei de defectare pentru un produs software

Schimbările din figura de mai sus implică modificări de funcționalități, nu modificări pentru îmbunătățirea fiabilității. Pentru upgrade-uri legate de îmbunătățirea funcționalității, complexitatea software-ului este posibil să crească. Chiar și remedieri de bug-uri pot fi motiv pentru căderi ale software-ului, în cazul în care repararea bug-urilor introduce alte defecte în software.

Pentru upgrade-uri destinate creșterii fiabilității, cum ar fi reproiectarea sau reimplementarea unor module folosind tehnici mai bune de dezvoltare software, este posibil ca rata de defectare să scadă.

Tehnicile de toleranță la defecte pornesc de la premiza existenței defectelor în diferite componente ale unui sistem, scopul lor fiind de a menține sistemul în funcțiune în cazul apariției unui defect.

Se iau în considerare două ipoteze:

1) Ipoteza unui eveniment rar

Unele căderi ale sistemelor și accidentele sunt asociate cu evenimente rare, cu probabilități extrem de scăzute. Prin urmare, este imposibil să se anticipeze toate aceste evenimente rare, altfel sistemele noastre ar fi proiectate și puse în aplicare pentru a le face

față. În consecință, sunt necesare acțiuni dinamice în timpul operării sistemelor pentru a trata problemele asociate cu astfel de evenimente rare. Aceste acțiuni dinamice constituie o mare parte din munca în toleranță la defecte și izolare a căderilor pentru sistemele software.

2) Ipoteza independenței căderii

Subsistemele sau componentele se defectează independent una de cealaltă. Pornind de la această presupunere, sunt utilizate duplicarea sau alte tehnici de asigurare a siguranței (Safety Assurance Techniques) care funcționează eficient.

În cazul sistemelor software pentru care impactul căderilor este substanțial (De ex. cele care asigură infrastructura de telecomunicații la nivel mondial, financiar și baze de date critice pentru companii mari, sisteme software de control în timp real utilizate în domeniul medical, nuclear, de transport și sisteme embedded), riscul de cădere nu poate fi tolerat. O soluție la astfel de probleme este duplicarea și backup-ul pentru a reduce șansele unor căderi software sau daune din cauza lor.

Generarea unui număr mare de cazuri de testare pentru a acoperi toate aceste condiții sau de a efectua operațiuni de verificare bazată pe analiza tuturor scenariilor posibile este foarte dificil de realizat. În schimb, alte mijloace trebuie să fie utilizate pentru a preveni căderile prin ruperea relațiilor de cauzalitate între aceste defecte și căderile care rezultă. În acest fel, se pot „tolera” aceste defecte, sau sunt constrânse căderile pentru a reduce prejudiciul rezultat. În mod similar, atunci când sunt implicate componente software duplicate, ar trebui să se asigure independența acestora (conform ultimei ipoteze – cea a independenței căderii), astfel încât fiabilitatea sau siguranța sistemului global să poată fi îmbunătățită.

Principalele tehnici de toleranță la defecte sunt:

- Recovery blocks (blocuri de recuperare);
- N-version programming (programare cu N versiuni);
- Self-checking (auto-verificarea);

2.3.3.1. Utilizarea blocurilor de recuperare (recovery blocks)

Utilizând procesoare din ce în ce mai puternice și mai rapide, putem repeta anumite sarcini de calcul într-un termen stabilit, fără a afecta grav performanța sistemului. În acest caz, putem folosi blocuri de recuperare în mod repetat pentru a stabili puncte de control (checkpoints) și a repeta pașii de calcul atunci când pot apărea sau sunt observate probleme în timpul operării.

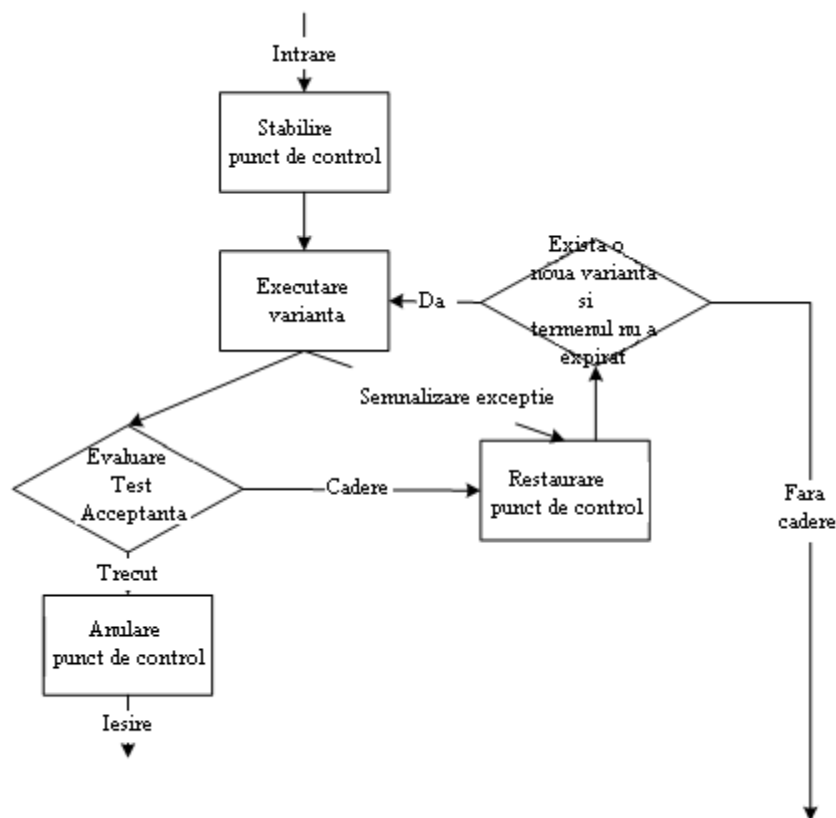


Fig. 2.3.3.1.1. Structura și operarea blocurilor de recuperare

Conform [Swq9-9], un bloc de recuperare este executat prin efectuarea fiecărei variante pe rând, începând cu varianta principală, până când pentru o anumită variantă, testul de acceptanță este satisfăcut. Executarea fără erori a unei variante este urmată de evaluarea făcută prin testul de acceptanță. Dacă această evaluare este fără erori (ce impune ca testul să aibă valoarea adevărat), atunci testul de acceptanță a fost îndeplinit și execuția blocului de recuperare este completă. În caz contrar, va fi semnalată o stare de eroare, la care sistemul răspunde prin restaurarea programului în starea de dinaintea intrării în varianta principală. Execuția continuă apoi cu următoarea variantă, dacă aceasta există. Dacă, totuși toate variantele au fost încercate și niciuna nu a trecut testul de acceptanță, va fi semnalată o stare de eroare către blocul de recuperare, prin care se indică că orice recuperare va fi efectuată doar prin atașarea unui nou bloc de recuperare.

Utilizarea recovery blocks presupune introducerea dublicărilor în execuția software-ului pentru ca defectele ce pot fi cauzate de rularea diverselor variante să producă doar o pierdere parțială a datelor obținute prin execuție și nu căderi ale software-ului.

2.3.3.2. Folosirea NVP (N-version programming)

Domeniul ingineriei software include metode prin care se poate cuantifica și îmbunătăți calitatea programelor. Una dintre soluțiile studiate are legătură cu tehnicile de votare folosite pentru toleranța erorilor hardware. Numele acestei soluții este „programarea cu N versiuni” (NVP) [Swq9-7]. Tehnica votării folosește redundanța: dispozitivul de calcul sau programul software este replicat de N ori și rezultatul final obținut este cel obținut în majoritatea cazurilor individuale.

Bug-urile software sunt persistente: aflat în aceleași condiții, programul se va comporta în același fel. Tehnicile de votare sunt neputincioase dacă toate componentele returnează aceeași eroare în același timp. Programarea cu N versiuni se realizează prin executarea în paralel a N programe diferite, scrise de echipe diferite de programatori, dacă e posibil, folosind instrumente și tehnologii diferite. Toate cele N programe rezolvă aceeași problemă, dar în moduri diferite. Folosind o astfel de strategie, tehnica votării poate funcționa în cazul programelor.

Specificații imprecise ale problemei pot fi detectate cu ușurință de această tehnică, pentru că implementările diferite pot lua decizii diferite pentru cazurile nespecificate clar. Din nefericire, programarea cu N versiuni este o metodologie foarte scumpă, folosită numai pentru aplicații critice, unde siguranța este fundamentală.

Metoda NVP este, în general, mai adecvată față de metoda blocurilor de recuperare (recovery blocks) atunci când deciziile în timp util sau de performanță sunt critice, cum ar fi în multe sisteme de control în timp real, sau când defectele software, în locul perturbațiilor de mediu, sunt mai degrabă sursele primare de probleme.

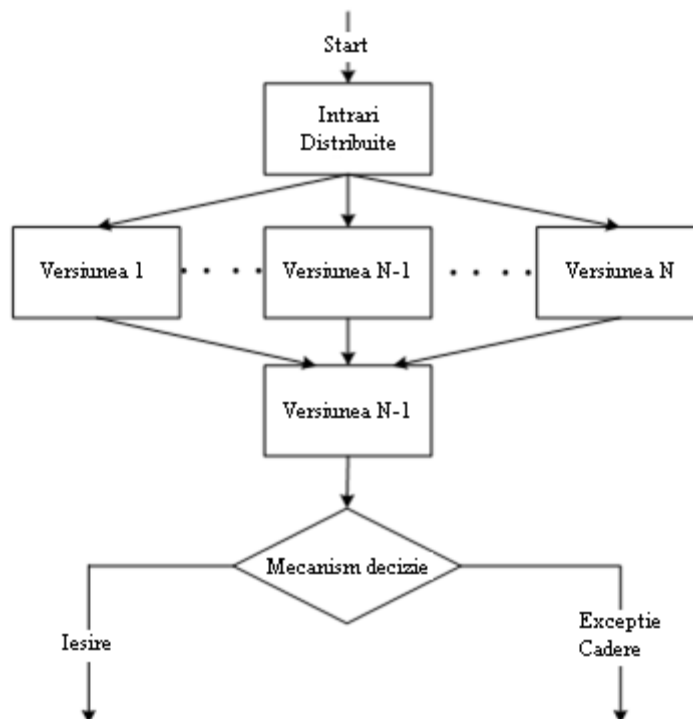


Fig. 2.3.3.2.1. Structura NVP

2.3.3.3. Self-checking

Metoda self-checking (software cu auto-verificare) nu este o metodă riguros descrisă în literatura de specialitate [Swq9-8], ci mai degrabă o metodă ad-hoc folosită în unele sisteme importante.

Software-ul cu auto-verificare include controale suplimentare, inclusiv mai multe puncte de verificare (checkpoint) și metode de recuperare (rollback) introduse în sisteme tolerante la defecte sau sisteme critice. Alte metode includ taskuri separate, care acționează în stivă (heap), găsind și corectând defecte de date. În timp ce auto-verificarea nu poate fi o metodologie riguroasă, aceasta s-a dovedit a fi surprinzător de eficientă.

Problema evidentă la software-ul cu auto-verificare este lipsa de rigoare. Acoperirea codului pentru un sistem tolerant la defecte este necunoscută. Totuși, cât de fiabil este un sistem realizat cu software-ul cu auto-verificare? Fără rigoarea corespunzătoare și fără experimente, compararea și îmbunătățirea software-ului cu auto-verificare nu pot fi realizate în mod eficient.

În [Swq9-10], [Swq9-11], [Swq9-12], s-a propus o implementare a acestei metode.

Ideea de bază este că un program ar trebui să își verifice rezultatele (datele de ieșire) prin efectuarea de calcule redundante. Chiar dacă acestea folosesc același algoritm, în cazul

în care programul este „aproape corect”, este foarte puțin probabil ca după o secvență de verificări cu rezultate corecte, totuși acestea să fie eronate.

Există totuși un impediment serios pentru auto-verificarea la momentul execuției: dacă un program descoperă o inconsistență în verificări, nu se poate concluziona că programul este „aproape corect”. În loc de raportarea acestui rezultat, se poate concluziona că nu trebuie avută încredere în rezultatele obținute.

Auto-verificarea reprezintă un punct de vedere destul de diferit față de testarea normală, deoarece descrie o abordare înțeleaptă din punct de vedere al calității. Încercările de testare pentru a prezice comportamentul viitor al unui program în mod uniform se fac pentru toate intrările posibile. În [Swq9-10], autorul se mulțumește să realizeze predicția o dată la fiecare execuție. Prin urmare, pentru a fi util, calculul trebuie să se facă la momentul execuției, atunci când scopul este cunoscut.

Testarea pentru a prezice uniform comportamentul are de suferit din cauză că la un program ce posedă o calitate software ridicată, erorile sunt foarte greu de găsit.

Eșantioanele mari de date sunt semnificative dar nu sunt practice, fiind greu de manevrat. Acest aspect poate fi folosit și într-un mod avantajos, deoarece erorile sunt puțin probabile, calculele pot fi verificate cu același program [Swq9-12].

Rezultatele vor fi probabil aceleași, cu excepția cazului în care sunt toate greșite și asta datorită faptului că un rezultat greșit este aproape imposibil de replicat.

Tehnicile enumerate anterior sunt cele clasice în ceea ce privește utilizarea lor pentru toleranță la defecte.

În ultima perioadă au fost dezvoltate și alte tehnici cum ar fi:

- Reconfigurare și reîntinerire;
- BASE;

2.3.3.4. Reconfigurare și reîntinerire

Reconfigurarea și reîntinerirea sunt variante complementare pentru software-ul tolerant la defecte. Reconfigurarea este reactivă în timp ce reîntinerirea este proactivă.

Reconfigurarea software-ului poate utiliza resurse redundante pentru recuperarea în timp real, în timp ce consideră, în mod dinamic, influența mai multor factori (serviciile sistemului de operare, încărcarea procesorului, memoria, etc.).

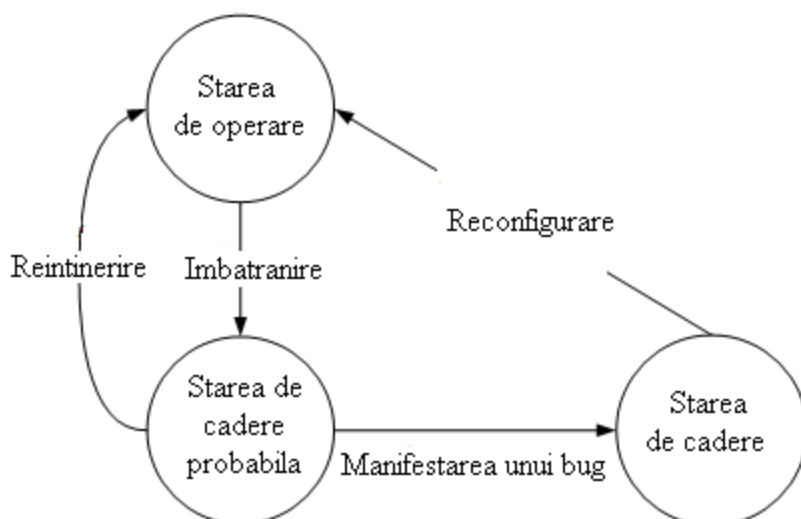


Fig. 2.3.3.4.1. Reconfigurarea și reîntinerirea

Reîntinerirea este o abordare nouă pentru remedierea erorilor software datorate vechimii software-ului. Aceasta poate fi văzută ca o soluție preventivă și proactivă ce este utilă pentru împiedica fenomenul de îmbătrânire a software-ului.

Tehnica implică oprirea rulării software-ului la anumite momente de timp, „curățarea” proceselor interne și repornirea lui. Curățarea proceselor interne ale unui software presupune refacerea spațiului disponibil (garbage collection), curățarea tabelor kernel-ului sistemului de operare, reinițializarea structurilor de date interne, etc.

Un bine cunoscut exemplu de reîntinerire care este utilizat des, îl reprezintă repornirea (resetarea) hardware a stației/calculatorului pe care rulează software-ul.

2.3.3.5. BASE

BASE (Byzantine Abstract Specification Encapsulation) este o tehnică de toleranță la defecte, bazată pe BFT (Byzantine Fault Tolerance). BFT presupune dezvoltarea unui serviciu care să tolereze un comportament arbitrar față de replicarea defectelor, ca de exemplu comportamentul cauzat de un bug software sau un atac informatic.

Obiectivul BFT este de a proteja sistemul împotriva “căderilor bizantine”, în care diverse componente cad sau se defectează în diverse moduri (obținerea unor rezultate sau date de ieșire incorecte sau inconsistente, coruperea stării locale, procesarea incorectă a cererilor, etc.). Componentele ce funcționează corect ale unui sistem bazat pe BFT pot reproduce serviciile sistemului presupunând că nu sunt prea multe componente cu defecte.

Spre exemplu, dacă în cadrul unei aplicații software, o funcție depinde de rezultatele alteia și acea funcție furnizează rezultatele cu o mică abatere (eroare) atunci ea se va propaga prin intermediul celei de-a doua funcții și se va ajunge în final la un rezultat total eronat.

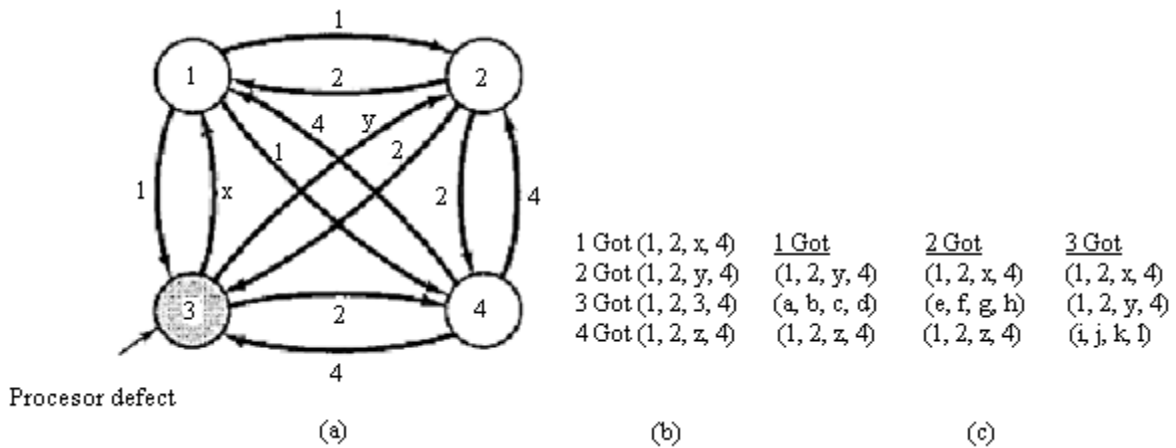


Fig. 2.3.3.5.1. Exemplificarea BFT prin algoritmul recursiv al lui Lamport (1982)

În cazul exemplificat în figura de mai sus, sunt utilizate 4 procesoare, din care unul singur transmite rezultate eronate (este defect). Acest lucru s-a verificat prin cereri de identificare emise de către fiecare din procesoare. La sfârșit s-au comparat răspunsurile primite și astfel s-a identificat procesorul defect. Totuși Lamport a demonstrat că pentru un sistem cu m procesoare defecte, acordul poate fi atins numai dacă $2m + 1$ procesoare corect funcționale sunt prezente, dintr-un total de $3m + 1$. Acordul este posibil numai dacă mai mult de două treimi din procesoare lucrează corect [Swq9-13].

BFT presupune implementarea unui algoritm de replicare a stărilor unui sistem (state machine replication algorithm). În cazul în care un singur server centralizat implementează un serviciu, rezultatul va fi tolerant la defect atât cât va fi și procesorul ce execută serviciul de pe server. Dacă acest nivel de toleranță la defecte este inacceptabil, atunci se vor folosi servere multiple care se pot defecta independent. De obicei, replicări ale unui singur server sunt executate pe procesoare separate într-un sistem distribuit și se folosesc protocoale pentru a coordona interacțiunile clientului cu aceste replicări.

BASE reduce costurile deoarece activează re folosirea implementărilor de servicii autonome. Îmbunătățește disponibilitatea deoarece fiecare replică poate fi reparată periodic folosind un punct de vedere abstract al stării salvate de către replicările corecte și deoarece fiecare replicare poate rula implementări de servicii distincte și nondeterministe, ce reduc probabilitatea unor căderi obișnuite.

2.3.3.6. Securitatea și integritatea transmisiei datelor

Deoarece sistemele de monitorizare și control a stațiilor electrice, utilizează o arhitectură client-server, un alt aspect important de asigurare a calității este securitatea transmisiei datelor între server și clienți.

Pentru o creștere a securității transmisiei datelor se poate folosi protocolul IPv6. Internet Protocol version 6 (IPv6) reprezintă generația următoare de protocoale folosite în Internet pentru rețelele cu comutare de pachete [Net9-1]. IPv4, versiunea folosită pe scară largă, tinde să nu scaleze, numărul de stații conectate la o astfel de rețea fiind limitat. IPv6 implică în primul rând mărirea enormă a spațiului de adrese dar și autoconfigurarea adresei printr-un mecanism fără stări, standardizarea dimensiunii unei subrețele și integrarea securității din protocolul IPsec.

Datorită dimensiunii mari a spațiului unei adrese IPv6, scanarea aleatoare după sisteme ce sunt vulnerabile este complet inutilă. Atunci când amenințările de tip malware erau de actualitate, acum câțiva ani, un sistem Windows fără patch-uri instalate ar fi fost infectat mai rapid, chiar înainte de apariția update-urilor de securitate necesare. Cu IPv6 acest lucru este pur și simplu imposibil: chiar și cu un miliard de host-uri infectate fiecare scanând un miliard de adrese IPv6 pe secundă, durează foarte mult numai scanarea spațiului adreselor IPv6 alocate ISP-urilor (furnizorii de servicii Internet - Internet Service Provider). Scanările targeted, deși nu sunt ușoare, sunt încă posibile astfel că măsuri de securitate precum cele folosite pentru IPv4 sunt încă necesare [Net9-2].

Este absolut necesară asigurarea integrității datelor transmise între echipamentele hardware de monitorizare și aplicațiile software ce achiziționează informații de la acestea (aplicațiile tip server). Una dintre metodele propuse este utilizarea CRC - Cyclic Redundancy Check (Control Redundant Ciclic). CRC este o formă de sumă de control, ce se bazează pe teoria polinoamelor de lungime maximă. Chiar dacă metoda CRC este mai sigură decât metoda bazată pe o simplă sumă de control, nu oferă o adevărată securitate criptografică. CRC este o tehnică folosită pentru detecția erorilor de transmisie. Pentru detecția și corectarea erorilor, există un registru special în care se stochează suma de control a datelor transferate. Aceasta se compară cu suma de control calculată și se elimină astfel posibilele erori. În acest caz, tehnica CRC este folosită doar pentru a asigura integritatea datelor la transferurile pe magistrală, nu și pentru a îmbunătăți integritatea datelor stocate pe hard-disk-uri.

2.4. Concluzii

În cadrul acestui capitol sunt descrise aspecte generale privind calitatea software și metodele și tehnicile utilizate pentru asigurarea acesteia.

Este descris pe scurt standardul ISO9126 și modelul de calitate software împărțit în 6 caracteristici de calitate și 21 de subcaracteristici.

Sunt descrise categoriile în care se împart metricile software: de dimensiune, complexitate, de calitate a produsului și respectiv metrici ale procesului. Sunt enumerate metricile software incluse în pachetul Visual Studio .NET 2010.

Sunt prezentate tehnicile de asigurare a calității software care presupun utilizarea de tehnici și metode de prevenire a injectării defectelor, de eliminare a defectelor și de izolare a acestora.

Sunt descrise activitățile de inspecție și testare, utilizarea blocurilor de recuperare, N-version programming, self-checking precum și tehnici mai noi ca reconfigurare și reîntinerire, BASE.

Au fost prezentate pe scurt aspecte de asigurare a siguranței transmisiei datelor în cadrul unei stații electrice, ce implică utilizarea protocolului IPv6 pentru calculatoarele server și respectiv client din cadrul rețelei ce există într-o stație electrică. Pentru asigurarea integrității transmisiei datelor între IED-uri, se utilizează metoda CRC.

3. Analiza aspectelor de calitate pentru un sistem de monitorizare și control a unei stații electrice

3.1. Arhitectura generală pentru un sistem de monitorizare și control a unei stații electrice

Un sistem de monitorizare și control a unei stații electrice presupune existența unor echipamente electronice care monitorizează parametrii echipamentelor (denumite IED: Intelligent Electronic Device), unul sau mai multe calculatoare (servere) care centralizează informațiile monitorizate și le salvează într-o baza de date și unul sau mai multe calculatoare pe care se executa o aplicație client cu rol de prezentare a parametrilor monitorizați.

Un astfel de sistem are, în general, o arhitectură client-server. Aplicațiile server achiziționează de la IED-uri, în timp real valorile parametrilor monitorizați ai echipamentelor electrice, le prelucrează și apoi le salvează într-o bază de date locală sau centrală. Aplicația client achiziționează informații din baza de date și le prezintă utilizatorului (personalul din stația electrică) printr-o interfață grafică prietenoasă (GUI – Graphical User Interface).

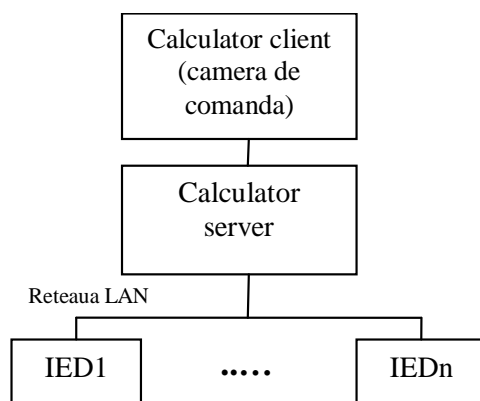


Fig. 3.1.1. Arhitectura generală a unui sistem de monitorizare și control a unei stații electrice

Un astfel de sistem trebuie să îndeplinească cel puțin două dintre cele mai importante caracteristici de calitate ale unui sistem software: fiabilitatea și ușurința de întreținere (mentenabilitatea).

Obținerea acestor caracteristici trebuie să fie urmărită pe parcursul întregului proces de dezvoltare al sistemului. În cadrul tezei, am propus soluții pentru: prevenirea injectării defectelor software, aplicarea de metode și tehnici de eliminare a defectelor din produsul software și asigurarea siguranței în funcționare prin tehnici de toleranță la defecte.

3.2. Sisteme existente de monitorizare și control a stațiilor electrice

În prezent, în domeniul monitorizării și controlului stațiilor electrice, există câteva mari companii internaționale de renume ce se ocupă de dezvoltarea hardware și software a unor astfel de sisteme.

Sistemele de monitorizare pe care le-am considerat ca fiind reprezentative sunt cele dezvoltate de General Electric, ABB, Siemens și AREVA.

Precizez că niciuna dintre aceste companii nu a implementat încă un sistem de monitorizare și control complet a unei stații electrice din România. Un astfel de sistem necesită investiții financiare foarte mari atât din partea beneficiarului cât și din partea producătorului.

Producătorii de echipamente electrice sunt avantajați în cazul în care dezvoltă un astfel de sistem deoarece pot integra și controla mai ușor propriile echipamente.

Am avut ocazia să lucrez la un proiect pentru un astfel de sistem de monitorizare și control complex, într-o stație electrică aparținând rețelei de transport a energiei electrice din România, dezvoltat de compania Nova Industrial.

3.2.1. Sistemul General Electric

Compania General Electric a dezvoltat un sistem de monitorizare și diagnosticare denumit GE iSM&D (Integrated Substation Monitoring and Diagnostic). Prima versiune a acestui sistem a fost dezvoltată în anul 2001, iar ultima versiune, 3.0, în 2005.

Arhitectura sistemului iSM&D este prezentată în următoarea figură:

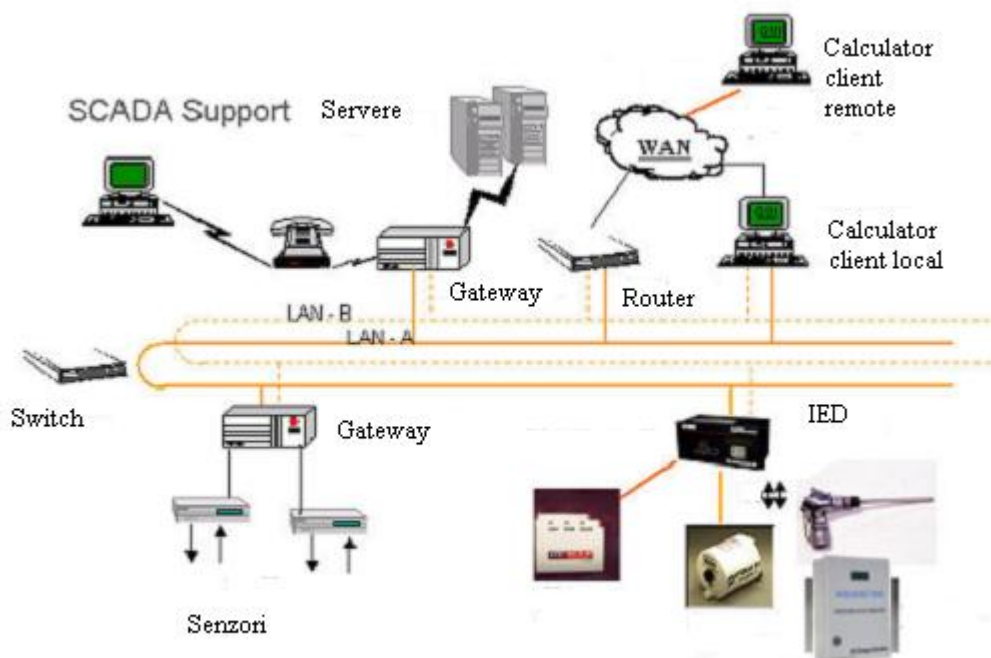


Fig. 3.2.1.1. Arhitectura sistemului iSM&D

Sistemul de monitorizare iSM&D se ocupă doar de monitorizarea transformatoarelor de putere dar poate fi prevăzut cu un modul pentru monitorizarea întreruptoarelor.

Arhitectura software este de tip client-server, clienții din WAN accesând datele monitorizate prin intermediul unui browser web.

Aplicația software pentru monitorizarea transformatoarelor de putere (figura 3.2.1.2.) prezintă în partea superioară un meniu pentru diverse acțiuni ale utilizatorului (tipărire, raportare, rulare alte module, etc.), secțiunea detalii echipament, alarmare pentru componentele transformatorului, starea lui curentă, partea grafică reprezentând elementele componente transformatorului și valori măsurate pentru parametrii corespunzători la momentul respectiv. Este disponibilă și o secțiune de evenimente (alarmări) apărute într-un anumit interval de timp.

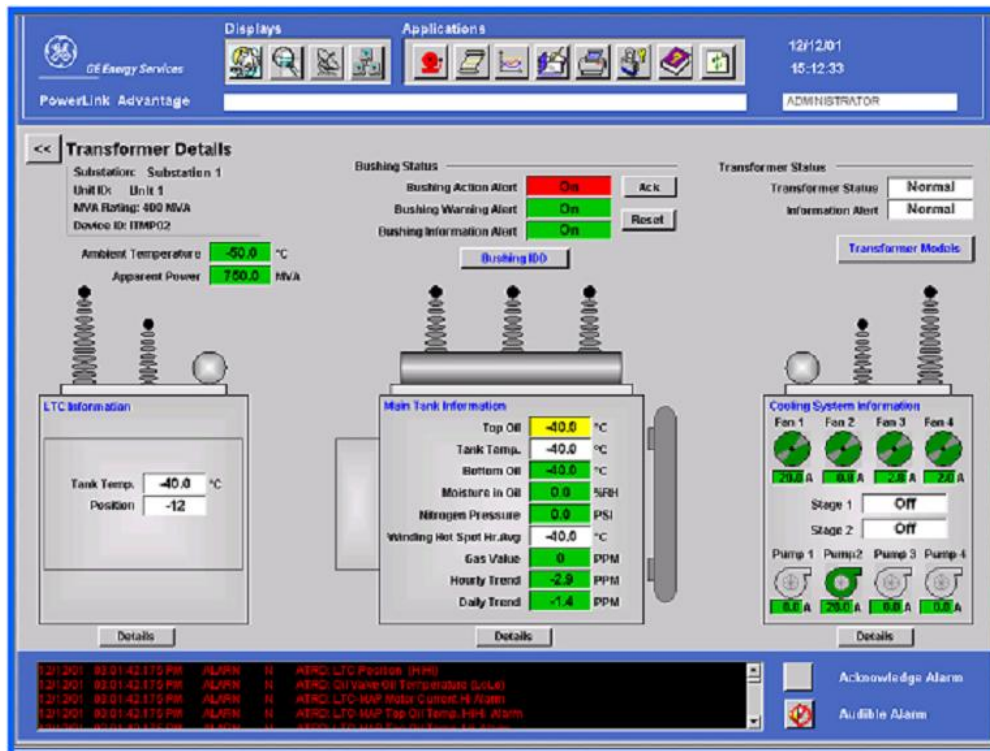


Fig. 3.2.1.2. Fereastra principală a aplicației software din sistemul iSM&D

3.2.2. Sistemul ABB

Compania ABB a dezvoltat începând cu anul 2006 sistemul informatic SMS510 (Substation Monitoring System). Acesta efectuează monitorizarea principalelor componente pentru transformatoarele de putere din stațiile electrice precum și a întreruptoarelor.

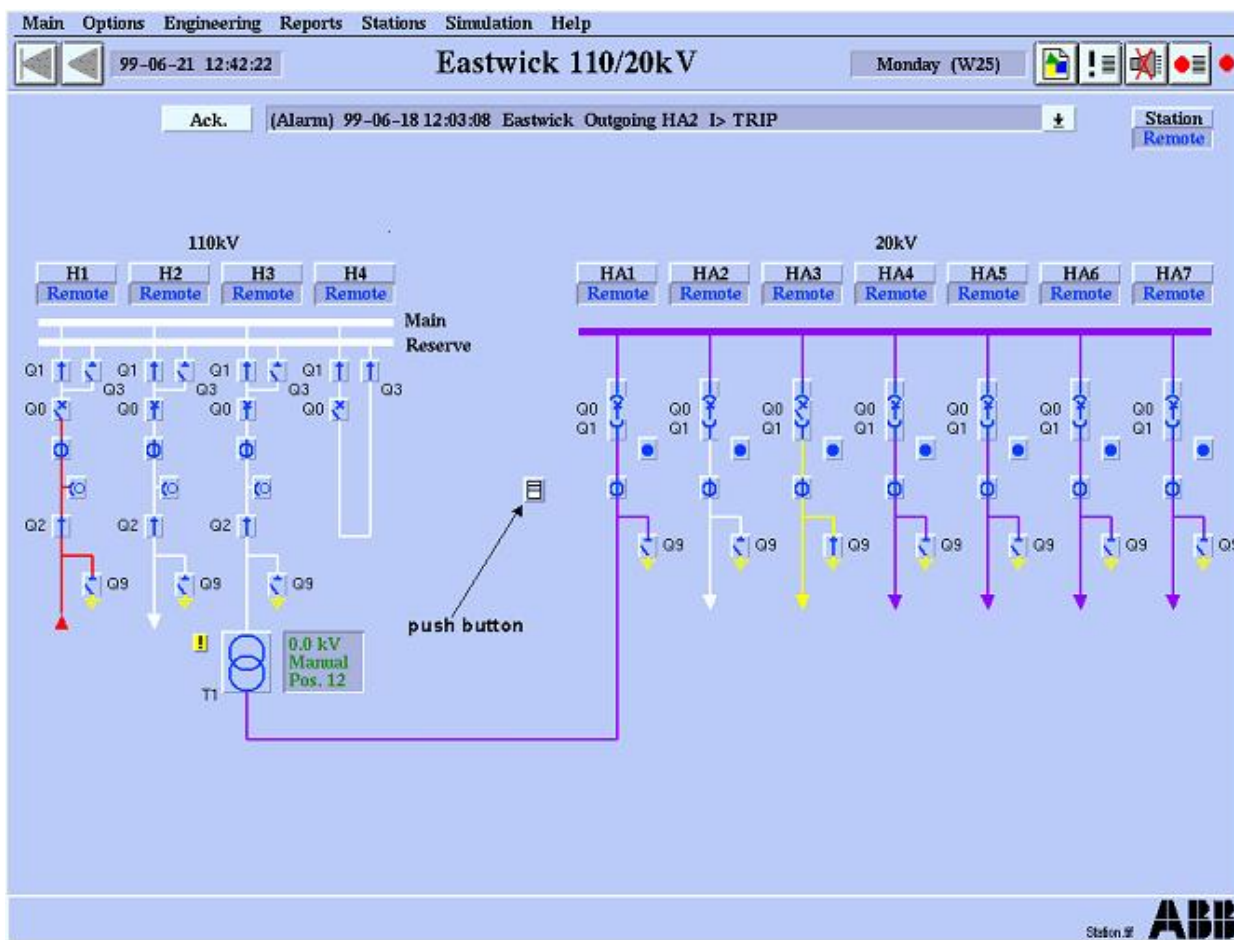


Fig. 3.2.2.1. Fereastra principală a sistemului de monitorizare SMS510

SMS510 oferă informații esențiale despre procesele electrice de transport și de distribuție. Aceste informații cuprind datele măsurate, înregistrate și calculate pentru echipamentele electrice monitorizate cum ar fi indicații, setări și informații privind diagnosticarea, disponibile cu ajutorul IED-urilor.

SMS510 este un produs pentru monitorizarea stațiilor electrice care permite utilizatorilor să configureze sistemul pentru a-l utiliza cât mai facil.

3.2.3. Sistemul Siemens

Compania Siemens a dezvoltat sistemul informatic iSCM (Integrated Substation Condition Monitoring) care are în componență mai multe subsisteme pentru diferitele echipamente primare dintr-o stație electrică:

- Monitorizarea transformatorului de putere;
- Monitorizarea întreruptorului;
- Monitorizarea separatorului;

- Monitorizarea descărcătorului;
- Monitorizarea transformatoarelor de măsura (curent și/sau tensiune);
- Monitorizarea liniilor;
- Monitorizarea cablurilor;

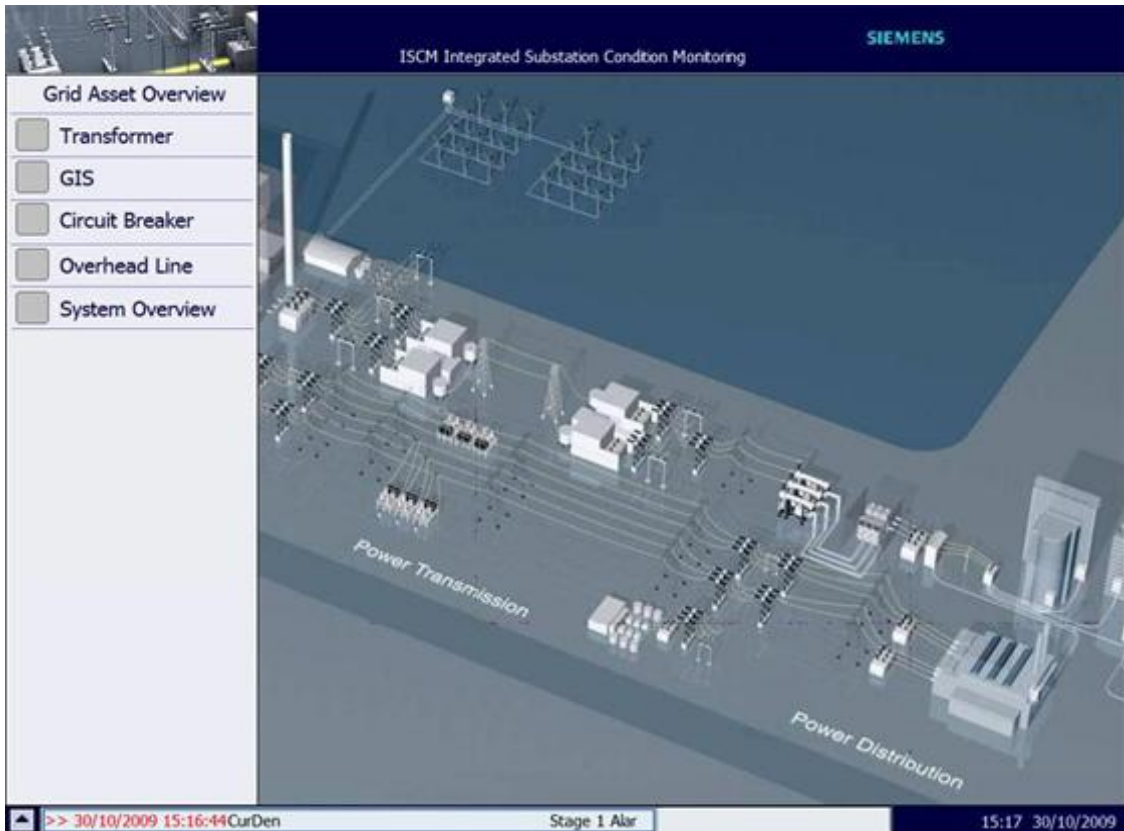


Fig.3.2.3.1. Sistemul de monitorizare Siemens iSCM

Din punct de vedere al echipamentelor primare monitorizate, sistemul de monitorizare Siemens iSCM este complet. Totuși, nu există o aplicație software client care să preia informațiile de la toate subsistemele de monitorizare a echipamentelor electrice.

Spre deosebire de alte sisteme complexe de monitorizare, nu există implementate toate subsistemele dedicate pentru fiecare tip de echipament electric, în cadrul aceleiași stații electrice.

Datele monitorizate sunt colectate, analizate și prezentate într-un format standard prin intermediul sistemului SCADA (supervisory control and data acquisition). Interfața cu utilizatorul prezintă informații clare, bine structurate, vizualizarea valorilor, fie numerice fie sub forma de grafice, curbe sau diagrame, înregistrarea rapoartelor, funcții de căutare prin rapoarte.

3.2.4. Sistemul AREVA

PACiS (Protection, Automation&Control Integrated Solution) este sistemul de monitorizare complex on-line a stațiilor electrice dezvoltat de compania AREVA.

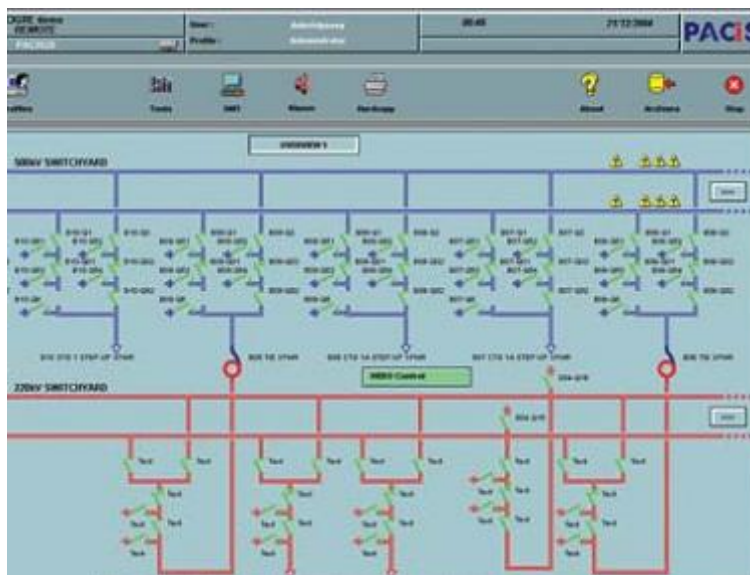


Fig.3.2.4.1. Sistemul de monitorizare AREVA PACiS

Arhitectura PACiS este structurată pe nivele ierarhice. Fiecare nivel menține o performanță dată în termeni de timp de transmisie, automatizare și fiabilitate, independent de celelalte nivele. De aceea, se asigură că sistemul poate fi extins consecvent și în siguranță.

Arhitectura de bază PACiS interconectează un Remote Terminal Unit (RTU) sau un calculator, cu o serie de dispozitive electronice inteligente (IED). Aceasta arhitectură de tip client-server va fi folosită de obicei într-o stație de distribuție simplă, un parc eolian sau o stație de transport.

Sistemul funcționează în cadrul unei rețele de tip Ethernet și include o aplicație software tip client ce prezintă interfața operatorului/utilizatorului (UI – user interface) și IED-uri. Rețeaua Ethernet poate fi locală în cadrul unei stații, de obicei pentru o aplicație de transmisie sau poate interconecta site-uri dispersate, cum există de obicei în aplicații industriale sau de infrastructură. Viteza de transfer mare prin Ethernet rezolvă problema blocajelor de trafic de date întâlnite la protocoalele proprietare. Există posibilitatea de accesare de la distanță a IED-urilor pentru operațiunile legate de mentenanță.

Modulele cheie ale interfeței grafice sunt următoarele:

- Monitorizarea și afișarea informațiilor în timp real, ce include:
 - Diagrame pentru fiecare linie electrică;
 - Starea componentelor sistemului;
 - Alarmer;
 - Secvențe de evenimente;
- Partea de control cu ferestre specifice, care prezintă:
 - Secvențe de selectare a componentelor înainte de punerea în funcțiune a sistemului;
 - Reprezentarea condițiilor de acționare a componentelor;
 - Permisivitate de sincronizare-verificare;

3.2.5. Sistemul Nova Industrial

Nova Industrial este o companie românească ce a dezvoltat sistemul EMCSIT (Echipament pentru Monitorizarea Complexă a Stațiilor de Înalta Tensiune) pentru monitorizarea și controlul stațiilor de înalta tensiune [Smg9-1].

EMCSIT este un sistem complex de monitorizare on-line a unei stații electrice. Din punct de vedere hardware, sistemul este alcătuit din mai multe IED-uri (Intelligent Electronic Device) poziționate în fiecare cabină de releu din cadrul stației, care sunt conectate la senzori și traductori montați pe echipamentele electrice din stație și transmit informațiile achiziționate de la acestea către serverele locale.

Sistemul de monitorizare include aplicații de tip server ce se conectează la echipamentele de monitorizare (IED-uri); ele achiziționează valorile parametrilor monitorizați și le salvează într-o bază de date centrală, instalată pe un calculator server central. Acesta este accesat de aplicațiile client EMCSIT din rețeaua locală.

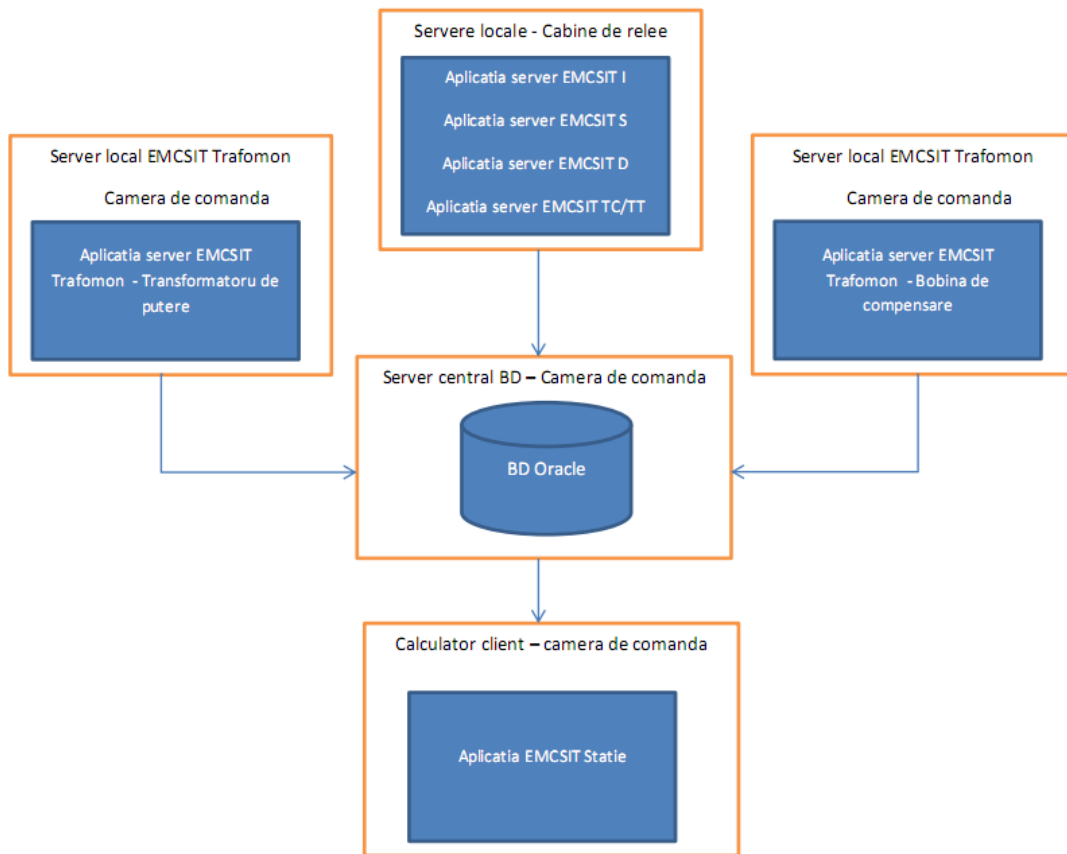


Fig.3.2.5.1. Arhitectura sistemului EMCSIT

Mărimile monitorizate sunt afișate în camera de comandă a stației electrice pe un calculator client. Timpul necesar pentru achiziția informațiilor de la aparatele de monitorizare și afișarea valorilor în cadrul aplicației trebuie să fie sub 100 de milisecunde.

Sistemul de monitorizare și control EMCSIT include următoarele tipuri de aplicații: EMCSIT Server, EMCSIT Client și EMCSIT Stație:

Aplicațiile “EMCSIT Server” care sunt instalate pe serverele locale:

- Sunt specifice fiecărui tip de echipament electric primar dintr-o stație electrică (întreruptor, separator, descărcător, transformator de măsură de curent sau tensiune);
- Asigură achiziția datelor de la echipamentul de monitorizare EMCSIT (IED), prelucrarea acestor date conform cu specificațiile specialiștilor tehnologi din domeniu și salvarea acestor date în baza de date locală;
- Aplicațiile server sunt dezvoltate pentru întreruptoare (EMCSIT I Server), separatoare (EMCSIT S Server), transformatoare de

măsură de curent și/sau tensiune (EMCSIT TC/TT Server) și descărcătoare (EMCSIT D Server);

Aplicațiile “EMCSIT Client” care sunt instalate pe calculatorul client din camera de comandă (sau pe orice calculator client) sunt dezvoltate pentru fiecare tip de echipament electric, și au următoarele componente:

- Componenta de vizualizare a ultimelor date achiziționate și înregistrate de server;
 - EMCSIT - Client asigură preluarea datelor salvate în baza de date de către EMCSIT - Server, afișarea acestora pe ecranul principal al calculatorului client precum și prezentarea alarmelor și avertizărilor în caz de funcționare eronată a aplicației sau echipamentului electric monitorizat.

Sunt implementate următoarele verificări în software:

- Dacă există conexiune în rețea între calculatorul server central și serverele locale;
 - Dacă există conexiune la serverul central de baze de date;
 - Diverse tipuri de avertizări în ceea ce privește erorile aparatelor de monitorizare (dacă este alimentat, dacă diversele componente interne funcționează corect – memoria EEPROM, memoria flash internă, memoria flash externă, ceasul de timp real RTC, convertorul intern, etc.);
- Componenta de vizualizare și analiză a evenimentelor înregistrate de echipamentul de monitorizare IED (pentru întreruptoare, separatoare și transformatoare de măsură);
 - În cazul în care pentru echipamentul electric monitorizat se înregistrează evenimente în baza de date (ex. pentru întreruptor: închidere respectiv deschidere), EMCSIT - Grafice Evenimente, permite conectarea la baza de date, achiziția informațiilor înregistrate și efectuarea calculelor parametrilor ce influențează sau sunt influențați de acel tip de eveniment.

Un eveniment pentru un echipament electric (în cadrul sistemului de monitorizare și control EMCSIT, astfel de evenimente sunt înregistrate

pentru întreruptoare, separatoare, transformatoare de măsură de curent/tensiune) reprezintă o variație bruscă a parametrilor monitorizați. Aceasta variație este corespunzătoare unui eveniment fizic (acționarea întreruptorului, deschidere/închidere separator, supracurenți, supratensiuni) și trebuie achiziționată și afișată rapid. Aceasta presupune o întrerupere a ciclului normal de achiziție a informațiilor de la echipamentele de monitorizare și dedicarea unui fir de execuție (thread) special pentru această operație.

- Componenta de vizualizare a istoricului datelor măsurate și înregistrate de către serverele locale: EMCSIT Istoric. Acest modul are acces la datele înregistrate în baza de date de către serverele locale și afișează istoricul pentru parametrii monitorizați ai echipamentelor electrice sub formă grafică sau tabelară.

Aplicațiile client sunt dezvoltate pentru întreruptoare (EMCSIT I Client, Grafice evenimente, Istoric), separatoare (EMCSIT S Client, Grafice Evenimente, Istoric), transformatoare de măsură de curent și/sau tensiune (EMCSIT TC/TT Client, Grafice Evenimente, Istoric) și descărcătoare (EMCSIT D Client și Istoric);

Aplicația “EMCSIT Stație” prezintă schema monofilară completă pentru stația electrică, afișând simboluri animate pentru echipamentele electrice primare monitorizate (dacă sunt în funcțiune, au tensiune: culoarea roșie; dacă nu funcționează: culoarea verde) și afișează valorile parametrilor monitorizați privind fiecare astfel de echipament. Schema este desenată dinamic, orice modificare a stării unui echipament electric monitorizat, fiind ilustrată corespunzător conform convenției cu beneficiarul în ceea ce privește simbolurile utilizate și codul de culori. “EMCSIT Stație” rulează pe calculatorul client din camera de comandă.

3.3. Smart Grid

Tendința internațională, și recent națională, este de a crea rețele inteligente (Smart Grids) ce includ sisteme de monitorizare și control în domeniul energetic. Investițiile sunt masive și realizabile pe termen mediu și lung.

Deoarece nu există o organizație unică coordonatoare la nivel mondial, nu există o definiție unică însușită de specialiștii din întreaga lume. Majoritatea lumii științifice

mondiale acceptă că "Rețelele/Rețeaua Inteligentă" vine de la termenul "Smart Grids/Grid". Acesta a început să fie utilizat frecvent din 2003 în SUA și din 2005 în Europa.

Indiferent de definiția utilizată, o Rețea Inteligentă include un sistem automat de monitorizare și control în timp real a lanțului producție - consumator final de energie, folosind o rețea informatică și de comunicații bidirecționale. Smart Grid se bazează pe tehnologii de ultimă generație: supraconductivitatea, integrarea SER (surse de energie regenerabilă), utilizarea sistemelor expert în automatizarea, diagnosticarea și conducerea instalațiilor energetice, folosirea dispozitivelor electronice inteligente pentru aplatizarea curbei de sarcină și alegerea tarifului.

În prezent, Rețeaua Inteligentă este definită ca un ansamblu de sisteme de control și management al rețelei electrice, senzori și mijloace de comunicare și informare, care încorporează atât elemente tradiționale cât și de ultimă generație. Ea combină elemente de software și hardware menite să îmbunătățească semnificativ modul în care este condus/operat sistemul electric actual (de la cel de joasă tensiune până la cel de înaltă tensiune) și să permită comunicarea în timp real între entitățile interesate din lanțul producție - consumator final.

În cadrul Uniunii Europene (EU) se promovează, prin realizarea Planului Tehnologic Strategic (PTS), o politică energetică care să conducă la creșterea eficienței energetice, accelerarea producției de energie regenerabilă, dezvoltarea tehnologiilor de tip Smart Grid în vederea obținerii securității energetice, competitivității și dezvoltării durabile. Având în vedere schimbările climatice, Comisia Europeană (CE) a propus:

- reducerea emisiilor de gaze cu efect de seră cu 20% până în anul 2020 comparativ cu 1990;
- creșterea ponderii energiei regenerabile de la cca 11% în 2010 la 20% în 2020;
- reducerea consumului global de energie primară cu 20% până în 2020 prin introducerea de noi tehnologii și creșterea eficienței energetice;

În vederea realizării acestei directive un rol foarte important îl va avea implementarea Rețelelor Inteligente.

În țara noastră, nu există un document elaborat la nivel de Guvern care să trateze strategia privind Rețelele Inteligente. Totuși, România ca țară membră UE trebuie să îndeplinească obiectivele stabilite de UE prin Directiva 28/2009 care prevede ca până în anul 2020, SER să aibă o pondere de 24% din totalul de consum al României.

Printre principalele măsuri pentru atingerea obiectivului de 24% este și creșterea capacității rețelelor de distribuție de medie și joasă tensiune prin aplicarea tehnologiilor Smart Grid.

Conform „Strategiei Energetice a României pentru perioada 2007-2020” cele mai importante obiective care trebuie realizate sunt:

- Securitatea aprovizionării cu energie;
- Dezvoltarea durabilă;
- Competitivitatea.

Valoarea totală estimată a investițiilor necesare realizării obiectivelor din Strategia 2007-2020 este de cca. 35 miliarde de euro.

În continuare se va prezenta modelul conceptual/cadru elaborat de Institutul Național de Standardizare și Tehnologii - NIST [Smg9-9] pentru promovarea Smart Grid (Fig. 3.3.1.)

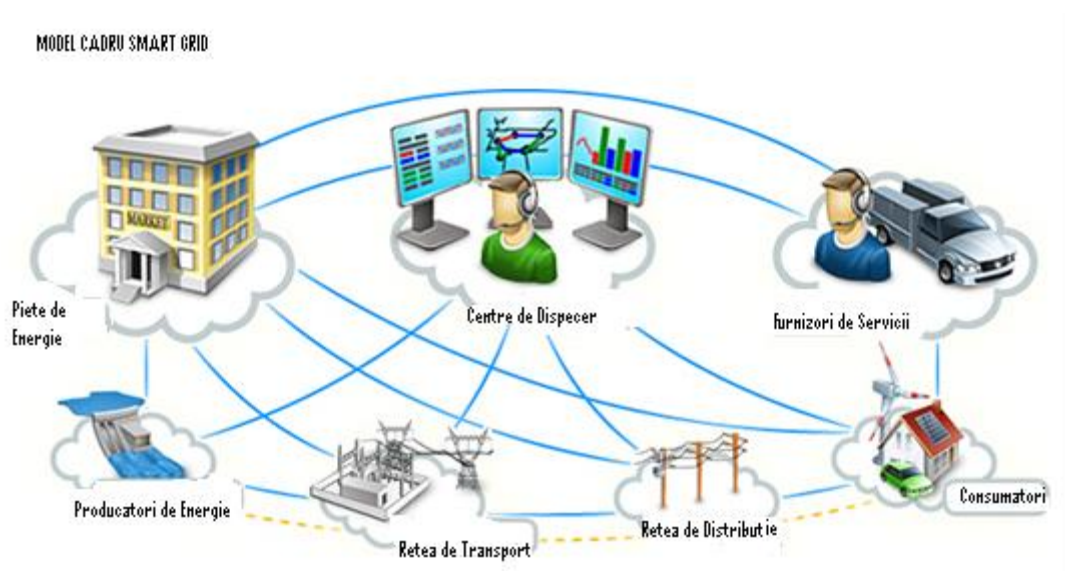


Fig.3.3.1. Model Conceptual SMART GRID

Rețeaua Inteligentă, prin caracterul interoperabil și interactiv va permite companiilor de electricitate să livreze energie electrică în sistem cât mai economic și eficient și va permite tuturor categoriilor de consumatori să achiziționeze energie electrică la prețuri mai reduse față de cele din 2010 pe termen mediu și lung.

Realizarea acestui tip de rețea va contribui la reducerea emisiilor de gaze și la o dezvoltare durabilă în condițiile în care rezervele de energie primară din combustibili fosili sunt în scădere.

Analizând modelul american și european privind realizarea Rețelelor Inteligente, se constată că una dintre verigile importante privind implementarea Smart Grid-urilor, ca parte componentă a infrastructurii instalațiilor electrice, este stația electrică. Pentru a contribui la realizarea acestui concept în România, a fost realizat proiectul EMCSIT - sistem complex de monitorizare on-line pentru o stație electrică, indiferent de nivelul tensiunii și complexitatea acesteia. În cadrul acestui proiect pilot sunt monitorizate toate echipamentele primare: transformatoare de putere, întreruptoare, separatoare, transformatoare de măsură (curent și/sau tensiune) și descărcătoare.

Pentru o tranziție de succes a implementării tehnologiilor specifice Rețelelor Inteligente în prezent și în viitor, toate părțile interesate trebuie să se implice efectiv: guverne, autorități de reglementare în domeniu, universități, entitățile de pe lanțul producție - consumator final, producătorii de echipamente de instalații electrice, producătorii de dispozitive electronice inteligente (IED-uri), furnizorii de tehnologii informatice și de telecomunicații. Coordonarea la nivel local, regional, național și european este esențială pentru realizarea obiectivelor prevăzute în Platforma Tehnologică Europeană privind realizarea Rețelelor Inteligente.

Implementarea cu succes a conceptului Smart Grid, ce include sisteme de monitorizare și control la nivel de stație electrică, va asigura nu numai energie electrică „curată” și mai ieftină ci și o dezvoltare durabilă.

3.4. Probleme care pot cauza căderi ale sistemului

Sistemul de monitorizare și control poate cădea atunci când una dintre componentele sale, hardware sau software cade sau se defectează.

Componentele hardware incluse în IED-uri pot cădea din foarte multe motive, printre care: erori de proiectare a circuitelor electronice, utilizarea unor componente electronice care nu sunt fiabile, erori în realizarea circuitelor și lipirea componentelor electronice, etc.

Componentele software sunt reprezentate prin: software-ul embedded din IED-uri și aplicațiile tip server respectiv client din componența sistemului de monitorizare și control.

Software-ul embedded din IED-uri poate cădea din următoarele cauze:

- neacoperirea tuturor cazurilor ce impun restartarea sistemului și blocarea într-o rutină ciclică care însă informează secțiunea de program ce se ocupă cu restartarea în cazul blocărilor (denumită și watchdog) că programul rulează normal.

- coruperea memoriei EEPROM care ține setările și adresele fiecărui IED la o pornire cu tensiune scăzută sau oscilantă care nu acoperă minimumul necesar pentru ca microcontroller-ul să efectueze operațiile corect.

Aplicațiile software tip server respectiv client pot avea următoarele cauze ale căderilor:

- Neprotejarea secțiunilor din codul sursă la generarea de excepții;
- Conectarea eronată sau neconectarea la IED-uri;
- Apariția unor bucle infinite în secvențele de achiziționare de informații sau evenimente;
- Netratarea tuturor condițiilor care pot să apară în procesul de funcționare a echipamentelor electrice, etc.

În concluzie, problemele care pot cauza proasta funcționare a unui sistem de monitorizare și control a unei stații electrice pot fi de mai multe feluri, de la întârzierea transmisiei datelor, afișarea eronată a datelor, până la nefuncționarea unei componente software sau chiar a întregului sistem.

În cazul în care stația electrică nu are personal, astfel de erori pot produce pagube însemnate, ajungându-se la defecte fizice chiar și în cazul în care sistemul a avut erori doar pe partea de monitorizare nu și de control. În cazul în care sistemul include pe lângă partea de monitorizare și parte de control, în urma erorilor din procesul de monitorizare, poate fi afectat și controlul echipamentelor, deoarece acest tip de operațiune este urmarea la informațiile obținute prin monitorizare.

Informațiile obținute cu ajutorul sistemului de monitorizare și control sunt utile la dispeceratul energetic național (DEN) iar o întârziere de raportare a unui defect al echipamentului electric monitorizat poate afecta echilibrul energetic pe o anumită zonă. În consecință, domeniul energetic, fiind un domeniu critic, în special la noi în țară dar nu numai, începe să resimtă vechimea echipamentelor electrice actuale. Deoarece este imposibilă o reînnoire rapidă a tuturor echipamentelor cu probleme, soluția este de a le prelungi durata de viață (prin procedee tehnologice specifice și dedicate fiecărui tip de echipament electric) și de a le monitoriza parametrii principali pentru prevenirea efectelor defectării lor.

Importanța unui sistem complex de monitorizare și control al stațiilor electrice a fost conștientizată de marii operatori de transport și distribuție a energiei electrice și cerințele sunt ca aceste sisteme să funcționeze fără erori/defecte.

3.5. Concluzii

În acest capitol este prezentată arhitectura generală a unui sistem de monitorizare și control a unei stații electrice. Sunt prezentate sisteme existente reprezentative, produse de fabricanți cunoscuți în domeniul energetic. Este prezentat sistemul de monitorizare și control EMCSIT, utilizat ca studiu de caz în cadrul tezei.

Tendința internațională și recent națională, este de a crea rețele inteligente (Smart Grids) ce includ sisteme de monitorizare și control în domeniul energetic. Investițiile sunt masive și realizabile pe termen mediu și lung.

Sunt identificate problemele ce pot apărea în dezvoltarea, funcționarea și operarea acestui sistem și care pot cauza căderea lui.

Importanța unui sistem complex de monitorizare și control a unei stații electrice a fost conștientizată de marii operatori de transport și distribuție a energiei electrice și cerințele sunt ca aceste sisteme să funcționeze fără erori sau defecte.

4. Studiu de caz: soluții pentru asigurarea calității sistemului de monitorizare și control EMCSIT

4.1. Particularitățile sistemului

EMCSIT este un sistem complex de monitorizare on-line a unei stații electrice [Urs8-3]. Arhitectura sistemului EMCSIT este de tip client-server.

Din punct de vedere hardware, sistemul de monitorizare este alcătuit din mai multe IED-uri (Intelligent Electronic Device) poziționate în fiecare cabină de relee din cadrul stației electrice, care sunt conectate la senzori și traductori montați pe echipamentele electrice din stație și transmit informațiile achiziționate de la acestea către serverele locale.

Sistemul de monitorizare, din punct de vedere informatic, include calculatoare (denumite în continuare servere) care sunt conectate la echipamentele de monitorizare (IED-uri) și achiziționează valorile parametrilor monitorizați, pe care le stochează într-o bază de date locală Oracle. Pe lângă aceste servere, există un server central care efectuează sincronizarea cu celelalte servere și preia informațiile pentru a fi accesate de aplicațiile client EMCSIT din rețeaua locală.

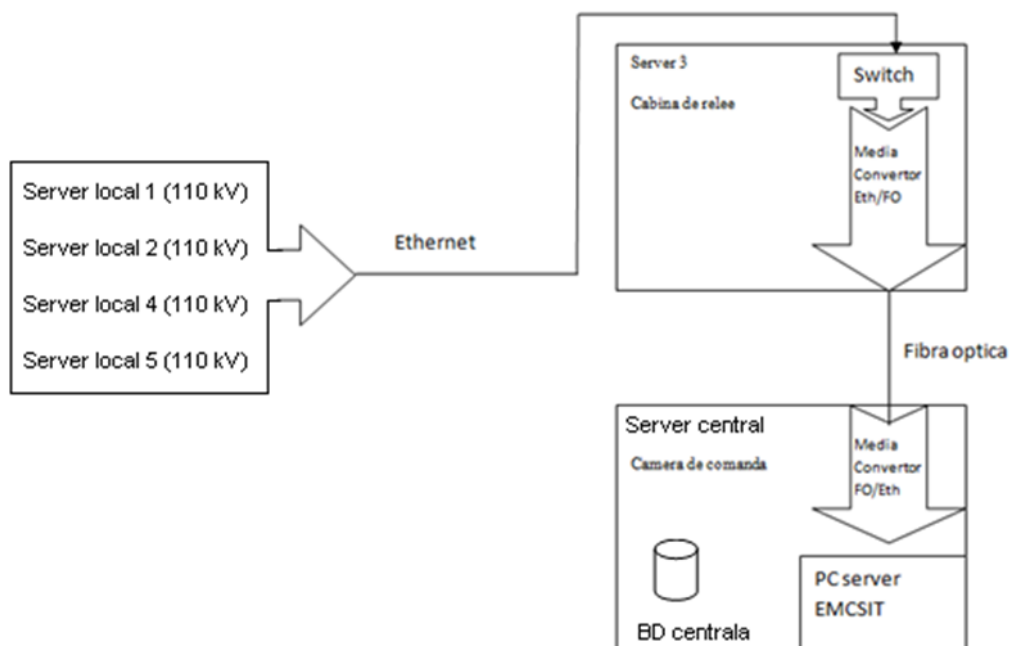


Fig. 4.1.1. Conexiunea serverelor locale cu serverul central

Deoarece un server local se conectează la mai multe IED-uri, va trebui să ruleze câte o instanță de aplicație server pentru fiecare IED conectat. Pentru a preveni rularea a mai

multor ferestre de aplicații server, fiecare conectându-se la câte un IED, a fost dezvoltată o aplicație denumită „EMCSIT SuperServer”. Aceasta rulează câte o instanță de aplicație server aferentă fiecărui IED, transparent pentru utilizator, utilizând mai multe thread-uri (fire de execuție). În cazul în care există erori pentru achiziția informațiilor de la un IED, thread-ul respectiv va fi abandonat, urmând ca operațiunea să se reia la următorul interval de achiziție. În cadrul sistemului folosit ca studiu de caz, intervalul de achiziție este de 1 minut. Astfel, la fiecare minut, aplicația EMCSIT SuperServer interoghează toate IED-urile care sunt conectate la serverul local și achiziționează informații privind parametrii monitorizați ai echipamentelor electrice.

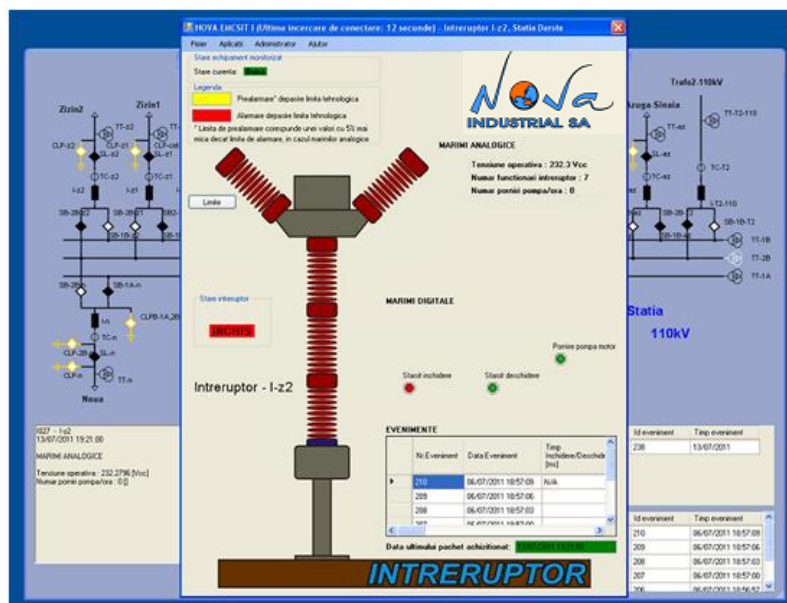


Fig. 4.1.2. Aplicația EMCSIT Stație ce prezintă schema monofilară a stației și integrarea aplicației EMCSIT client pentru monitorizarea unui întreruptor

După achiziționarea pachetului de date de la IED, informațiile sunt prelucrate și salvate în baza de date, instalată pe serverul central aferent câte unei substații din componența stației electrice. În cazul în care se produce un eveniment (închidere/deschidere întreruptor sau separator, supracurenți, supratensiuni, descărcare, etc.) pentru un echipament electric monitorizat, se va deschide un alt thread pentru achiziționarea, prelucrarea și salvarea lui în baza de date, utilizând un modul software dedicat, EMCSIT Evenimente.

În perioada de dezvoltare a sistemului, au fost colectate informații privind numărul de defecte descoperite la nivelul fiecărei aplicații din componența sistemului. Pe baza acestor informații, a fost calculată rata de defectare a fiecărei componente software a sistemului.

Calitatea sistemului trebuie să fie asigurată la nivelul mai multor componente:

- componentele de achiziție de date (IED-uri);
- componentele de transmisie a datelor (integritatea fizică a mediilor de transmisie și asigurarea securității și integrității datelor transmise);
- aplicațiile server de prelucrare (aplicațiile server EMCSIT trebuie să asigure achiziția corectă a informațiilor, prelucrarea acestora și stocarea în baza de date locală);
- aplicațiile client de vizualizare a parametrilor (aplicațiile client EMCSIT trebuie să asigure corectitudinea achiziției datelor de la serverul EMCSIT și promptitudinea achiziției).

Din experiența avută cu sistemele de monitorizare și control cu care am lucrat, am constatat că, în timp, pot apărea defectări atât la nivelul componentelor hardware cât și a celor software.

Printre erorile hardware cu care am fost confruntat, se numără:

- defectarea unui microcontroller din diverse cauze, cum ar fi cele termice;
- defectarea unui releu; astfel, comenzile dispozitivului hardware nu ajung la echipamentul electric comandat;
- funcționarea incorectă a unui traductor de curent, ceea ce duce la calcule eronate și la comenzi greșite;
- trasee electronice întrerupte pe placă, etc.

Printre erorile software observate și modalitățile în care pot fi depistate, menționez:

- erori datorate ne-securizării accesului la interfața cu utilizatorul;
- netratarea tuturor posibilităților ce pot apărea în exploatare, în calcule, ce pot duce la rezultate eronate. Aceasta se verifică folosind testarea structurală pentru a detecta căi absente în graful program;
- netratarea situației în care traductorii de curent sau temperatură sunt neconectați. Aceasta se verifică prin testarea pentru a descoperi intrări nevalide;
- netratarea împărțirilor la 0. Sunt verificate căile absente în graful program prin testare structurală/funcțională;
- autoscalarea temporizată greșit a mărimilor ce duce la intrarea în bucle infinite;

- proiectarea și implementarea software greșită, astfel încât la anumite erori să se depășească memoria alocată sau stiva și să se întrerupă funcționarea normală. Se verifica prin testarea fiabilității sistemului;
- pornirea dispozitivului cu stările inițiale ale comenzilor specificate incorect, ce poate duce la alarmări false, fără a fi îndeplinite condițiile de alarmare (semnalizare sau declanșare) din cauza variabilelor neinițializate sau inițializate incorect. Aceasta se verifică prin testarea software folosind simulatoare ale IED-urilor;
- semnalizare eronată, conducând la alertarea falsă a personalului sau chiar la deconectarea din SEN (sistemul energetic național) a unui echipament electric (transformator/autotransformator) funcțional și posibilitatea dezechilibrării SEN pe zona respectivă;

Este propusă pentru viitor, ca soluție pentru remedierea acestor tipuri de erori/defecte, implementarea unui watchdog hardware (mecanism de reinițializare a IED-ului în cazul blocării), tratarea cât mai multor excepții posibile în software, validarea internă a rezultatelor înainte de a trimite comenzi către echipamentul electric monitorizat.

4.2. Dezvoltarea unui simulator de echipamente de monitorizare și control (IED-uri) pentru testarea sistemului

Dezvoltarea unui sistem de monitorizare și control a unei stații electrice include atât componente software cât și hardware și necesită un efort financiar și uman uriaș.

Este necesar ca un astfel de sistem să fie cât mai fiabil. Pentru aceasta se efectuează teste independente pentru componentele software și apoi teste de acceptanță în stație, având toate subsistemele conectate și funcționale.

În continuare voi prezenta testele efectuate în cadrul proiectului EMCSIT, prezentat ca studiu de caz. Aceste teste au fost făcute înaintea dezvoltării simulatorului de IED-uri și prin urmare nu au beneficiat de nici unul din avantajele utilizării acestuia.

Testarea aplicațiilor EMCSIT s-a efectuat în mai multe etape, înainte de instalarea în cadrul stației electrice:

- mai întâi a fost testată funcționarea fiecărui tip de IED împreună cu aplicația EMCSIT Server corespunzătoare. Aceasta testare a presupus conectarea pe interfața serială a câte unui tip de IED și simularea, utilizând diverse metode electrotehnice, a unor valori pentru parametrii monitorizați. Valorile folosite prin această metodă de

simulare nu au corespuns valorilor reale obținute în mediul de lucru datorită imposibilității simulării condițiilor de lucru reale în stația electrică.

- au fost testate modulele EMCSIT Client, Grafice Evenimente și Istoric împreună cu aplicația EMCSIT Server;

- a fost testată aplicația EMCSIT Stație;

A urmat instalarea aplicațiilor software în cadrul stației electrice și au fost efectuate teste de acceptanță, cu unele echipamente electrice neconectate la SEN (Sistemul Energetic Național). Datorită structurii stației electrice, funcționalității și disponibilității acesteia, nu s-au putut efectua testele de acceptanță cu toate echipamentele electrice neconectate, cum era recomandat. După ce aceste teste au fost trecute, echipamentele electrice (ce au putut fi deconectate) au fost repuse în operare pentru ca testarea întregului sistem de monitorizare și control să aibă loc în condiții reale de exploatare.

Toate aceste teste au avut drept scop obținerea unui produs software fiabil, care să poată fi utilizat în bune condiții de către beneficiar. Beneficiarul direct este personalul operativ din stație, care utilizează acest software și trimite informațiile obținute către dispeceratul zonal și cel național (DEN).

Dificultățile și insuficiența procesului de testare descris mai sus sunt legate de următoarele aspecte:

- În absența echipamentelor electrice monitorizate de IED-uri și a unor simulatoare ale IED-urilor, aplicațiile server au fost testate insuficient;
- Accesul și perioada petrecută pentru teste în cadrul unei stații electrice necesită aprobări speciale și este limitată. Din acest motiv, nici perioada de testare de acceptanță nu este suficientă pentru descoperirea unui procent cât mai mare din posibilele defecte.

De aceea, am considerat necesară dezvoltarea unui simulator software pentru IED-uri, ce aduce următoarele avantaje:

- Posibilitatea testării mult mai complete a componentelor software de tip server;
- Posibilitatea simulării conectării mai multor IED-uri la o aplicație server;
- Testarea aplicațiilor server cu valori reale, conform limitelor specificate de specialiștii tehnologi pentru fiecare tip de echipament electric.
- Executarea testelor software înainte de existența IED-urilor;

- Posibilitatea descoperirii și demonstrării proastei funcționării a unui IED prin compararea rezultatelor obținute utilizând aplicația server împreună cu un IED și utilizând aplicația server împreună cu simulatorul software;
- Scurtarea perioadei de teste de acceptanță în stația electrică;
- Obținerea unui software mult mai fiabil;
- Reducerea costurilor legate de dezvoltarea și mentenanța sistemului prin realizarea componentelor software în paralel cu procesul de producție a IED-urilor.

Acest simulator de IED-uri transmite pe interfața serială pachete de date ce pot fi preluate de către aplicațiile tip server EMCSIT.

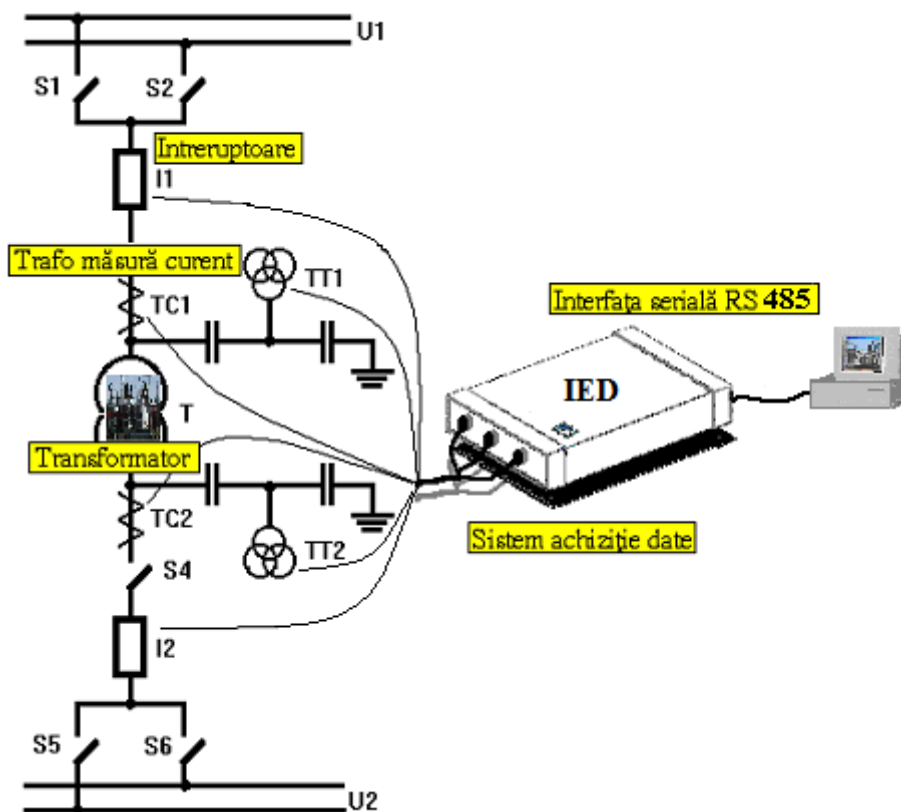


Fig. 4.2.1. Ansamblul echipament electric – IED – server local

Utilizând aceste pachete de date, sunt testate:

- achiziția informațiilor de pe interfața serială;
- corectitudinea calculului privind parametrii monitorizați;
- salvarea corectă a rezultatelor în baza de date;

În acest fel, se pot descoperi și elimina defecte înainte de instalarea în stație.

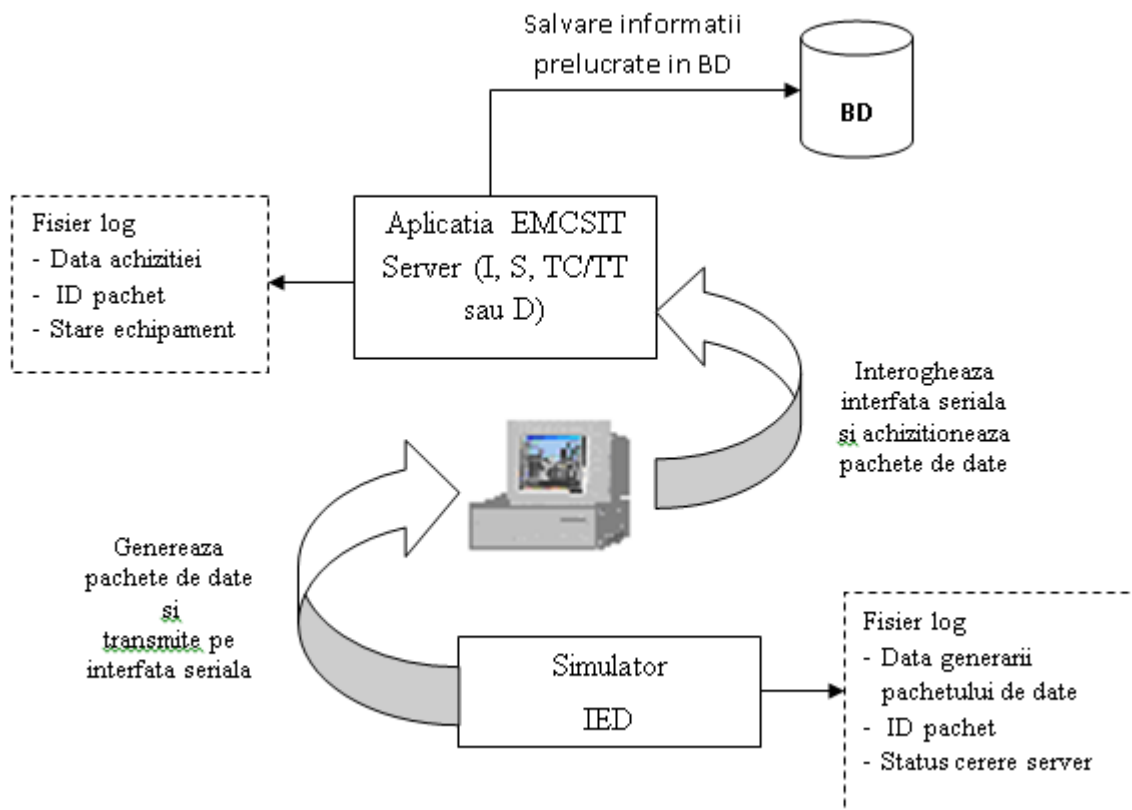


Fig. 4.2.2. Ansamblul simulator IED – aplicație server EMCSIT

Pachetele de date transmise de către simulator sunt generate pe baza unor mărimi de intrare specifice echipamentelor electrice conectate la IED. Mărimile de intrare diferă de la un tip de IED la altul.

Totodată, protocolul de comunicație între IED și server nu este același pentru toate tipurile de IED. De aceea, înainte de pornirea simulatorului, este necesară o etapă de configurare în care tester-ul:

- alege tipul de IED ce va fi simulat;
- precizează numărul mărimilor monitorizate de IED;
- specifică domeniul de valori al fiecărei mărimi monitorizate și limitele de alarmare;

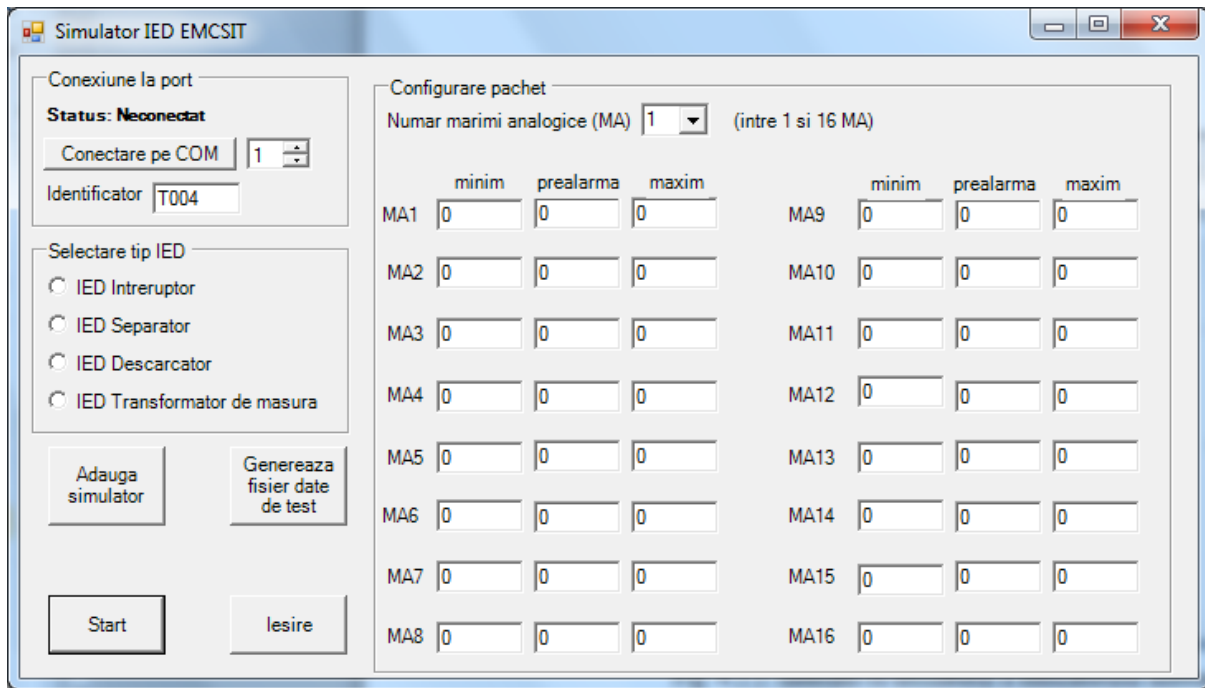


Fig. 4.2.3. Fereastra de configurare a simulatorului de IED-uri

În fereastra de configurare a simulatorului software, trebuie mai întâi selectat portul serial pe care se va comunica cu aplicația EMCSIT server. Apoi se va selecta tipul de IED care trebuie să fie simulat.

În momentul în care este selectat numărul mărimilor analogice (parametrii monitorizați), vor fi editabile căsuțele text pentru valorile - minim, prealarmă și maxim doar pentru acel număr de mărimi specificat. Trebuie completate toate cele trei valori pentru fiecare mărime analogică.

Pasul următor îl reprezintă generarea fișierului cu date de test utilizând metoda Pairwise testing.

Simularea poate fi pornită pentru IED-ul care a fost configurat sau se poate adăuga alt IED, datele pentru IED-ul curent fiind salvate într-un fișier text de configurare.

Simulatorul are posibilitatea adăugării mai multor IED-uri virtuale datorită implementării protocolului de comunicare între IED-uri – Daisy Chain.

IED-urile sunt conectate la un calculator server într-o configurație Daisy-Chain prin conectarea fiecărui IED la alt IED, nu prin conectarea individuală, a fiecărui IED direct la server. Numai ultimul IED din această înlanțuire se conectează direct la server. Fiecare IED are un identificator unic, comunicarea făcându-se pe aceeași magistrală în funcție de valoarea acestuia.

Astfel, utilizând simulatorul pot fi simulate mai multe IED-uri pe același port serial al calculatorului server cu condiția ca identificatorul fiecărui IED să fie diferit. Nu există restricții privind ordinea adăugării IED-urilor în simulator și nu trebuie respectată ordinea conectării fizice a acestora.

În momentul în care se pornește simulatorul, la intervale predefinite de timp (valoarea inițială este de 5 secunde), vor fi generate pachete de date și trimise pe interfața serială pentru achiziția acestora de către server.

Simulatorul generează fișiere log ce conțin informații privind data generării pachetului de date, id-ul acestuia și dacă a fost achiziționat cu succes sau nu de către aplicația server.

Exemplu de fișier log generat de simulator:

- 8-10-2011_12-10-37-755 Primit solicitare de la server pentru pachetul cu ID - 1
- 8-10-2011_12-10-47-489 Primit solicitare de la server pentru pachetul cu ID - 2
- 8-10-2011_12-10-57-629 Primit solicitare de la server pentru pachetul cu ID - 3
- 8-10-2011_12-11-7-770 Primit solicitare de la server pentru pachetul cu ID - 4
- 8-10-2011_12-11-17-910 Primit solicitare de la server pentru pachetul cu ID - 5

În cazul de față, pachetele de date generate de către simulator au fost achiziționate cu succes de către aplicația server.

Atunci când se simulează un singur IED, pentru testare va fi utilizată aplicația EMCSIT Server corespunzătoare aceluși tip de IED.

Dacă au fost adăugate mai multe IED-uri, atunci va trebui utilizată pentru testare aplicația EMCSIT SuperServer care are posibilitatea rulării în paralel a mai multor instanțe ale aplicațiilor EMCSIT Server pentru tipurile de IED-uri simulate.

În acest moment, simulatorul are implementat un protocol de comunicație proprietar.

Există posibilitatea adaptării acestui simulator prin:

- Adăugarea posibilității conectării prin interfața de rețea;
- Implementarea altor protocoale de comunicație, precum cel definit de standardul IEC61850.
- Simularea trimiterii de comenzi către echipamentele electrice;

4.2.1. Simularea unui IED pentru un întreruptor

Întreruptoarele electrice sunt aparate cu ajutorul cărora se realizează operațiile necesare de conectare și de deconectare atât în condiții normale de lucru, cât și în condiții de avarie.

Ținându-se cont că aceste aparate trebuie să facă față la curenți cu intensități foarte mari care pot apărea frecvent în rețelele electrice, ele se caracterizează, în afara parametrilor nominali comuni tuturor aparatelor electrice de comutație (curent nominal, tensiune nominală, frecvență de lucru, curent limită dinamic, curent limită termic), și printr-o altă mărime nominală specifică, ce definește proprietățile de comutație și care se numește capacitate nominală de rupere în scurtcircuit. Ea reprezintă cel mai mare curent de scurtcircuit (valoare efectivă) pe care un întreruptor este capabil să-l întrerupă în condiții de utilizare și funcționare prescrise.

Pentru a testa aplicațiile server EMCSIT s-au aplicat praguri limită pentru datele achiziționate: tensiune operativă, număr porniri pompă/oră, astfel încât să fie simulată starea bună, starea de prealarmare și starea de alarmare pentru echipamentul electric, conform informațiilor primite de la tehnologi.

Pentru un întreruptor se poate testa aplicația server utilizând 2 mărimi analogice:

- Mărimea analogică 1 (MA1): Tensiunea operativă;
- Mărimea analogică 2 (MA2): Număr porniri pompă/oră;

Limitele minime și maxime ce definesc intervalul de valori pentru fiecare mărime analogică, sunt următoarele:

- Pentru MA1: valoarea minimă este 0 Vcc (volți curent continuu) iar valoarea maximă este de 400 Vcc;
- Pentru MA2: nu sunt emise alarme, dar se poate considera ca valoare minimă un număr de 0 funcționări/oră iar valoarea maximă este de 255 funcționări/oră;

Limitele de prealarmare pentru aceste mărimi și care sunt transmise ca date de intrare pentru simulatorul de IED-uri sunt următoarele:

- Pentru MA1: 260 Vcc;

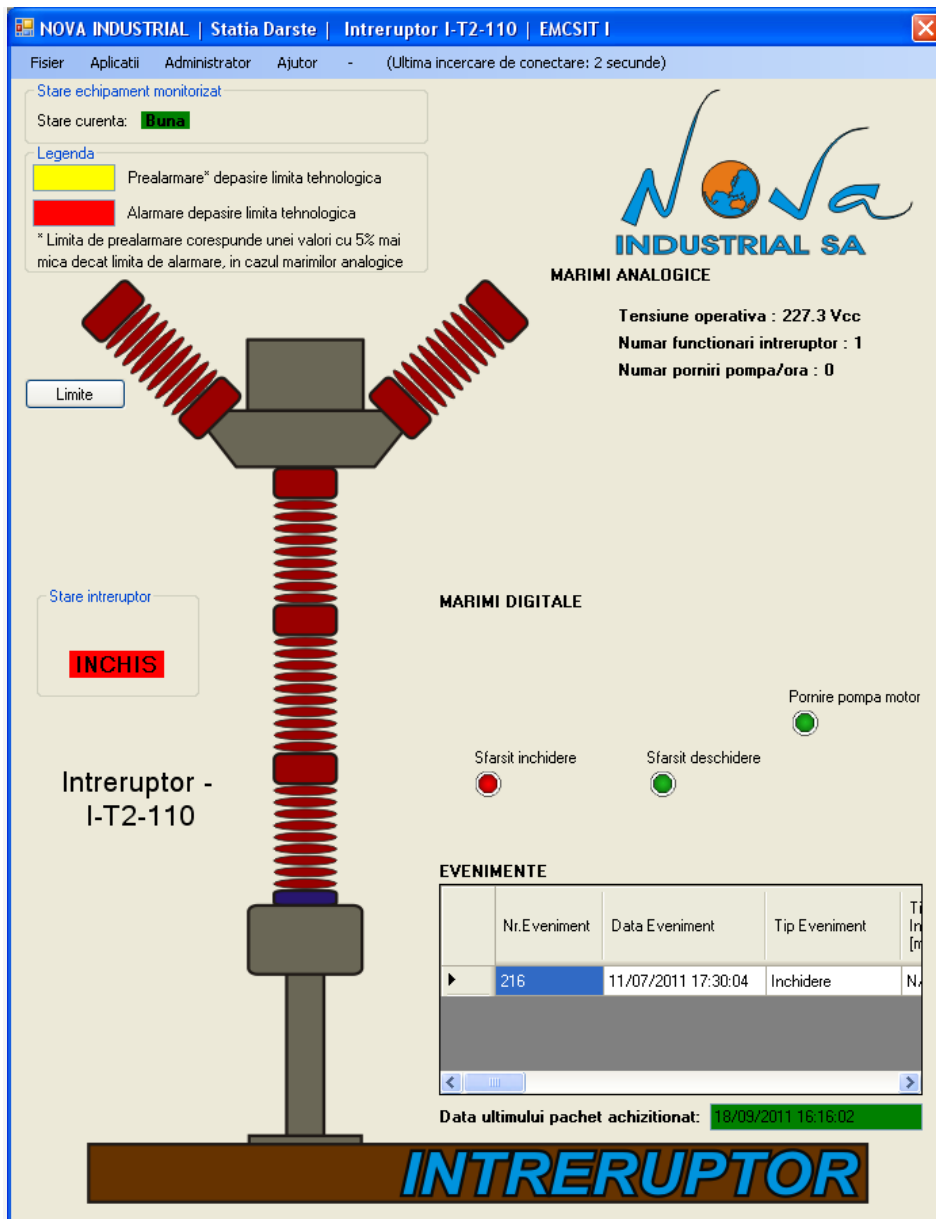


Fig. 4.2.1.1. Aplicația server pentru întreruptor.

4.2.2. Simularea unui IED pentru un separator

Normele de protecția muncii cer ca lucrările de întreținere și reparații în instalațiile de înaltă tensiune să se execute numai după ce circuitul în care se lucrează a fost deconectat și izolat vizibil de restul instalației. De asemenea, în instalațiile electrice sunt necesare uneori manevre de conectare sau de deconectare a unor circuite fără curent (schimbarea sau separarea barelor, trecerea de la un generator sau transformator la altul etc.), fiind necesare aparate de conectare simple, cu construcție robustă, cu manevrare ușoară și poziție ușor vizibilă. Pentru aceste scopuri se folosesc separatoarele de înalta tensiune.

Separatoarele sunt aparate de comutație destinate conectării și deconectării circuitelor sub tensiune, însă fără sarcină. Ele pot întrerupe și curenți de intensitate redusă, cum sunt curenții de magnetizare (de mers în gol) ai transformatoarelor de putere mică sau curenții nominali ai transformatoarelor de putere foarte mică.

Separatoarele de înaltă tensiune se realizează în numeroase tipodimensiuni, care se deosebesc prin parametri nominali (tensiuni între 35 și 750 kV, curenți între 200 și 6000 A), prin numărul de poli și varianta constructivă.

Într-o instalație energetică separatorul permite efectuarea transferului de energie între sistemele de bare colectoare la plecări sau sosiri. Cu ajutorul separatoarelor se poate face cuplarea unei linii la unul din sistemele de bare colectoare.

Pentru a testa aplicațiile server EMCSIT s-au aplicat praguri limită pentru datele achiziționate: număr funcționări, astfel încât să fie simulată starea bună, starea de prealarmare și starea de alarmare pentru echipamentul electric, conform informațiilor primite de la tehnologi.

Pentru un separator se poate testa aplicația server utilizând o singură mărime analogică:

- Mărimea analogică 1 (MA1): număr funcționări.

Limitele minimă și maximă pentru aceasta mărime sunt următoarele:

- valoarea minimă: 0 funcționari, valoarea maximă: 255 funcționări; nu sunt emise alarme.

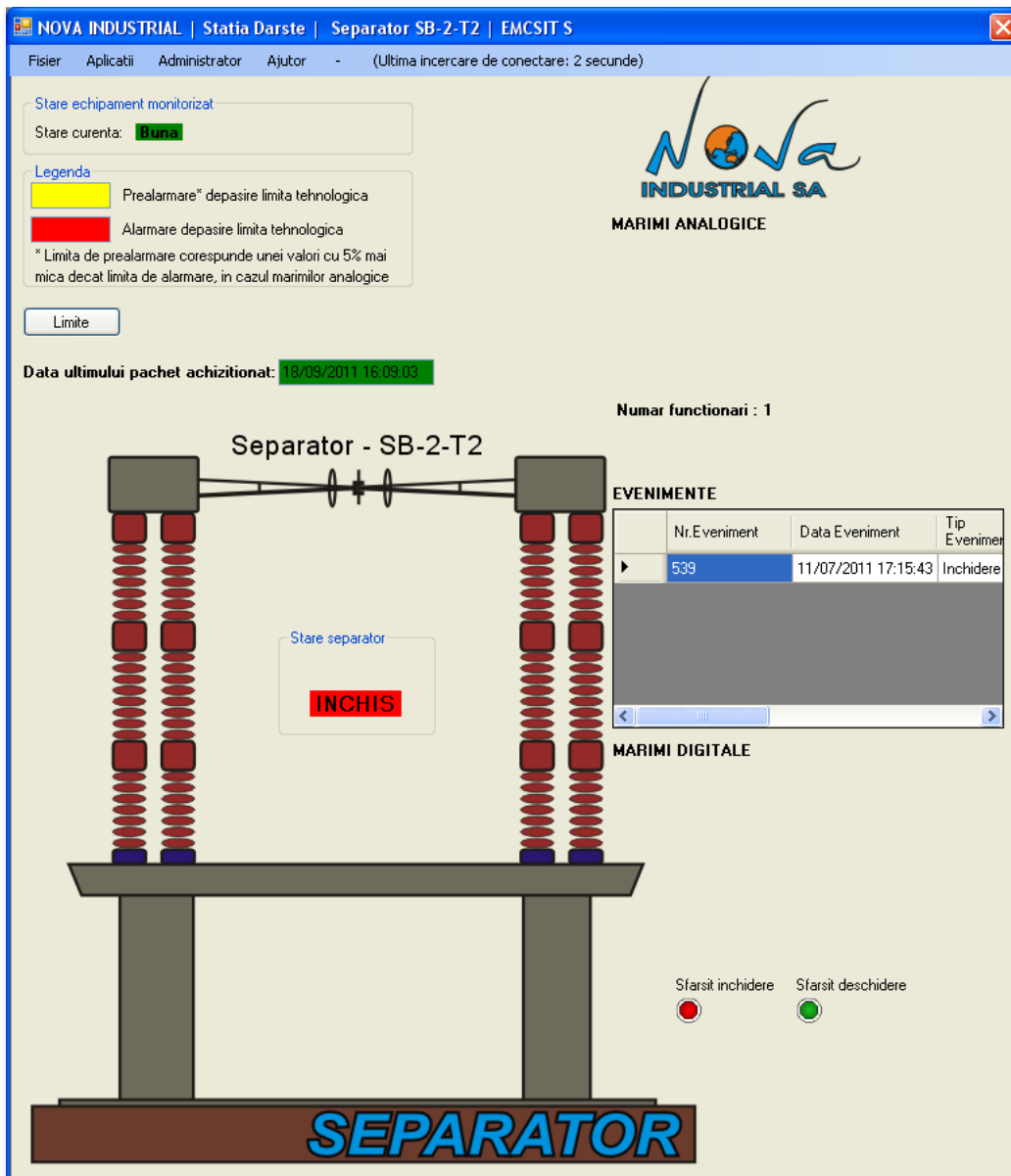


Fig. 4.2.2.1. Aplicatia server pentru un separator.

4.2.3. Simularea unui IED pentru un descărcător

Descărcătoarele sunt aparate de protecție care pe lângă funcția principală de limitare a supratensiunilor sunt capabile să reducă curentul de însoțire la valori pentru care spațiul disruptiv devine izolant, fiind prevăzute cu dispozitive speciale de stingere a arcului electric, imediat ce tensiunea a revenit la valori nepericuloase pentru instalație.

Rolul funcțional al descărcătorului electric este de a limita supratensiunile atmosferice și de comutație într-o instalație electrică. Descărcătorul se montează la intrarea în stațiile electrice între faze și pământ și în punctele în care linia își modifica impedanța caracteristică.

Pentru a testa aplicațiile server EMCSIT s-au aplicat praguri limită pentru datele achiziționate: curenți armonică 1 și armonică 3, curent de dezechilibru astfel încât să fie simulată starea bună, starea de prealarmare și starea de alarmare pentru echipamentul electric, conform informațiilor primite de la tehnologi.

Pentru un descărcător se poate testa aplicația server utilizând 10 mărimi analogice:

- Mărimea analogică 1 (MA1): Curent total faza R;
- Mărimea analogică 2 (MA2): Curent armonică a 3-a faza R;
- Mărimea analogică 3 (MA3): Curent total faza S;
- Mărimea analogică 4 (MA4): Curent armonică a 3-a faza S;
- Mărimea analogică 5 (MA5): Curent total faza T;
- Mărimea analogică 6 (MA6): Curent armonică a 3-a faza T;
- Mărimea analogică 7 (MA7): Contor faza R;
- Mărimea analogică 8 (MA8): Contor faza S;
- Mărimea analogică 9 (MA9): Contor faza T;
- Mărimea analogică 10 (MA10): Curent total dezechilibru;

Limitele minime și maxime care definesc intervalul de valori pentru fiecare mărime analogică, sunt următoarele:

- Pentru MA1, MA3 și MA5: valoarea minimă este de 0 microamperi iar valoarea maximă este de 100000 microamperi;
- Pentru MA2, MA4 și MA6: valoarea minimă este de 0 microamperi iar valoarea maximă este de 1000 microamperi;
- Pentru MA7, MA8 și MA9: nu sunt emise alarme, dar se poate considera că valoare minimă un număr de 0 funcționări iar valoarea maximă este de 255 funcționări;
- Pentru MA10: valoarea minimă este de 0 microamperi iar valoarea maximă este de 100000 microamperi;

Limitele de prealarmare pentru aceste mărimi și care sunt transmise ca date de intrare pentru simulator sunt următoarele:

- Pentru MA1, MA3 și MA5: 1000 microamperi;
- Pentru MA2, MA4 și MA6: 100 microamperi;
- Pentru MA10: 200 microamperi;

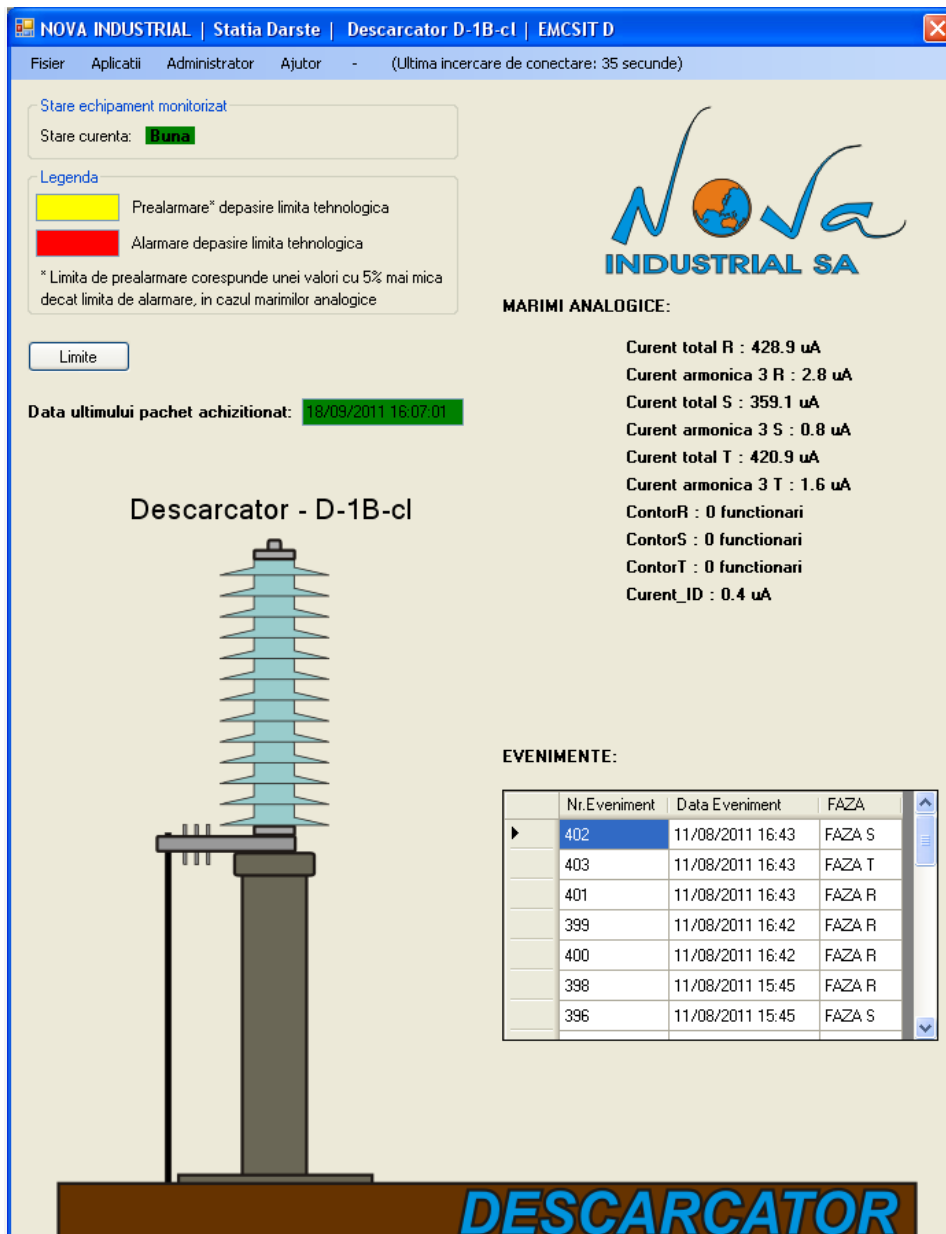


Fig. 4.2.3.1. Aplicatia server pentru descarcator

4.2.4. Simularea unui IED pentru un transformator de tensiune/curent

Transformatoarele sunt aparate electroenergetice statice, care transformă parametrii energiei electrice, tensiunea respectiv curentul, reducând valoarea acestora de un anumit număr de ori.

Pentru o exploatare în bune condiții a sistemului energetic sunt necesare aparate de măsură a mărimilor electrice: curent, tensiune, putere, frecvență, etc., aparate de protecție în vederea asigurării funcționării corecte într-un regim anormal sau de avarie în instalație, aparate de reglare automată, care realizează reglarea tensiunii, a frecvenței, etc.

În acest sens se impune ca soluție: utilizarea transformatoarelor de măsură, destinate transformării valorilor curentului și a tensiunii din circuitele primare în valori convenabile pentru circuitele secundare (1A, 2A sau 5A respectiv 100V).

Pentru a testa aplicațiile server EMCSIT s-au aplicat praguri limită pentru datele achiziționate: curenți și tensiuni astfel încât să fie simulată starea bună, starea de prealarmare și starea de alarmare pentru echipamentul electric, conform informațiilor primite de la tehnologi.

Pentru un transformator de curent/tensiune se poate testa aplicația server utilizând 6 mărimi analogice:

- Mărimea analogică 1 (MA1): Curent faza R;
- Mărimea analogică 2 (MA2): Curent faza S;
- Mărimea analogică 3 (MA3): Curent faza T;
- Mărimea analogică 4 (MA4): Tensiune faza R;
- Mărimea analogică 5 (MA5): Tensiune faza S;
- Mărimea analogică 6 (MA6): Tensiune faza T;

Limitele minime și maxime ce definesc intervalul de valori pentru fiecare mărime analogică, sunt următoarele:

- Pentru MA1, MA2 și MA3: valoarea minimă este de 0 Amperi iar valoarea maximă este de 2500 Amperi;
- Pentru MA4, MA5 și MA6: valoarea minimă este de 0 kiloVolți iar valoarea maximă este de 500 kiloVolți;

Limitele de prealarmare impuse de tehnologi pentru aceste mărimi și care sunt transmise ca date de intrare pentru simulator sunt următoarele:

- Pentru MA1, MA2 și MA3: 1920 Amperi;
- Pentru MA4, MA5 și MA6: 255 kiloVolți;

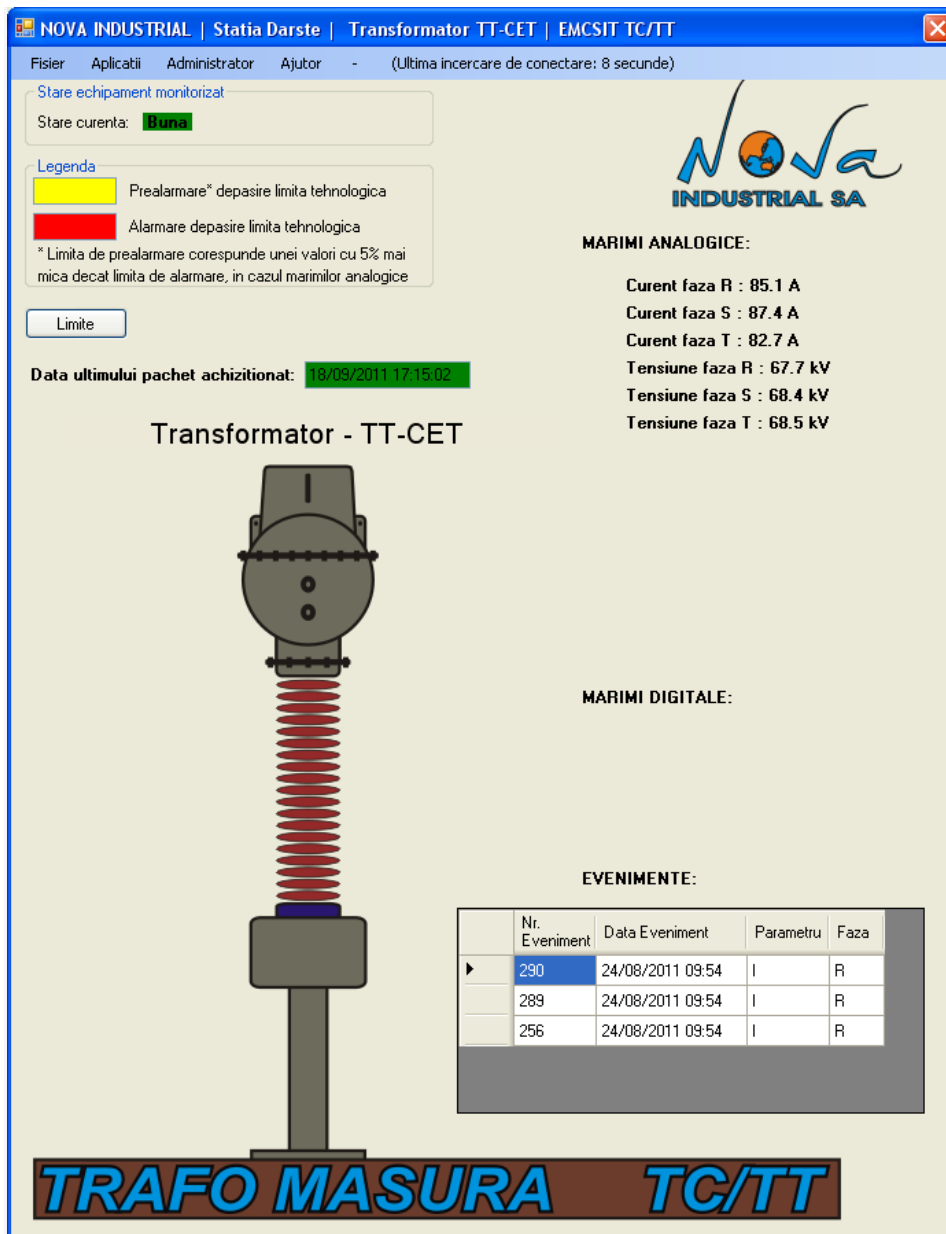


Fig. 4.2.4.1. Aplicatia server pentru un transformator de curent/tensiune

4.3. Generarea cazurilor de test– Metoda Pairwise testing

Generarea datelor de test prin analiza domeniilor variabilelor de intrare conduce la foarte multe cazuri de test: vectorii de test reprezintă combinații ale valorilor selectate pentru variabilele de intrare. Generarea ieșirii așteptate pentru un vector de test este relativ simplă: proiectantul testului calculează ieșirea așteptată analizând specificația programului.

Generarea datelor de test prin analiza domeniilor variabilelor de ieșire se potrivește situației când numărul de cazuri de test obținute este mai mic și nu este necesar să se

considere diferite combinații ale valorilor variabilelor de ieșire. Generarea unui vector de intrare necesar pentru a produce o valoare de ieșire necesită analiza specificației în direcția inversă.

Pentru testarea aplicațiilor de tip server, simulatorul generează date de test pornind de la specificațiile mărimilor monitorizate: valoarea minimă, valoarea maximă și valoarea de prealarmare. Acestea sunt valori întregi. Considerând și valorile la frontiera domeniului, valoare minimă -1/+1, valoare maximă -1/+1 precum și valoare de prealarmare -1/+1, rezultă 9 valori posibile care trebuie generate de simulator pentru o mărime monitorizată.

În cazul în care trebuie simulat un IED care monitorizează N mărimi, varianta de testare cea mai costisitoare este de a genera toate combinațiile posibile între cele 9 valori de test ale celor N mărimi, adică 9^N .

Numărul de cazuri de test obținut prin considerarea tuturor combinațiilor posibile între valorile variabilelor de intrare poate fi redus prin diferite metode.

Pairwise testing este una dintre aceste metode [Swq9-5]. Utilizarea acestei metode asigură faptul că fiecare combinație posibilă dintre valorile selectate pentru fiecare pereche de variabile de intrare este acoperită prin cel puțin un test.

Studii empirice au arătat că metoda poate conduce la detectarea a aproximativ 70% din defectele existente în software.

Pairwise testing este, de asemenea, menționată ca testarea all-pair/two-way. Se poate, de asemenea, utiliza three-way/four-way testing pentru a acoperi toate combinațiile de valori de trei sau patru variabile. Dacă toate combinațiile de valori de mai multe variabile (de exemplu 2, 3, 4, ...) sunt luate în considerare, numărul cazurilor de test crește.

Rezultate empirice pentru dispozitivele medicale și sisteme distribuite de baze de date arată că folosirea Pairwise testing ar detecta mai mult de 90% din defecte, în timp ce four-way testing ar detecta 100% din defecte. Pentru browsere web și aplicații server, Pairwise testing ar detecta aproximativ 70% din defecte, în timp ce six-way testing ar detecta 100% din defecte.

Tabel 4.3.1. Valorile de test pentru 6 mărimi analogice, fiecare cu 6 valori posibile (excluzând valorile pentru prealarmare): valoare minimă – 1, valoare maximă, valoare minimă + 1, valoare maximă – 1, valoare maximă, valoarea maximă + 1:

Parametrul 0 (mărime analogică MA1): -1, 0, 1, 399, 400, 401
Parametrul 1 (mărime analogică MA2): -1, 0, 1, 399, 400, 401

Parametrul 2 (mărime analogică MA3): -1, 0, 1, 399, 400, 401
Parametrul 3 (mărime analogică MA4): -1, 0, 1, 299, 300, 301
Parametrul 4 (mărime analogică MA5): -1, 0, 1, 299, 300, 301
Parametrul 5 (mărime analogică MA6): -1, 0, 1, 299, 300, 301

Utilizând metoda Pairwise testing se obțin 540 de cazuri de test, în loc de 6^6 (= 46656) cazuri, rezultate din considerarea tuturor combinațiilor posibile. Un exemplu de cazuri de test obținute prin această metodă este prezentat în anexa 5.

Având în vedere că a fost demonstrat statistic faptul că prin utilizarea Pairwise testing se descoperă aproximativ 70% din defecte dintr-un software, rezultă marele avantaj al utilizării acestei metode: economisirea timpului și a costului testării [Swq9-5].

Simulatorul pe care l-am dezvoltat generează cazuri de test prin metoda Pairwise testing, pe care le transmite aplicației server. Pot fi modificate atât intervalul de timp la care sunt transmise pachetele de date test cât și numărul de mărimi analogice, simulatorul putând genera pachete de date cu maxim 16 mărimi analogice.

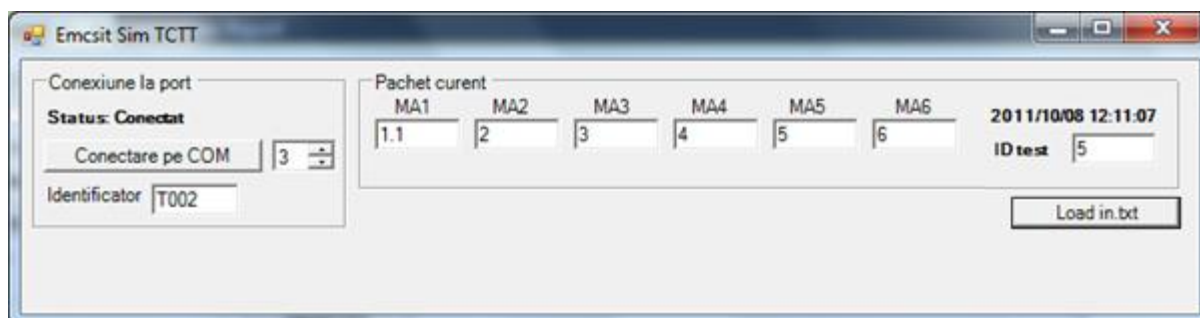


Fig. 4.3.1. Exemplu de utilizare a simulatorului de IED pentru un transformator de curent/tensiune

Aplicația server interoghează la intervale predefinite de timp (momentan intervalul este de 10 secunde) interfața serială a serverului și achiziționează pachetul de date ce conține valorile mărimilor analogice monitorizate. Aceste informații sunt prelucrate și afișate în cadrul interfeței grafice cu utilizatorul. În cazul în care vreuna din valori depășește limita tehnologică, este generată o avertizare.

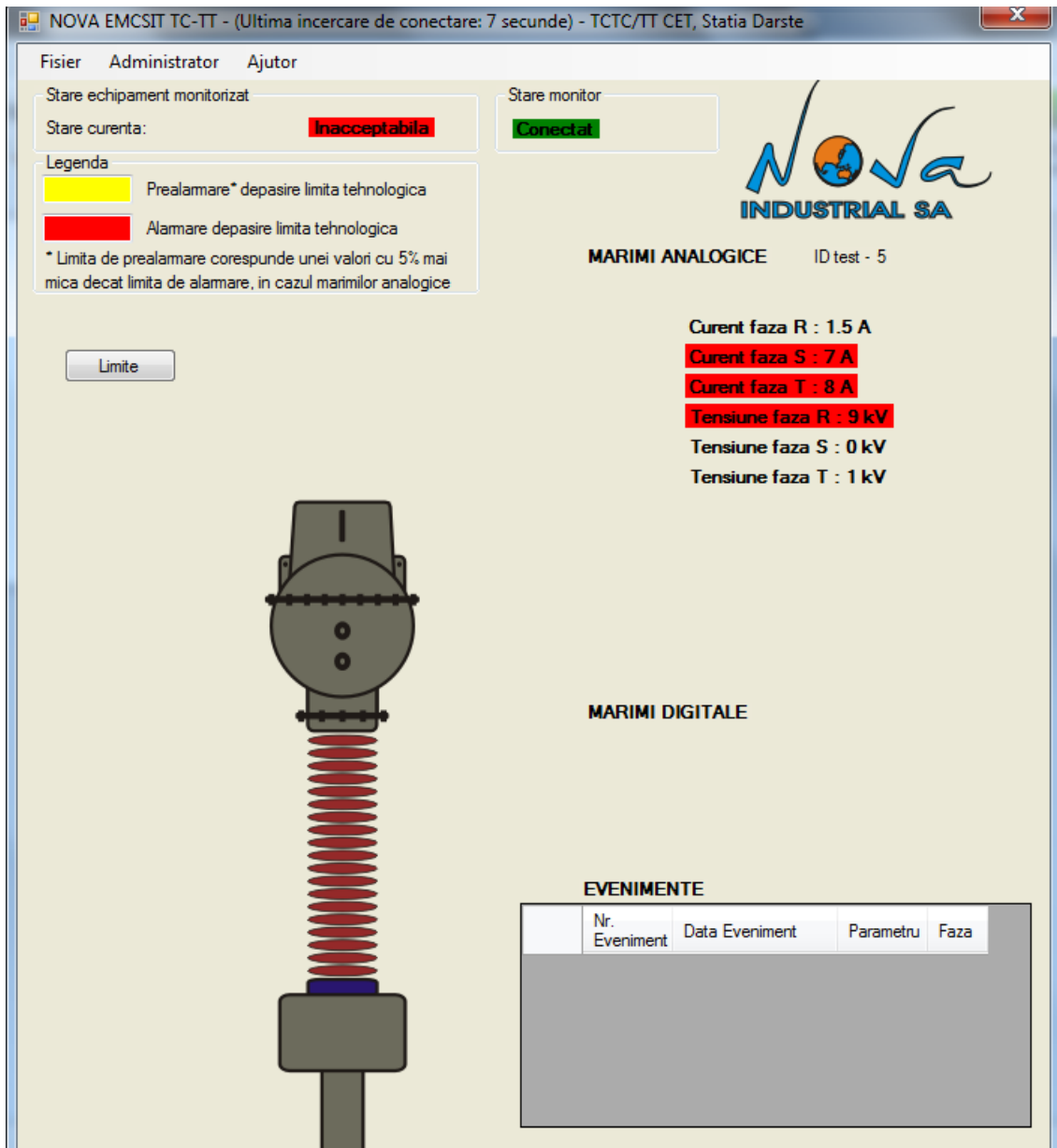


Fig. 4.3.2. Aplicația server EMCSIT pentru transformator de măsură curent/tensiune

Aplicația server generează un fișier log care conține informații privind:

- Data pachetului de date achiziționat;
- Valorile afișate;
- Starea echipamentului monitorizat;
- ID-ul pachetului de date conform cazului de studiu generat prin metoda Pairwise testing;

Utilizând fișierele log generate atât de simulator cât și de aplicația server, se pot face corelări pentru a observa dacă au fost achiziționate toate datele de test și starea

echipamentului pentru acele valori, astfel putându-se verifica ușor corectitudinea calculelor efectuate în cadrul aplicației server.

4.4. Asigurarea securității sistemului EMCSIT

Securitatea sistemului de monitorizare și control EMCSIT trebuie asigurată pentru:

- Serverele locale și serverul central;
- Transmisia de date între IED-uri și serverele locale, între serverele locale și cel central precum și între serverul central și clienți;
- Accesul la aplicația EMCSIT Stație, instalată pe calculatorul client din camera de comandă;

Actualele tehnici de securitate, implementate deja în cadrul sistemului de monitorizare EMCSIT, includ:

- autentificare prin utilizator/parolă pentru accesul la aplicația EMCSIT Stație;
- asignarea unică de adrese IP pentru calculatoarele care fac parte din sistem;
- utilizarea de chei hardware HASP pentru asigurarea securității accesului la aplicația EMCSIT Stație;
- implementarea algoritmului CRC pentru transmisia pachetelor de date între IED-uri și serverele locale.

Pentru asigurarea securității accesului la serverele locale și serverul central, aceste calculatoare au fost protejate prin metoda autentificării tip utilizator/parolă.

Protocolul de comunicație utilizat între serverele locale și serverul central este TCP/IP iar securitatea transmisiei datelor este cea implementată și inclusă în acest protocol.

Pentru moment, sistemul de monitorizare este accesibil doar în cadrul rețelei locale, prin intermediul aplicației software EMCSIT Stație instalată pe calculatorul client din camera de comandă.

Se intenționează ca pe viitor să se configureze rețeaua pentru a fi utilizat protocolul IPv6.

4.5. Implementarea unor tehnici de toleranță la defecte

4.5.1. Folosirea de Blocuri de Recuperare

Blocurile de recuperare pot fi utilizate în cadrul sistemului de monitorizare și control EMCSIT în acele module sau secțiuni unde nu este necesară o viteză de lucru foarte ridicată.

Tehnica folosirii blocurilor de recuperare este utilizată în cadrul proiectului EMCSIT la achiziția de evenimente (acționări ale diverselor echipamente electrice - de ex. deschidere sau închidere întreruptor). Aplicația server interoghează fiecare IED conectat pentru a achiziționa lista de evenimente generate în cadrul stației și înregistrate de IED-uri în memoria internă.

Aceasta listă este comparată cu informațiile existente deja în baza de date pentru a identifica noile evenimente.

Atunci când s-a identificat un eveniment nou este transmis id-ul (identificatorul) acestuia împreună cu id-ul IED-ului corespunzător către modulul de achiziție evenimente. În cazul în care acest modul cade din diverse motive (eșuare achiziție pachete de date pentru eveniment de la IED, eșuare salvare în baza de date, etc.), sunt prevăzuți pași anteriori unde aplicația EMCSIT Server se poate întoarce și reîncepe procesul de achiziție eveniment.

În cazul nostru, aplicația server va reinteroga IED-urile și va compara informațiile cu cele existente în baza de date și apoi va relansa modulul de achiziție evenimente. Dacă după câteva lansări succesive ale modulului de achiziție evenimente în care nu s-a reușit achiziția, prelucrarea și/sau salvarea unui anumit eveniment, acest lucru este semnalat utilizatorului în cadrul aplicației și se va trece la achiziția următorului eveniment nou.

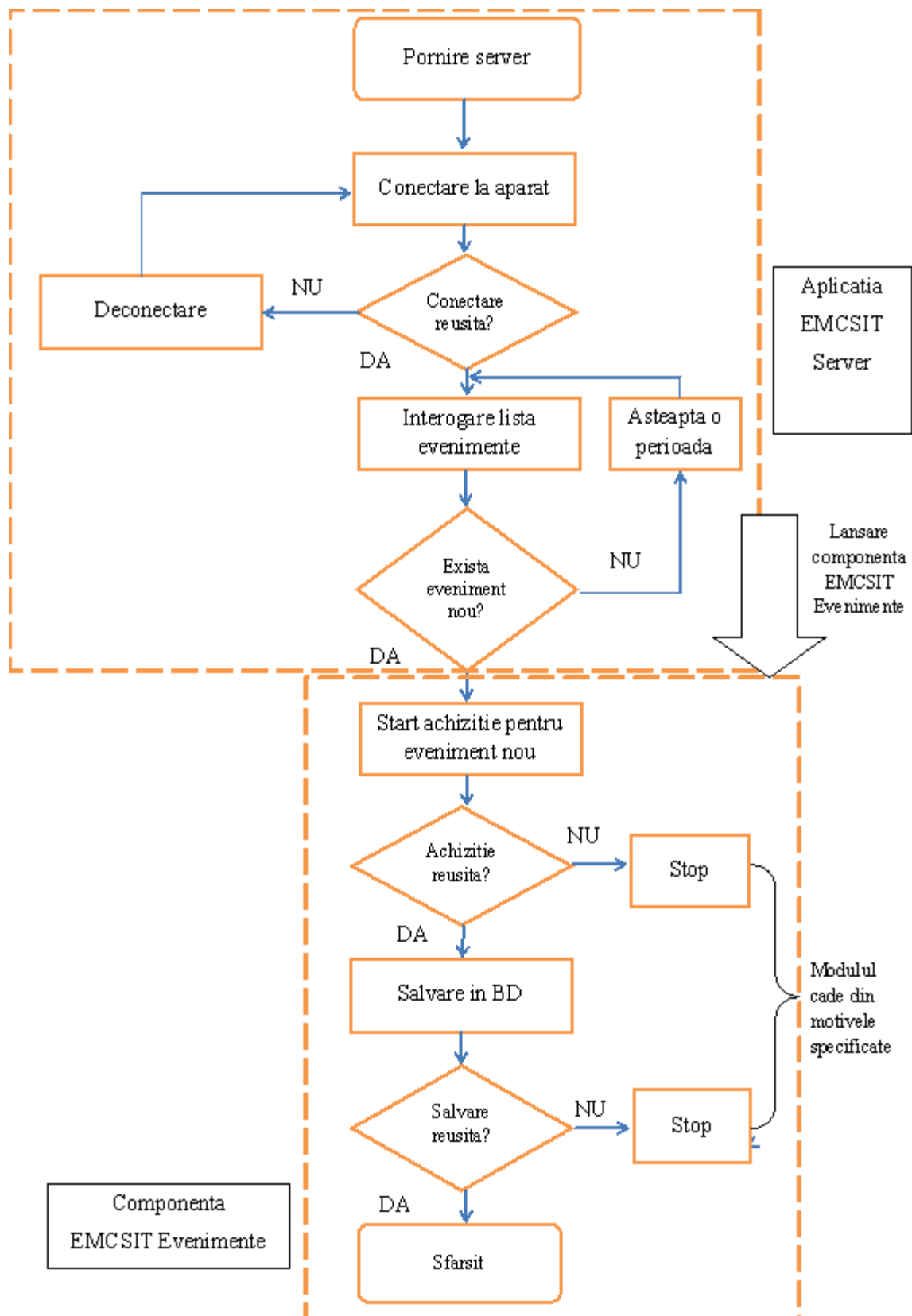


Fig. 4.5.1.1. Exemplu de implementare a blocurilor de recuperare în cadrul proiectului EMCSIT

4.5.2. Utilizarea tehnicilor de duplicare

Tehnicile de duplicare sunt utilizate în următoarele situații:

1) În cazul în care unul dintre echipamente nu mai funcționează sau comunicația cu el eșuează, aplicația care comunică cu echipamentul trebuie să atenționeze utilizatorul și să încerce să obțină date echivalente de la alte echipamente.

În domeniul energetic, mai precis în cadrul unei stații electrice de înaltă tensiune, echipamentele electrice primare sunt cele mai importante echipamente și în special transformatorul/autotransformatorul de mare putere. Din cauza specificului lor, anumite informații achiziționate prin intermediul echipamentelor de monitorizare, de la echipamentele primare, pot fi comune între mai multe tipuri de IED-uri. Spre exemplu, valorile obținute pentru curenții de linie se obțin atât prin IED-ul ce monitorizează întreruptoarele cât și prin IED-ul ce monitorizează transformatoarele de măsură.

În acest caz, aplicația EMCSIT Stație, ce prezintă informațiile achiziționate atât de la IED-ul corespunzător întreruptoarelor cât și de la IED-ul corespunzător transformatoarelor de măsură, atunci când sesizează absența curenților de linie obținuți de la IED-ul pentru întreruptoare, va prezenta informațiile similare achiziționate de la IED-ul pentru transformatoarele de măsură.

Aceasta metodă nu previne toate cazurile de defecte sau căderi ce pot apărea dar cu siguranță poate îmbunătăți o arhitectură deja existentă care nu are implementată o astfel de metodă.

2) În cazul în care legătura la serverul central ce conține baza de date nu este posibilă, aplicația EMCSIT Stație va trebui să avertizeze utilizatorul și în momentul în care legătura se restabilește, să achiziționeze ultimele informații înregistrate în baza de date centrală pentru a afișa informații actuale.

În cazul în care legătura dintre serverul central din camera de comandă unde se află baza de date centrală Oracle și serverele locale se restabilește, trebuie făcută sincronizarea cu bazele de date locale pentru a prelua informațiile înregistrate pe toată perioada întreruperii legăturii.

În acest moment nu toate echipamentele dispun de memorie internă dar pentru acelea care au o astfel de posibilitate, în cazul în care a fost întreruptă comunicația cu aplicația de achiziție și prelucrare EMCSIT Server (I, S, D și TC/TT), după remediere, aplicațiile server vor trebui să descarce datele înregistrate din acea memorie internă și să le salveze în baza de date locală.

Memoria internă a echipamentelor de monitorizare are posibilitatea de a stoca informațiile achiziționate de la echipamente electrice primare. În cazul în care legătura între serverele locale ce achiziționează și înregistrează datele de la echipamente de monitorizare nu este posibilă, în momentul reluării acesteia, aplicațiile EMCSIT Server trebuie să achiziționeze și să afișeze informațiile înregistrate în memoria internă a IED-urilor, privind parametrii monitorizați. În acest fel, informații actuale înregistrate se vor regăsi în bazele de date locale chiar dacă legătura cu aparatele de monitorizare nu a fost posibilă pentru o anumită perioadă de timp.

4.5.3. Utilizarea tehnicilor de reconfigurare și reîntinerire (reconfiguration and rejuvenation)

Sistemul EMCSIT poate fi astfel configurat pentru ca fiecare server local sau serverul central să aibă posibilitatea la un moment dat, în funcție de mai mulți factori, să se reinițializeze.

Reconfigurarea ține seama de încărcarea procesorului, memoria internă liberă insuficientă, porturile de comunicație blocate, probleme de interfață de rețea, etc.

Soluția o reprezintă alocarea unor resurse suplimentare pentru funcționarea în continuare a sistemului. În cazul sistemului EMCSIT ce rulează pe o platforma Microsoft Windows, o soluție extremă este programarea la un moment dat a unei reporniri pentru serverul respectiv pe care rulează aplicația.

Reîntinerirea reprezintă o tehnică ce ia în considerare faptul că aplicația EMCSIT SuperServer sau Stație poate intra într-o buclă infinită sau să atingă un maxim al resurselor utilizate datorită unor diverse cauze. Este prevăzut ca în cazul unei reporniri accidentale (lipsa alimentării cu energie electrică a serverelor pentru o perioadă ce depășește autonomia UPS-urilor conectate) sau voite, aplicația EMCSIT SuperServer sau Stație să se execute automat în momentul încărcării sistemului de operare pe server sau calculatorul client. Deși sistemul rulează într-o stație electrică și teoretic întreruperea alimentării cu energie electrică este practic imposibilă, s-a decis totuși ca această posibilitate să fie implementată.

Totodată, dacă se deschid două sau mai multe instanțe ale aplicației, trebuie făcută o verificare și o închidere a proceselor respective deoarece acest lucru conduce la blocarea sistemului.

4.6. Concluzii

În acest capitol au fost prezentate metode pentru asigurarea calității software a unui sistem folosit ca studiu de caz: sistemul de monitorizare și control EMCSIT (Echipament pentru Monitorizarea Complexă a Stațiilor de Înaltă Tensiune).

A fost prezentată arhitectura sistemului și apoi problemele care au fost identificate în dezvoltarea și utilizarea acestui sistem.

Pornind de la analiza consecințelor testării insuficiente a sistemului înainte de instalarea sa în mediul real de funcționare (cu echipamentele electrice cuplate la echipamentele de monitorizare), am dezvoltat un simulator de IED-uri care permite o testare acoperitoare a aplicațiilor server din cadrul sistemului EMCSIT.

Pentru eficientizarea procesului de testare, în cadrul simulatorului s-a implementat metoda *Pairwise Testing* de generare a datelor de test. Metoda permite depistarea a până la 70% din defectele existente într-o aplicație, utilizând mult mai puține cazuri de test față de metoda de testare care acoperă toate combinațiile posibile ale valorilor selectate pentru parametrii monitorizați.

Sunt menționate și tehnici pentru asigurarea securității sistemului EMCSIT, axate în special pe protejarea accesului la aplicațiile software.

În cadrul sistemului EMCSIT au fost implementate tehnici de toleranță la defecte cum ar fi:

- folosirea de blocuri de recuperare;
- utilizarea tehnicilor de duplicare;
- utilizarea tehnicilor de reconfigurare și reîntinerire.

5. Standardul IEC61850

5.1. Introducere

Stațiile de transformare reprezintă componente cheie ale rețelei electrice, facilitând transportul și distribuția energiei electrice. Au un rol vital în monitorizarea și controlul fluxului de energie electrică și asigură interconectarea între companiile de electricitate, rețelele de transport și distribuție și consumatorii finali.

Sistemele de automatizare ale stațiilor electrice fac posibilă monitorizarea și controlul în timp real și ajută la maximizarea eficienței, siguranței și a integrității datelor.

Ultimii ani au adus dezvoltări semnificative în ceea ce privește standardele ce definesc comunicația la nivel de stații electrice – probabil cel mai important pas în acest sens a fost publicarea standardului IEC 61850. Tot mai mulți producători și-au adaptat deja produsele pentru a fi conforme cu noul standard sau chiar au dezvoltat produse noi pornind de la modelul de date pe care-l definește standardul. Noul standard este tot mai mult impus și de către diverși beneficiari. Viitorul în comunicații la nivel de stații electrice este deja prefigurat de IEC 61850.

Cerințele de performanță într-o rețea de comunicații din stație, depind de dimensiunea stației și importanța ei în sistemul energetic. Există următoarele tipuri de clasificări conform acestui standard:

- Stații mici de distribuție;
- Stații medii de distribuție;
- Stații mari de distribuție;
- Stații mici de transport;
- Stații mari de transport;
- Variante combinate;

Standardul IEC61850 conține un set de documente care se axează pe următoarele aspecte majore: un model funcțional al domeniului de aplicare pentru SA (Substation Automation - automatizările din stația electrică) – partea a 5-a, un model de date pentru SAS (Substation Automation System - sistemul de automatizări din stație), protocoalele de comunicații și serviciile aferente – partea a 7-a și părțile 8 și 9, un limbaj de configurare a stației bazat pe XML (SCL – Substation Configuration Language) – partea a 6-a.

Cerințele pieții, îndeplinite de standardul IEC61850, sunt:

- interoperabilitatea, astfel că standardul trebuie să suporte toate funcțiile în aplicațiile stației. Interoperabilitatea presupune ca diferite IED-uri de la diverși producători să poată fi capabile să schimbe și să utilizeze informații în timp real fără convertoare de protocol.
- arhitectura deschisă, ce poate include operațiuni implementate de diversele companii de electricitate din toată lumea. Permite o alocare arbitrară a funcțiilor către dispozitive și acceptă sisteme centralizate și descentralizate.
- stabilitate pe termen lung, referindu-se la durata de viață a unei stații (a echipamentelor primare) care este cuprinsă între 40 și 60 de ani, iar echipamentele din automatizarea stației vor fi schimbate de două-trei ori în această perioadă. În timp, stația trebuie să integreze noile componente de la același producător sau de la alți producători.

IED-ul reprezintă, conform IEC61850 orice echipament ce include unul sau mai multe procesoare (microcontrollere) cu posibilitatea de a primi sau trimite date/control de la sau către o sursă externă.

Acest standard de comunicații promite să revoluționeze automatizările din stațiile electrice cu mesaje peer-to-peer foarte rapide, date structurate și orientate-obiect.

Este destinat să asigure un singur protocol pentru o întreagă stație, să implementeze un format obișnuit pentru descrierea stației, să faciliteze modelarea datelor necesare stației, să definească serviciile de bază necesare pentru a transfera datele prin diferite protocoale de comunicație și să permită interoperabilitatea între echipamente ale diverșilor producători.

O dată cu evoluția standardului, s-au definit două servicii critice în timp: transmisia rapidă a semnalelor de tipul căderilor și eșantionarea valorilor de curent și tensiune analogice. Acestea au dus la extensia legăturilor seriale între dispozitive electronice inteligente (IED) și interfețe electronice, considerând timpul de transfer redus, la 3 microsecunde și timpul de sincronizare de 1 microsecundă.

Modelul de date bazat pe obiecte este independent de aplicația în care se utilizează. Clasele de obiecte sunt legate de domeniul stației electrice iar obiecte model pentru energia eoliană, energia hidro, sursele de energie distribuită au fost adăugate ulterior în standard.

Toate funcțiile modelului de date, incluzând structurarea datelor pentru echipamentele primare ale stației sunt împărțite pe module care apoi pot fi implementate separat în IED-uri.

Elementele de bază se numesc noduri logice (LN). Fiecare obiect va cuprinde atribute, ce pot reprezenta valori sau caracteristici detaliate ale echipamentelor.

Operațiile suportate de către modelul de date definit de standardul IEC61850 sunt următoarele:

- citirea datelor ca valori ale atributelor;
- scrierea unei valori drept atribut al configurării;
- controlul dispozitivelor de comutație și a altor obiecte prin metode precum „selectare înainte de operare” sau „operare directă”;
- raportarea unui eveniment care duce la modificarea unor valori;
- stocarea evenimentelor importante și a altor date de istoric;
- transfer de fișiere pentru configurare și istoric;
- GOOSE (Generic Object Oriented Substation Event) reprezintă acronimul pentru un eveniment de sistem generic orientat pe obiecte și este un serviciu pentru transmisii de viteză a informațiilor critice precum modificări de stare a echipamentului monitorizat, blocaje între IED, etc.;
- eșantionarea valorilor prin transmiterea unui șir de valori sincronizate de tensiune și curent.

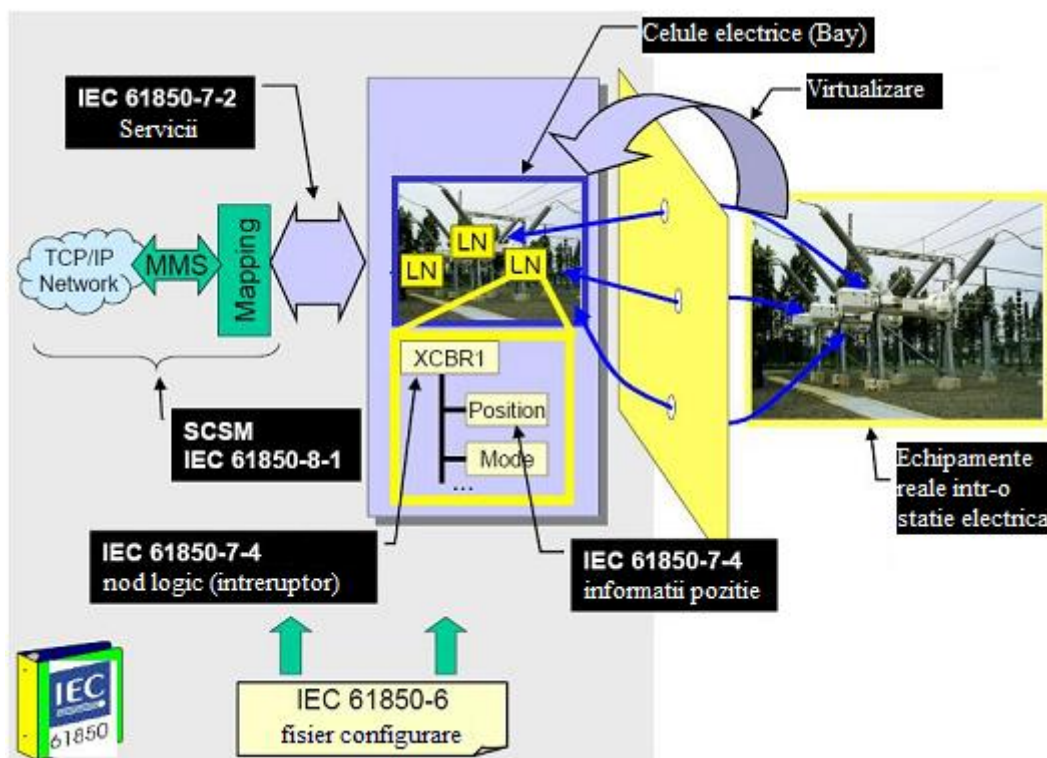


Fig. 5.1.1. Modelarea conceptuală conform standardului IEC61850 [Iec9-10]

Standardul IEC61850 utilizează Ethernet ca tehnologie de comunicație de bază, la o viteză de 100Mb/s sau mai mare în funcție de elementele de rețea disponibile. Se utilizează topologii de rețea tip arbore și inel pentru switch-urile de rețea. Cea mai utilizată topologie de rețea este cea de tip inel cu reconfigurarea automată în cazul unei pierderi de legătură sau a unui defect al switch-urilor. Magistrala stației conectează IED-urile pentru control, protecție și monitorizare cu dispozitivele de la nivelul unităților terminale.

Limbajul de configurare a stației (SCL) reprezintă una dintre cele mai importante realizări ale standardului IEC61850. SCL face posibilă crearea de fișiere utilizate pentru schimbul de date de configurare între aplicații software specializate. Descrierea configurației sistemului reprezintă un tip de fișier definit de standardul IEC61850 și constituie cel mai important document al unui sistem de automatizare complet al stației. Un aspect foarte important al integrării standardului IEC61850 constă în alegerea dispozitivelor electronice ce sunt conforme cu standardul.

Viitoarele rețele electrice cu generarea descentralizată a energiei, cu o putere de cumpărare flexibilă, cu o încredere mai mare în rețea sunt catalogate drept rețele inteligente (Smart Grid). Mai multe informații vor fi disponibile într-o manieră mai sigură și mai scurtă ca timp, către mai multe aplicații și utilizatori distribuiți, iar controlul va fi optimizat. Datele vor fi disponibile într-o rețea informală de date, în conformitate cu semantica standardizată a datelor.

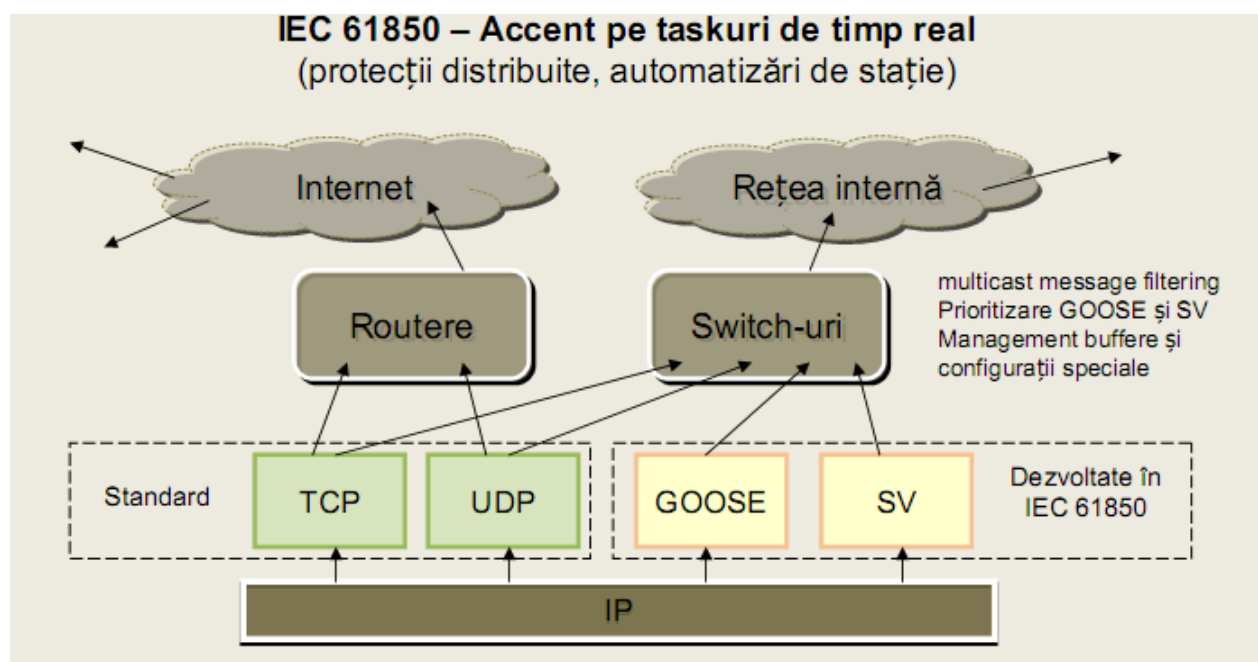


Fig. 5.1.2. Standarde pentru comunicarea în interiorul unei stații electrice [Iec9-1]

Pentru comunicarea în cadrul rețelei LAN, se utilizează protocoalele dedicate IEC61850: GOOSE și SV iar pentru comunicarea în cadrul Internet se folosesc protocoalele standard TCP și respectiv UDP.

5.2. Limbajul SCL

Substation Configuration Language (SCL – limbajul de configurare a stației) este limbajul și formatul de reprezentare specificat de IEC61850 pentru descrierea configurației echipamentelor dintr-o stație electrică. Acesta include reprezentarea datelor modelate și a serviciilor de comunicație specificate de documentele standardului IEC61850-7-X. Descrierea completă a SCL și detaliile sunt specificate în documentul standard IEC 61850-6 [Iec9-3]. Include reprezentarea datelor pentru echipamentele din stație, funcțiile asociate fiecărui echipament - reprezentate ca noduri logice, sisteme și capacități de comunicație. Reprezentarea completă a datelor în limbajul SCL oferă posibilitatea interoperabilității echipamentelor dintr-o stație electrică prin schimb de fișiere.

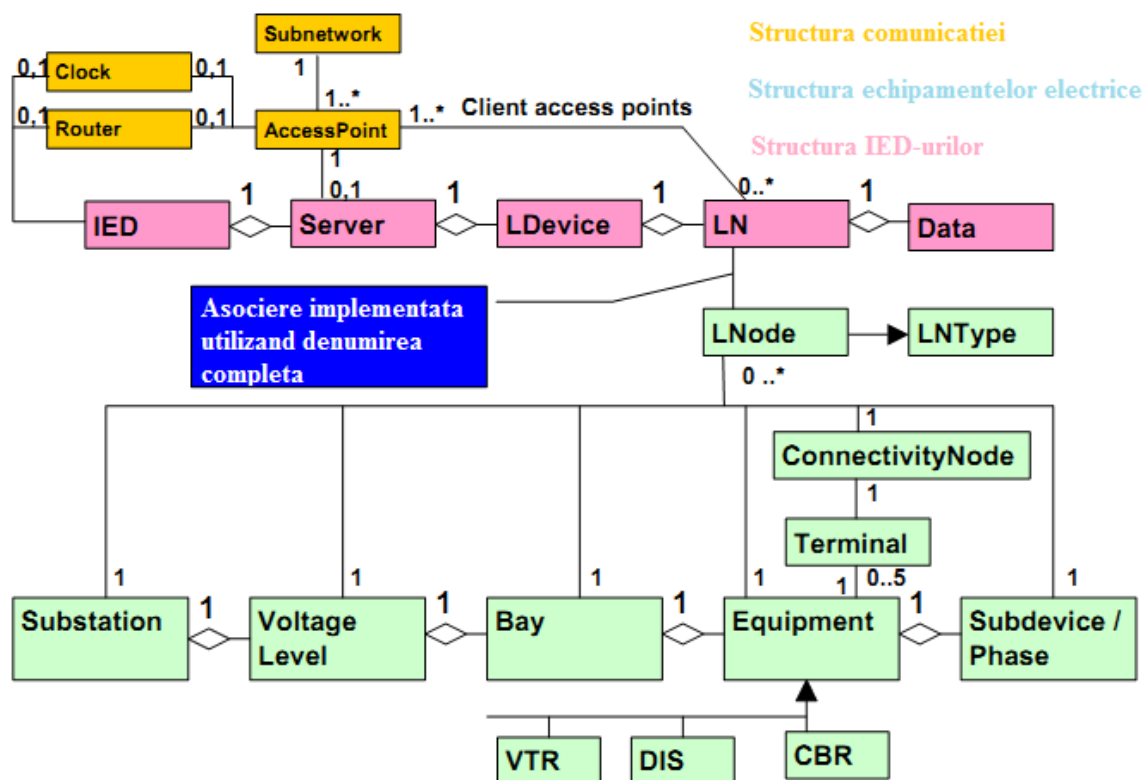


Fig. 5.2.1. Proiectarea unei stații electrice cu ajutorul SCL, conform [Iec9-9]

Marele avantaj al utilizării IEC61850 este interoperabilitatea între IED-uri aparținând diverșilor producători din domeniu. Limbajul are o convenție de denumire standard a datelor, echipamentele sunt descrise automat prin intermediul limbajului SCL, permite modelarea virtuală a echipamentelor logice și oferă un limbaj comun de configurare a echipamentelor.

În anexa 1 se prezintă structura generală a unui fișier SCL și pașii modelării unei stații electrice folosind acest limbaj.

5.3. Concluzii

În cadrul acestui capitol am descris standardul IEC61850 și limbajul SCL de configurare a unei stații electrice.

Acest standard a fost ales întrucât este unanim acceptat de producătorii de echipamente de monitorizare din domeniu. Sunt prezentate aspecte generale privind standardul IEC61850 și utilizarea acestuia în cadrul unei stații electrice.

IED-ul reprezintă, conform IEC61850, orice echipament ce include unul sau mai multe procesoare (microcontrollere) cu posibilitatea de a primi sau trimite date/control de la sau către o sursă externă.

Acest standard de comunicații promite să revoluționeze automatizările din stațiile electrice cu mesaje peer-to-peer foarte rapide, date structurate și orientate-obiect.

Limbajul SCL permite descrierea echipamentelor electrice din cadrul unei stații precum și asocierea IED-urilor destinate monitorizării și respectiv controlului acestora.

Limbajul SCL a fost ales în continuare pentru configurarea unei stații electrice din studiul de caz, ce include modulele unui sistem de monitorizare și control (anexa 2).

6. Utilizarea unor modele matematice pentru estimarea fiabilității sistemelor de monitorizare și control a stațiilor electrice

6.1. Modelul de distribuție Rayleigh

Modelul Rayleigh este un model parametric, care se bazează pe o distribuție statistică specifică. Atunci când parametrii distribuției statistice sunt estimați pe baza datelor dintr-un proiect software, pot fi făcute previziuni referitoare la rata de defectare a produsului software.

Modelul Rayleigh este unul dintre cele mai folosite modele matematice pentru modelarea și predicția ratelor de defectare a produselor software în timp ([Urs8-1], [Urs8-2]).

Modelul Rayleigh este un caz particular al modelului de distribuție Weibull. Acesta este folosit de foarte mulți ani în diverse domenii de inginerie pentru analiza fiabilității. Una dintre caracteristicile sale este faptul că partea finală a funcției sale de densitate de probabilitate se apropie asimptotic de zero, dar niciodată nu atinge aceasta limită. Funcția sa de distribuție cumulativă (CDF) și funcția de densitate a probabilității (PDF) au următoarele expresii:

$$F(x) = 1 - e^{-x^2/2\sigma^2}$$

și respectiv

$$f(x) = \frac{x}{\sigma^2} e^{-x^2/2\sigma^2}, x \geq 0$$

unde σ este parametrul de scală al modelului Rayleigh și x este variabila aleatoare.

În funcție de valorile parametrului σ , se modifică graficul funcției de distribuție. Acesta reprezintă variația formulei ce exprimă funcția de densitate dacă se modifică unitatea de măsură pe abscisă.

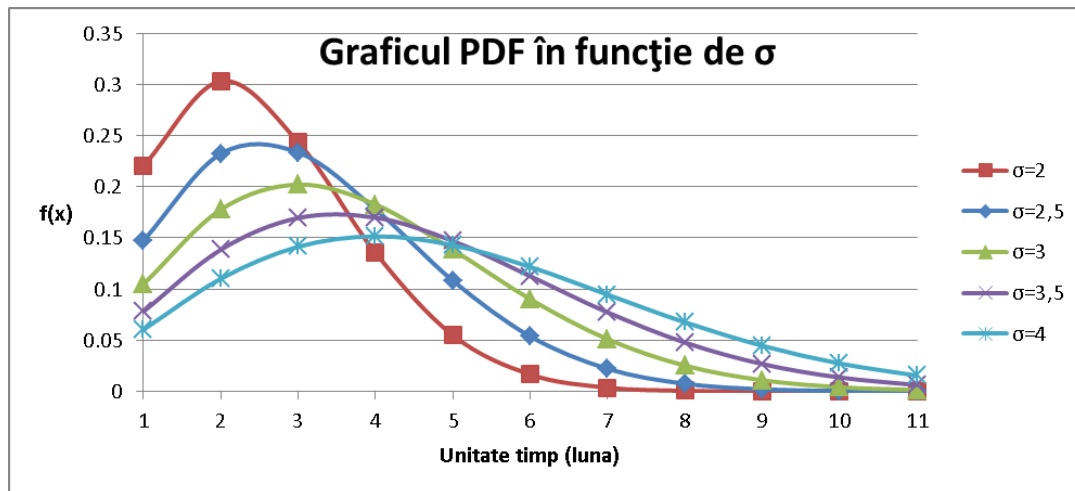


Fig. 6.1. Graficul pentru funcția de densitate a probabilității în funcție de valoarea parametrului σ

Atunci când se aplică pentru produse software, PDF (funcția de densitate a probabilității) se referă la densitatea defectelor (rata de defectare) în timp iar CDF reprezintă funcția de repartiție sau distribuția cumulativă de probabilitate [Ban9-12].

Există o bază de date empirice foarte mare privind aplicarea modelului Rayleigh. S-a demonstrat că ciclul de viață al proiectelor software urmează modelul descris de curba Rayleigh, din punctul de vedere al defectelor descoperite și al remedierii acestora.

Modelul Rayleigh este un model parametric formal, care poate fi utilizat pentru estimarea defectelor ramase într-un produs software atunci când activitatea de dezvoltare s-a încheiat, iar produsul este gata pentru a fi livrat clienților. Interpretarea rezultatelor obținute cu ajutorul modelului Rayleigh contribuie la dezvoltarea eficientă de software.

Am aplicat modelul Rayleigh pe datele înregistrate în timpul dezvoltării aplicațiilor server pentru cele 5 tipuri de IED-uri prezentate în studiul de caz EMCSIT (cap. 4).

Graficele reprezentând numărul de defecte constatate în timpul dezvoltării aplicațiilor server pentru diferite tipuri de IED-uri sunt următoarele:

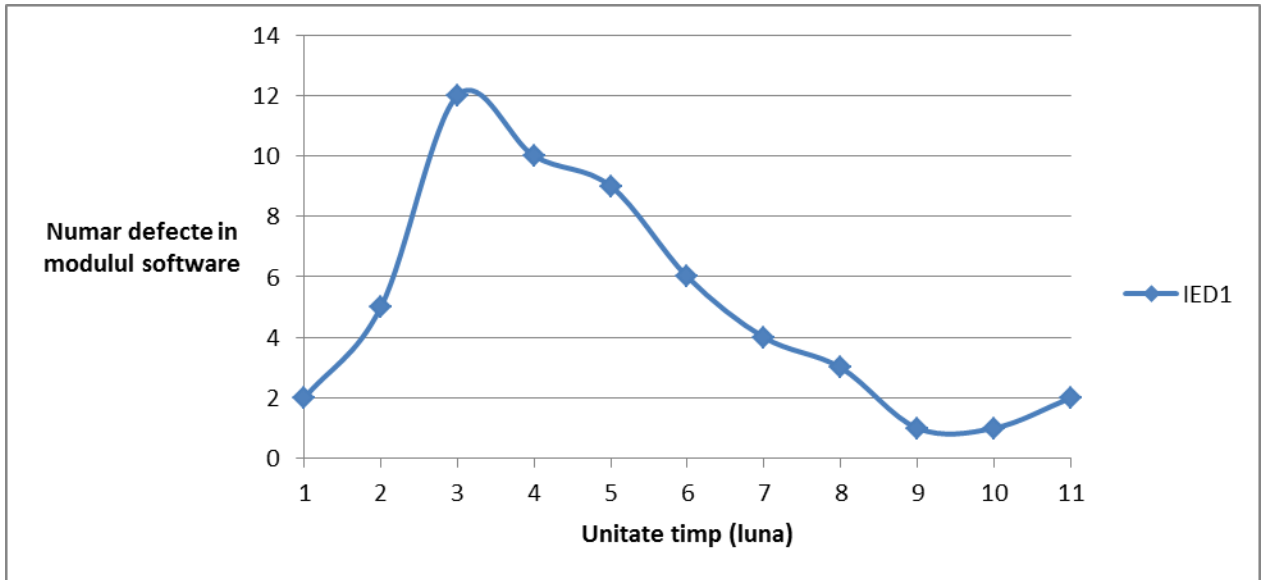


Fig. 6.1.1. Reprezentarea grafică a numărului de defecte pentru aplicația tip server pentru IED-urile ce monitorizează întreruptoare (IED1)

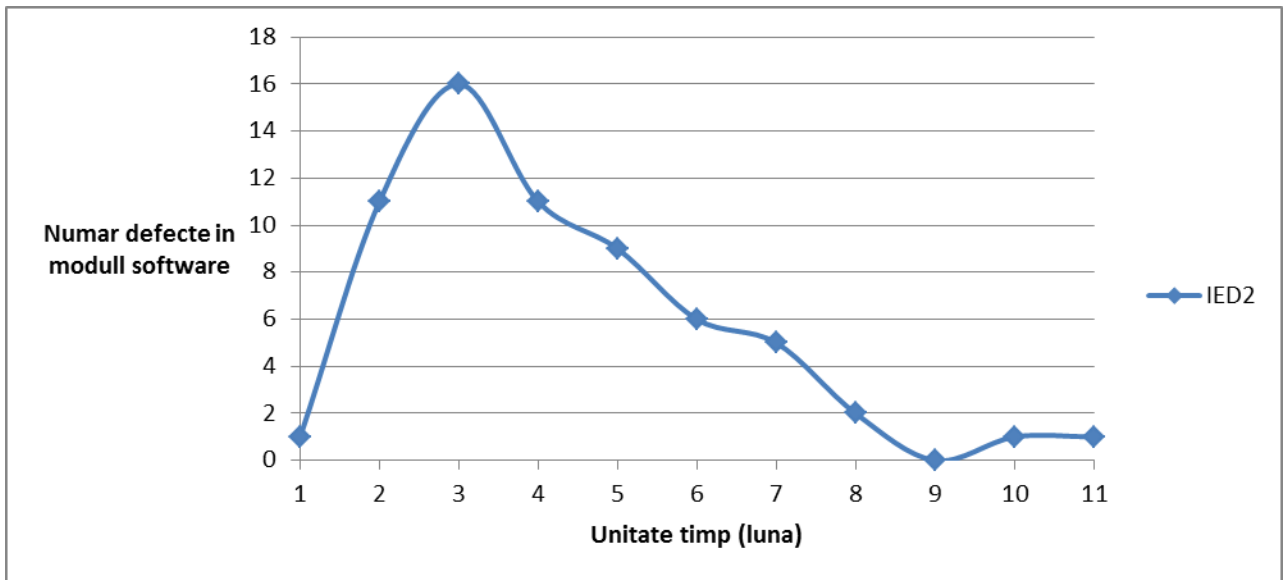


Fig. 6.1.2. Reprezentarea grafică a numărului de defecte pentru aplicația tip server pentru IED-urile ce monitorizează separatoare (IED2)

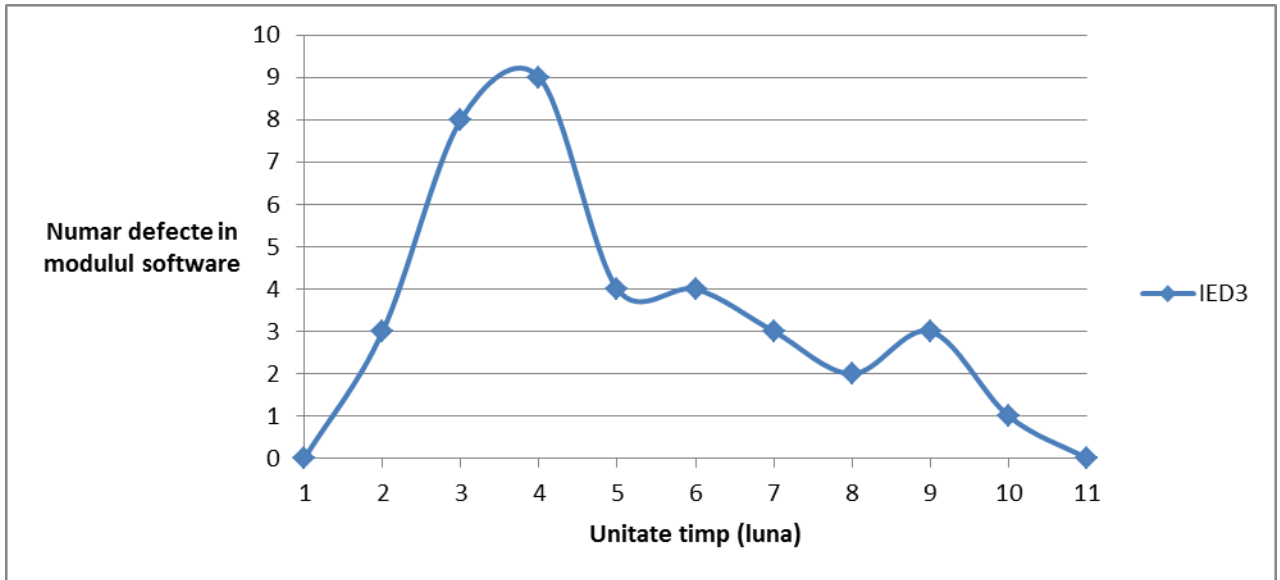


Fig. 6.1.3. Reprezentarea grafică a numărului de defecte pentru aplicația tip server pentru IED-urile ce monitorizează descărcătoare (IED3)

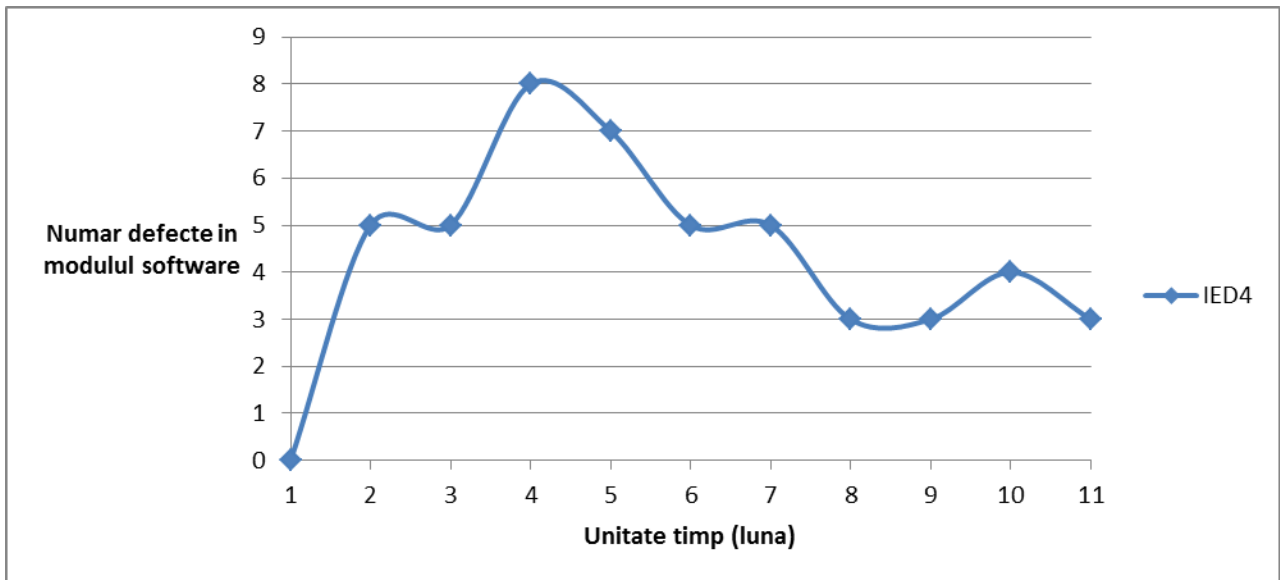


Fig. 6.1.4. Reprezentarea grafică a numărului de defecte pentru aplicația tip server pentru IED-urile ce monitorizează transformatoare de măsură (IED4)

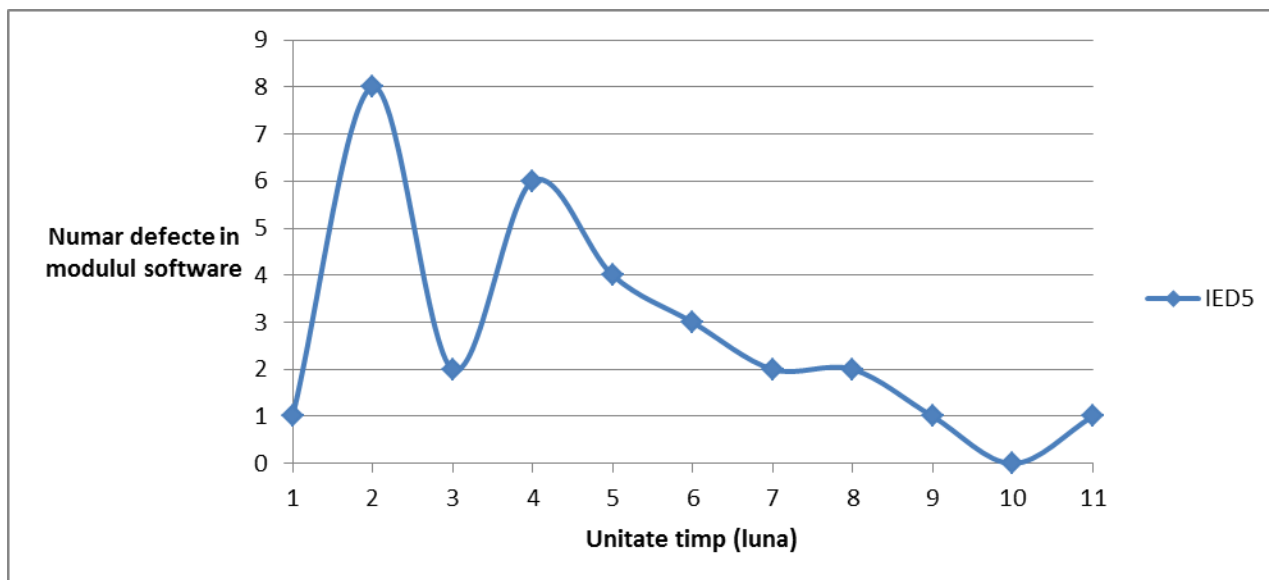


Fig. 6.1.5. Reprezentarea grafică a numărului de defecte pentru aplicația tip server pentru IED-urile ce monitorizează transformatoare de putere/bobine de compensare (IED5)

Primele 2-3 luni au reprezentat perioada de design și implementare a aplicațiilor server pentru fiecare tip de IED. În aceasta perioadă au apărut primele defecte, care au fost remediate.

Următoarele 4-5 luni au fost utilizate pentru testarea aplicațiilor server utilizând IED-urile dezvoltate dar fără a fi conectate la echipamentele electrice. Aceasta testare a avut loc înainte de instalarea IED-urilor în stația electrică. Pentru anumite tipuri de aplicații server s-a demonstrat că această perioadă de testare a fost insuficientă.

În ultimele 4 luni, IED-urile au fost montate în stație și conectate la echipamentele electrice monitorizate. Au fost instalate aplicațiile server (pentru tipurile de IED1, 2, 3 și respectiv 4) și aplicația EMCSIT SuperServer ce utilizează cele 4 tipuri de aplicații server pe calculatoarele server locale, au fost configurate cele două servere centrale de baze de date aferente celor două substații și a fost instalată și configurată aplicația EMCSIT Stație pe calculatorul client din camera de comandă.

Estimarea ratei defectelor în funcționarea aplicațiilor de tip server din sistemul EMCSIT

Datele primare reprezintă numărul de defecte înregistrate în fiecare lună pentru aplicațiile tip server pentru IED1, IED2, IED3, IED4 și respectiv IED5. Pe abscisă este

precizată luna în care au fost colectate informațiile privind numărul de defecte iar pe ordonată este reprezentată valoarea funcției de densitate a probabilității.

S-au obținut următoarele rezultate:

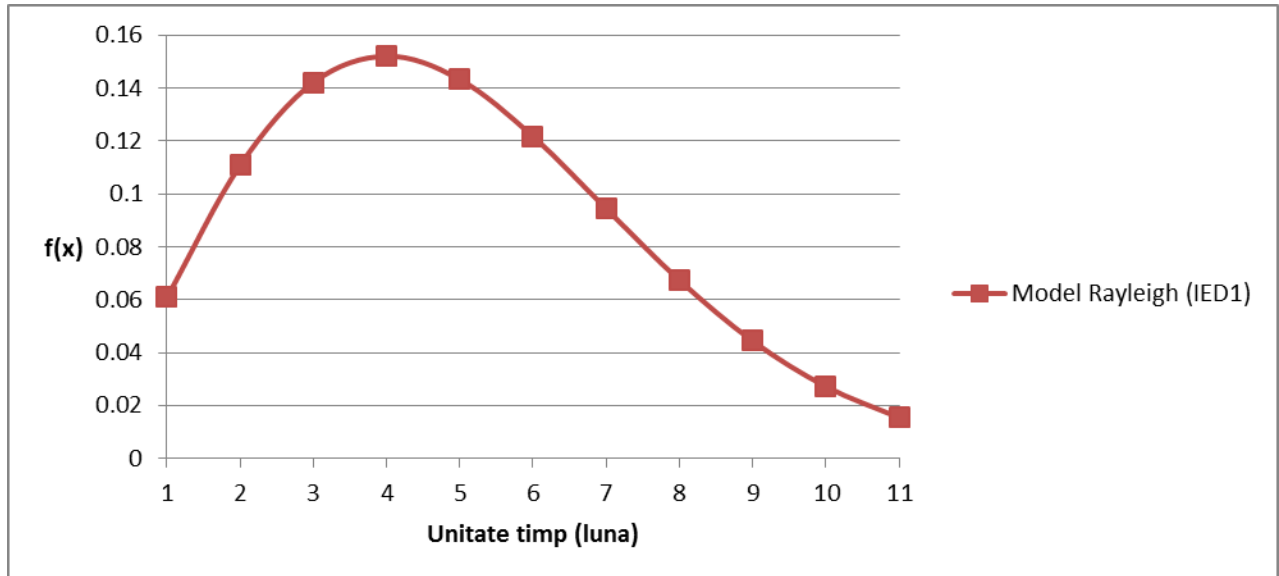


Fig. 6.1.6. Aplicarea modelului de distribuție Rayleigh pentru aplicația tip server IED1

Pentru aplicația tip server IED1, în perioada de proiectare și implementare au fost descoperite puține defecte, în timp ce majoritatea defectelor au fost descoperite la începutul perioadei de testare cu serverul conectat la IED, acesta nefiind conectat la echipamentul electric monitorizat. După instalarea în stație, în perioada de testare cu IED-urile conectate la echipamentele electrice au fost identificate puține defecte. Spre sfârșitul perioadei de testare în stație, numărul defectelor descoperite a scăzut și aproape s-a stabilizat ajungând la valori mici.

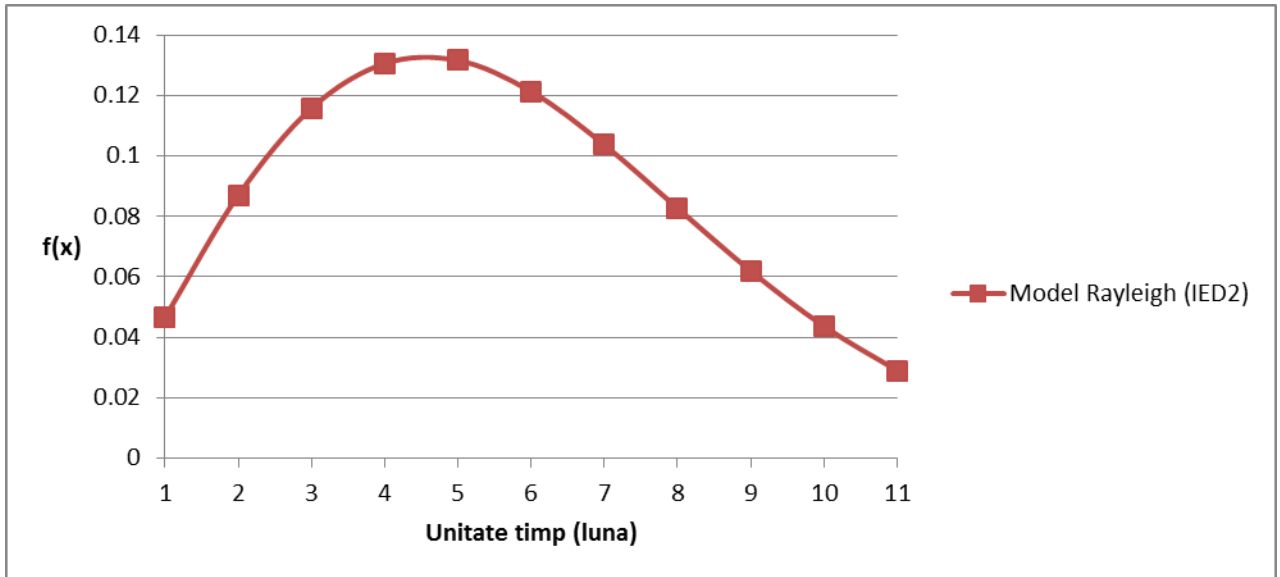


Fig. 6.1.7. Aplicarea modelului de distribuție Rayleigh pentru aplicația tip server IED2

Pentru aplicația tip server IED2, majoritatea defectelor au fost descoperite la sfârșitul perioadei de proiectare și implementare și la începutul perioadei de testare cu conectare la IED neconectat la echipamentul electric monitorizat. Spre sfârșitul perioadei de testare în stație, numărul defectelor descoperite a scăzut, dar nu s-a stabilizat.

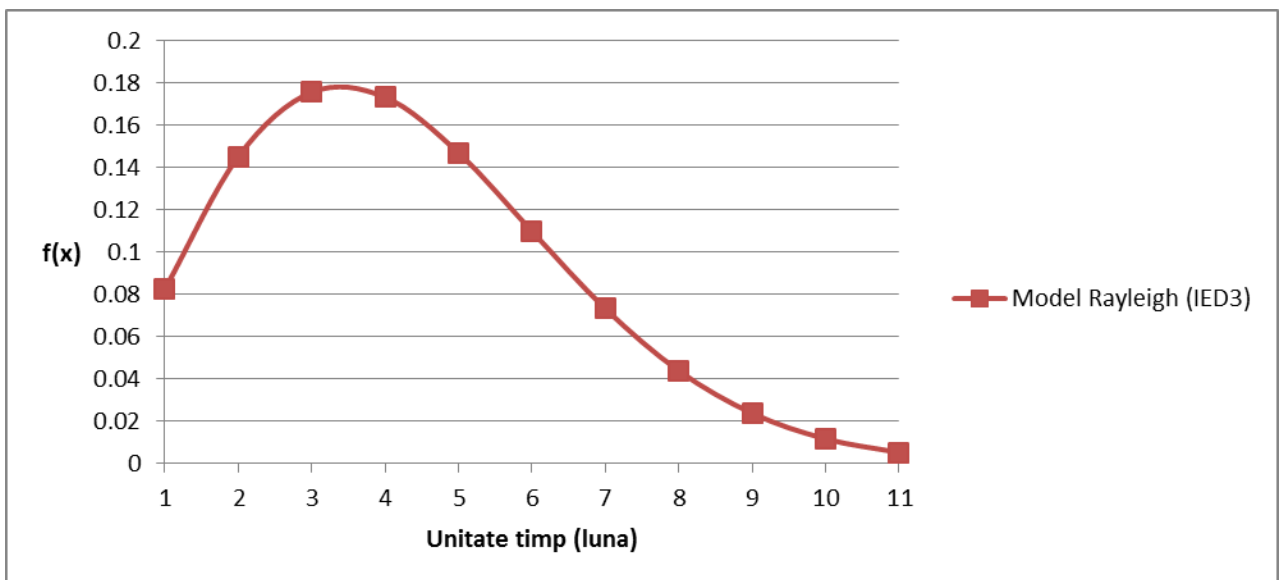


Fig. 6.1.8. Aplicarea modelului de distribuție Rayleigh pentru aplicația tip server IED3

Pentru aplicația tip server IED3, spre sfârșitul perioadei de proiectare și implementare (lunile 2-3) au fost descoperite majoritatea defectelor, comparativ cu restul perioadelor. În perioada de testare cu conectare la IED dar neconectate la echipamentul electric monitorizat

(lunile 4-7) și în perioada de testare cu IED-urile conectate la echipamentul electric (lunile 8-11) numărul defectelor descoperite a scăzut, atingând valori mici și aproape stabilizându-se către sfârșit.

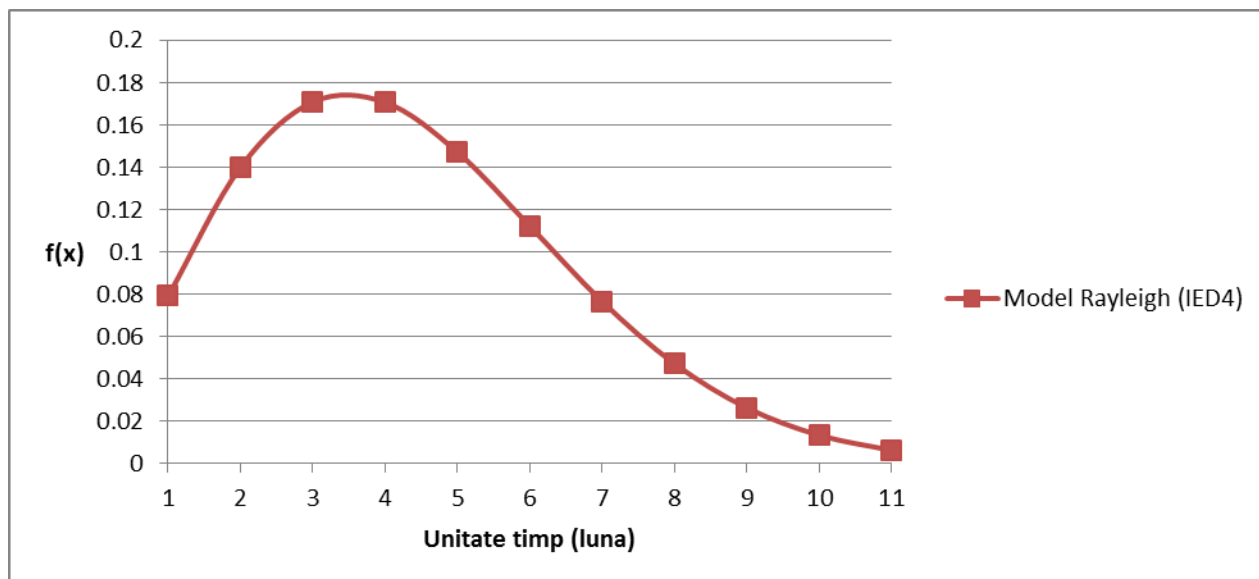


Fig. 6.1.9. Aplicarea modelului de distribuție Rayleigh pentru aplicația tip server IED4

Pentru aplicația tip server IED4, în perioada de proiectare și implementare (lunile 2-3) au fost descoperite și remediate multe defecte. Totodată a mai fost descoperit un număr semnificativ de defecte la începutul perioadei de testare folosind IED-ul dar neconectat la echipamentul electric monitorizat (lunile 4-5). Similar cu cazul aplicației tip server IED3, în perioada de testare în stație cu IED-urile conectate la echipamentele electrice (lunile 8-11), numărul defectelor descoperite a scăzut, atingând valori mici și aproape stabilizându-se către sfârșitul perioadei.

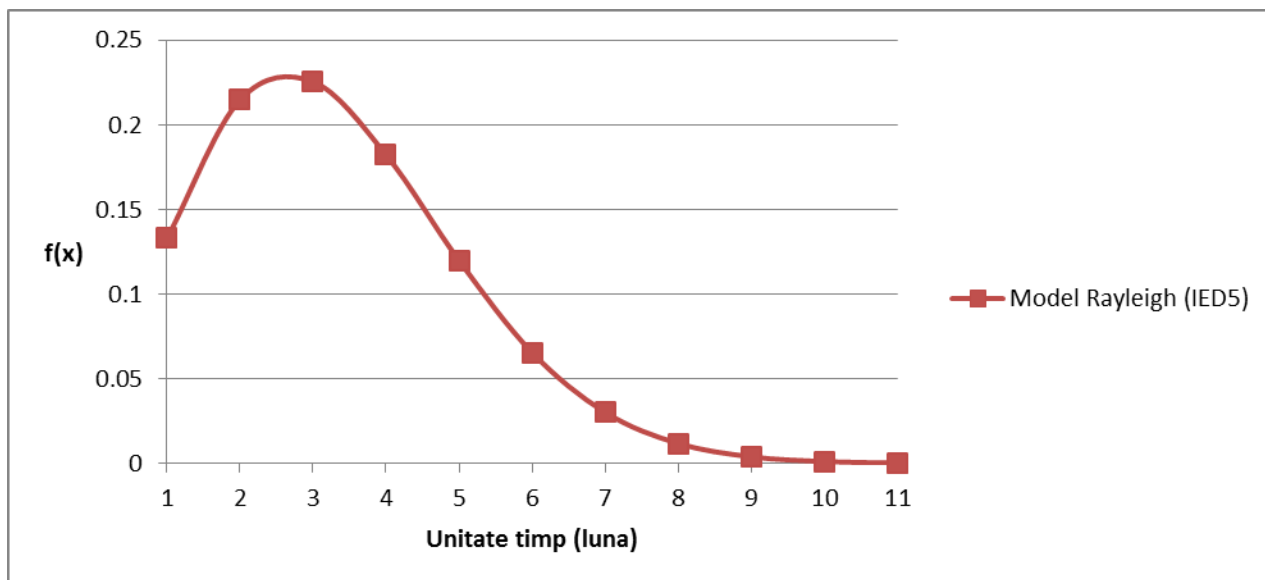


Fig. 6.1.10. Aplicarea modelului de distribuție Rayleigh pentru aplicația tip server IED5

Pentru aplicația tip server IED5, în perioada de proiectare și implementare (primele 4 luni) au fost descoperite majoritatea defectelor. Numărul acestora a scăzut în perioada de testare cu conectare la IED dar neconectate la echipamentul electric monitorizat. Spre sfârșitul perioadei de testare în stație cu IED-urile conectate la echipamentul electric numărul defectelor descoperite s-a stabilizat, ajungând la valori foarte mici (lunile 10-11).

În urma aplicării modelului Rayleigh pentru aplicațiile server asociate celor 5 tipuri de IED-uri, s-a constatat că pentru serverele asociate dispozitivelor IED3, IED4 și IED5 rata descoperirii defectelor pe parcursul dezvoltării a fost bună, astfel încât la sfârșitul perioadei de testare rata defectelor s-a stabilizat și a avut o valoare mică.

Modelarea cu ajutorul curbei Rayleigh a ratei defectelor pentru serverul IED1 indică faptul că la sfârșitul perioadei de testare rata defectelor a scăzut dar nu s-a stabilizat încă, fiind posibilă descoperirea unor noi defecte în perioada imediat următoare.

Pentru serverul IED2, la sfârșitul perioadei de testare rata defectelor a fost mare, numărul de defecte rămase în software a fost de asemenea mare, indicând faptul că testele efectuate au fost insuficiente.

Concluzia generală în urma aplicării modelului Rayleigh este că în situația în care s-ar fi utilizat simulatorul software de la începutul proiectului, se puteau descoperi mai multe defecte înainte de instalarea în stație.

6.2. Modelul matematic al lanțului Markov

În teoria probabilităților, un model Markov este un proces stochastic ce posedă proprietatea Markov. Această proprietate se referă la faptul că stările viitoare ale unui sistem modelat printr-un lanț Markov depind de cele prezente și sunt independente de cele trecute.

Lanțul Markov modelează starea unui sistem cu o variabilă aleatoare care se schimbă în timp. Astfel, la fiecare moment, sistemul își poate schimba sau păstra starea, în conformitate cu o anumită distribuție de probabilitate. Schimbările de stare sunt numite tranziții.

Lanțul Markov omogen simplu arată că probabilitatea ca una din variabilele aleatoare x_n să ia o valoare a_i depinde numai de variabila precedentă (valoarea ei) și nu depinde de toate valorile anterioare. Se mai spune că variabila x_n depinde de cel mai „apropiat trecut” x_{n-1} . În cazul unui lanț Markov multiplu, probabilitatea ca variabila x_n să ia o valoare a_i depinde numai de valorile lanțului de m variabile precedente, fiind independentă de valorile luate de restul variabilelor. Dacă variabila x_n a lanțului ia valoarea a_i , atunci variabilele următoare x_{n+1}, x_{n+2}, \dots depind numai de valoarea a_i luată de variabila x_n .

De aceea, dezvoltarea viitoare a lanțului depinde numai de prezent, fiind independentă de trecut.

Un lanț Markov aplicat în ingineria software presupune existența a doua stări pentru aplicația software: starea bună și starea de cădere.

Pe baza experienței personale de dezvoltare și utilizare a unor sisteme software de monitorizare și control, propun ca un astfel de sistem să fie asociat la un moment dat cu una dintre următoarele stări:

1. Stare bună:

- o sistemul în ansamblu funcționează conform specificațiilor;

2. Stare acceptabilă:

- o există probleme la achiziționarea pachetelor de date. Sunt pachete ratate la anumite intervale de timp;
- o rarele erori nu presupun încă intervenția personalului din stație;

3. Stare proastă:

- o sistem indisponibil majoritatea timpului;
- o există pachete de date ratate (neachiziționate de către aplicațiile server) foarte des;
- o întârzieri în actualizarea datelor afișate;

- o este necesară intervenția utilizatorului pentru repornirea uneia sau mai multor aplicații din sistem;
- o poate fi necesară chiar repornirea calculatorului client, serverului sau IED-ului/IED-urilor;

4. Stare inacceptabilă:

- o majoritatea sau chiar toate componentele sistemului nu mai funcționează sau nu funcționează conform specificațiilor;
- o sistemul nu mai este disponibil;

Pentru estimarea stării curente a sistemului se pot folosi:

- informații din fișierele log;
 - informații din bazele de date ale sistemului;
 - informații privind resursele de sistem utilizate de către servere;
- și altele.

Metoda propusă de mine pentru estimarea stării curente și pentru calculul timpilor de tranziție între stări se bazează pe analiza fișierelor log.

În cazul sistemului de monitorizare și control EMCSIT folosit ca studiu de caz și prezentat în capitolul 4, fișierele log create de aplicațiile server conțin informații privind data achiziției fiecărui pachet de date, id-ul pachetului, dacă acesta a fost valid și starea echipamentului electric monitorizat.

Analizând fișierul log, se poate observa dacă au lipsit pachete de date din cele care trebuiau să fie achiziționate la intervale de timp prestabilite (de ex. la fiecare minut).

Observând comportamentul sistemului pentru o perioadă suficientă de timp, am constatat că trecerea dintr-o stare în alta este strâns corelată cu numărul de pachete de date pierdute (neachiziționate).

Astfel, propun următoarea clasificare a stărilor sistemului în cele 4 stări discrete:

- În cazul în care există mai puțin de 1 pachet de date ratat (neachiziționat de către aplicația server) pe zi atunci sistemul se află în starea S1 (stare bună).
- Dacă există cel mult 1 pachet de date ratat la fiecare 6 ore sau în medie cel mult 4 pachete ratate pe zi atunci sistemul se află în starea S2 (stare acceptabilă). În aceeași stare sistemul se încadrează și dacă are maximum două pachete de date ratate consecutiv.

- Dacă sunt cel mult 24 pachete ratate pe zi adică în medie 1 pachet de date la fiecare oră sau mai mult de 3 pachete de date ratate consecutiv atunci sistemul se află în starea S3 (stare proastă).
- Pentru situațiile mai grave decât cele descrise anterior, sistemul se află în starea S4 (inacceptabilă).

Se poate utiliza modelul Markov pentru a stabili timpii de tranziție între stările sistemului de monitorizare și control și respectiv când va ajunge sistemul în starea inacceptabilă.

Prin introducerea în modelul Markov al sistemului de monitorizare și control, a două stări intermediare între cea bună și cea inacceptabilă, este posibilă intervenția promptă pentru remedierea defectelor înainte ca sistemul să ajungă în starea de funcționare inacceptabilă.

În cazul în care o aplicație software se află în starea (S_i) se poate calcula FPT_{ij} adică timpul de tranziție între starea S_i și starea S_j .

Există mai multe metode de a calcula timpii de tranziție FPT (First Passage Times). Una dintre metodele studiate este cea a combinării stărilor.

Această metodă combină toate stările intermediare (între starea inițială i și starea finală j) într-o singură stare (S) și calculează rata de tranziție din starea inițială i în starea finală j notată FPT_{ij} (fig. 6.2.1.). Pentru aceasta se folosesc ratele de tranziție λ_{iS} și λ_{Sj} .

Ratele de tranziție se calculează ca fiind numărul de cazuri când sistemul a trecut din starea i în starea j , raportat la numărul total de cazuri când și-a schimbat starea.

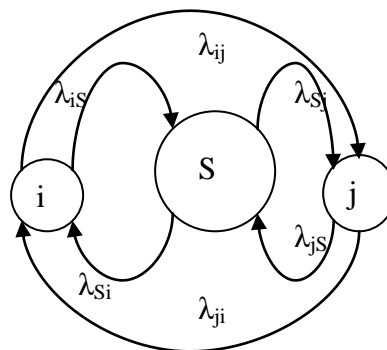


Fig. 6.2.1. Reprezentarea stărilor pentru calculul FPT

Ratele (λ_{ij}) și (λ_{ji}) se obțin din calculele utilizând modelarea inițială a stărilor, înainte de combinarea stărilor intermediare în starea S. Ratele de tranziție în (S_i) din (S) se calculează cu metoda combinării stărilor:

$$(1) \quad \lambda_{iS} = \sum_{z \in S} \lambda_{iz}$$

$$(2) \quad \lambda_{Si} = \frac{\sum_{z \in S} p_z \lambda_{zi}}{\sum_{z \in S} p_z}$$

$$(3) \quad \lambda_{jS} = \sum_{z \in S} \lambda_{jz}$$

$$(4) \quad \lambda_{Sj} = \frac{\sum_{z \in S} p_z \lambda_{zj}}{\sum_{z \in S} p_z}$$

unde $z \in S$ este o stare, iar p_z este probabilitatea ca sistemul să fie în starea z.

Probabilitatea de a fi într-o anumită stare se calculează pentru acest sistem ca fiind numărul de cazuri în care sistemul software s-a aflat într-o anumită stare raportat la numărul total de cazuri.

Pentru calculul FPT_{ij} , unde FPT_{ij} = (durata medie) timpul de tranziție de la starea (i) la starea (j) se utilizează următoarea formulă:

$$(5) \quad (FPT)_{ij} = \frac{\lambda_{Si} + \lambda_{Sj} + \lambda_{iS}}{\lambda_{Si} \lambda_{ij} + \lambda_{Sj} \lambda_{ij} + \lambda_{Sj} \lambda_{iS}}$$

După ce s-a calculat $(FPT)_{ij}$, rezultatul obținut este exprimat în unitatea de timp pentru care au fost colectate datele. De ex. dacă se obține $(FPT)_{ij} = 0,3$ cu $i=1$ și $j=3$ și au fost luate în considerare date colectate pe un interval de 4 luni. Presupunând că sistemul software se află în starea S1 (stare bună) atunci conform modelului Markov, el va ajunge în starea S3 (stare proastă) în 0,3 luni.

Utilitatea calculării timpilor de tranziție între stări a fost demonstrată în numeroase domenii printre care și cel al ingineriei software. Considerând că o anumită aplicație software funcționează fără probleme, pe baza informațiilor privind ratele de defectare colectate în perioada de testare, se poate estima cu un anumit grad de încredere, momentul de timp aproximativ când sistemul va cădea.

6.3. Rețele Bayesiene

6.3.1. Modelul matematic

O rețea Bayesiană este un graf orientat fără cicluri ce reprezintă relațiile probabilistice între variabilele unei mulțimi. Variabilele mulțimii sunt figurate drept noduri, notate cu $\{X_1, X_2, \dots, X_n\}$ iar relațiile între ele sunt reprezentate prin arce:

- nodul părinte reprezintă variabila care determină schimbarea variabilei fiu;
- nod fiu este variabila care suferă influența variabilei părinte;

Intensitatea și modul în care se manifestă influențele între variabile sunt redată prin tabelul de probabilități condiționate al fiecărui nod în parte. Acesta ne permite să calculăm valorile probabilităților pentru variabila aleatoare asociată nodului, în funcție de valorile părinților.

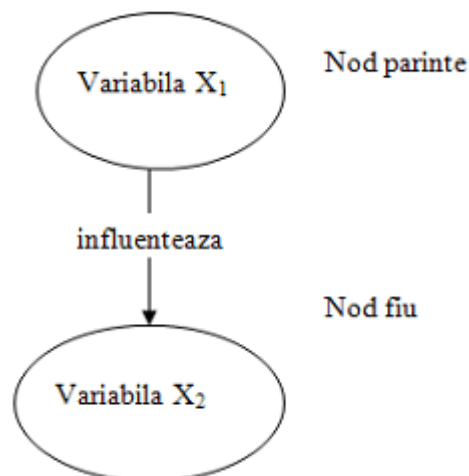


Fig. 6.3.1.1. Relația dintre nodul părinte și nodul fiu într-o rețea Bayesiană

Semnificația intuitivă a arcului părinte-fiu este aceea că părintele influențează în mod direct pe fiu.

Fiecare nod are un tabel de probabilități condiționate asociat lui. Probabilitățile condiționate sunt bazate pe informațiile din trecut. O probabilitate condiționată este scrisă matematic ca $P(x|p_1, p_2, \dots, p_n)$ și reprezintă probabilitatea ca variabila X să fie în starea x dacă părintele P_1 se află în starea p_1 , P_2 se află în starea p_2, \dots , respectiv P_n se află în starea p_n . Aceasta informație este reprezentată în tabela de probabilități condiționate.

De exemplu, în figura care urmează se prezintă un exemplu privind influența precipitațiilor asupra condițiilor de drum ce poate fi interpretată în felul următor: „Dacă nu

sunt precipitații, atunci condițiile de drum au o probabilitate de 5% să fie impracticabile și de 95% să fie practicabile”. În mod similar se pot citi restul de informații din tabela de probabilități condiționate.

părinte	fiu	
	condiții de drum	
	impracticabil	practicabil
deloc	0,050	0,950
usoară	0,100	0,900
puternică	0,700	0,300

stările nodului selectat

probabilitățile condiționate

stările nodului părinte

Fig. 6.3.1.2. Exemplu de tabelă de probabilități condiționate

În cazul unei rețele Bayesiene, cum ar fi cea din fig. 6.3.1.3., pentru a calcula probabilitatea de defectare a nodurilor părinte notate cu A_i , se aplică formula lui Bayes pentru calculul probabilității condiționate:

$$P(A_i|E = defect) = \frac{P(A_i) \times P(E = defect|A_i)}{\sum_{j=1}^n P(A_j) \times P(E = defect|A_j)}$$

unde n reprezintă nodurile ce influențează direct nodul i , $i=1, \dots, n$.

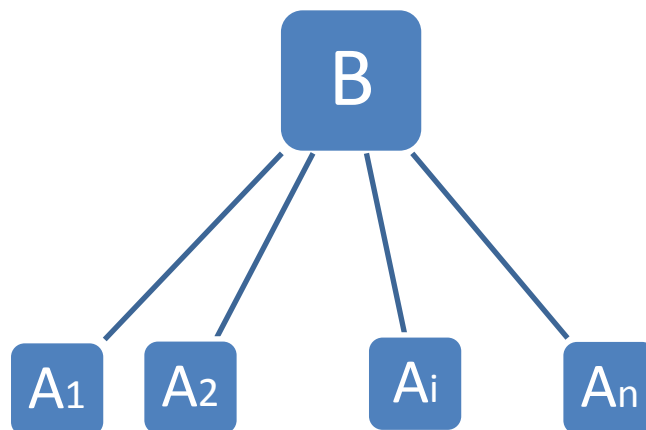


Fig. 6.3.1.3. Exemplu de rețea Bayesiană

Probabilitatea ca nodul fiu, B, să se defecteze este următoarea:

$$P(B) = \sum_{i=1}^n P(A_i) \times P(E = defect|A_i)$$

6.3.2. Modelarea unui sistem de monitorizare și control a unei stații electrice conform standardului IEC61850 printr-o rețea Bayesiană

Rețelele Bayesiene pot estima probabilitatea de defectare a unui sistem software pe baza istoricului ratelor de defectare ale modulelor constituente.

Ne propunem să modelăm printr-o rețea Bayesiană, un sistem de monitorizare și control a unei stații electrice [Urs8-6]. Aceasta ne va permite să calculăm probabilitatea de defectare a fiecărui nod din sistem precum și a întregului sistem.

Pentru calculele referitoare la probabilitățile de defectare a nodurilor (IED-urilor) cât și a sistemului de monitorizare și control trebuie achiziționate informații privind numărul de defecte descoperite într-o anumită perioadă de timp, pentru fiecare IED.

O astfel de rețea, care modelează un sistem de monitorizare și control conform standardului IEC61850, este o rețea Bayesiană cu 2 nivele:

- Pe primul nivel (nivelul 0) se află nodul fiu (B) ce reprezintă sistemul software de monitorizare și control a unei stații electrice;
- Pe al doilea nivel (nivelul 1) se află nodurile părinte (A_i) respectiv serverele locale;

Defectarea unui IED va afecta într-o măsură mai mare sau mai mică defectarea întregului sistem de monitorizare și control.

Fiecare nod fiu este caracterizat de o anumită rată de defectare (număr de defecte într-o perioadă de timp).

Rețeaua Bayesiană, fiind un graf orientat, suportă orice relație între noduri. În funcție de relațiile/influența între noduri, se calculează probabilitatea de defectare a aceluia nod.

Sistemul de monitorizare și control a stației electrice, fiind nod fiu este influențat de probabilitățile de defectare a tuturor nodurilor.

În cazul în care nu toate nodurile influențează sistemul, atunci formula lui Bayes se modifică corespunzător.

La numitor vor apărea informații doar despre acele noduri care influențează nodul pentru care se calculează probabilitatea de defectare.

De exemplu, pentru următoarea situație:

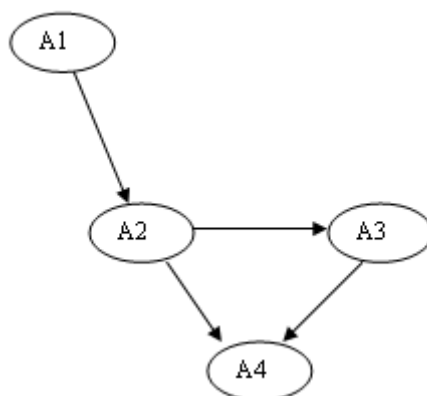


Fig. 6.3.2.1. Exemplu de influență între nodurile unei rețele Bayesiene

avem următoarele formule pentru calculul probabilității de defectare a nodurilor A2, A3 și respectiv A4:

$$P(A_2|E = defect) = \frac{P(A_2) \times P(E = defect|A_2)}{P(A_1) \times P(E = defect|A_1) + P(A_2) \times P(E = defect|A_2)}$$

$$P(A_3|E = defect) = \frac{P(A_3) \times P(E = defect|A_3)}{P(A_2) \times P(E = defect|A_2) + P(A_3) \times P(E = defect|A_3)}$$

$$P(A_4|E = defect)$$

$$= \frac{P(A_4) \times P(E = defect|A_4)}{P(A_2) \times P(E = defect|A_2) + P(A_3) \times P(E = defect|A_3) + P(A_4) \times P(E = defect|A_4)}$$

În figura 6.3.2.1., nodul A1 influențează doar nodul A2, în timp ce acesta influențează nodurile A3 și A4. Nodul A4 este influențat de către nodurile A2 și A3.

De aceea, în formula ce calculează probabilitatea de defectare a nodului A2, la numitor sunt utilizate probabilitățile pentru nodurile A2 și A1; în formula ce calculează probabilitatea de defectare a nodului A3, la numitor sunt utilizate probabilitățile pentru nodul A2 și A3; în formula ce calculează probabilitatea de defectare a nodului A4, la numitor sunt utilizate probabilitățile pentru nodul A2, A3 și respectiv A4.

Un sistem de monitorizare și control ce respectă standardul IEC61850, în varianta simplificată are structura din următoarea figură:

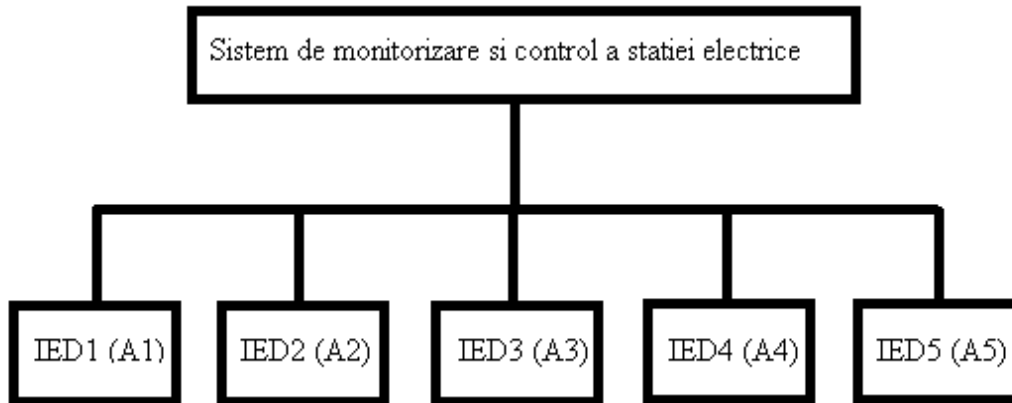


Fig. 6.3.2.2. Arhitectura simplificată a sistemului de monitorizare și control

Fiecare nod de tip părinte IED monitorizează un singur tip de echipament electric aparținând stației electrice. Sistemul de monitorizare și control a stației electrice este nodul fiu și este influențat direct și în egală măsură de toate nodurile IED.

6.3.3. Studiu de caz: modelarea sistemului EMCSIT printr-o rețea Bayesiană

Sistemul de monitorizare și control EMCSIT este alcătuit din următoarele componente:

- IED-uri pentru fiecare echipament electric primar din stație;
- Servere locale corespunzătoare mai multor IED-uri ce sunt grupate în celule electrice;
- Serverul central de baze de date;
- Calculatorul pe care se execută aplicația client, aflat în camera de comandă a stației electrice;

Sistemul EMCSIT poate fi modelat prin mai multe rețele Bayesiene. Astfel, se poate construi câte o rețea Bayesiană pentru fiecare server local, ce poate fi descris ca un subsistem de monitorizare și control; vor fi 5 rețele Bayesiene cu ajutorul cărora se va putea calcula probabilitatea de defectare a fiecărui subsistem de monitorizare și control. Informațiile utilizate sunt cele referitoare la ratele de defectare/cădere pentru fiecare IED ce face parte din rețea.

Se poate construi o rețea Bayesiană pentru serverul central, ce va avea drept noduri părinte serverele locale din cabinetele de relee, notate cu Server local CR1, Server local CR2, Server local CR3, Server local CR4 respectiv Server local CR5 adică subsistemele de

monitorizare și control. Vor fi utilizate informațiile privind probabilitățile de defectare ale serverelor locale, calculate anterior.

În final, rețeaua Bayesiană prin care se va putea calcula probabilitatea de defectare a întregului sistem de monitorizare și control a stației electrice va avea drept noduri părinte: serverul central, IED-ul ce monitorizează transformatorul de putere (de tipul IED5), IED-ul ce monitorizează bobina de compensare (de tipul IED5) și calculatorul ce rulează aplicația client din camera de comandă. Se vor folosi ca date de intrare, probabilitatea de defectare calculată anterior pentru serverul central și ratele de defectare/cădere pentru IED-urile de tip IED5 și aplicația client.

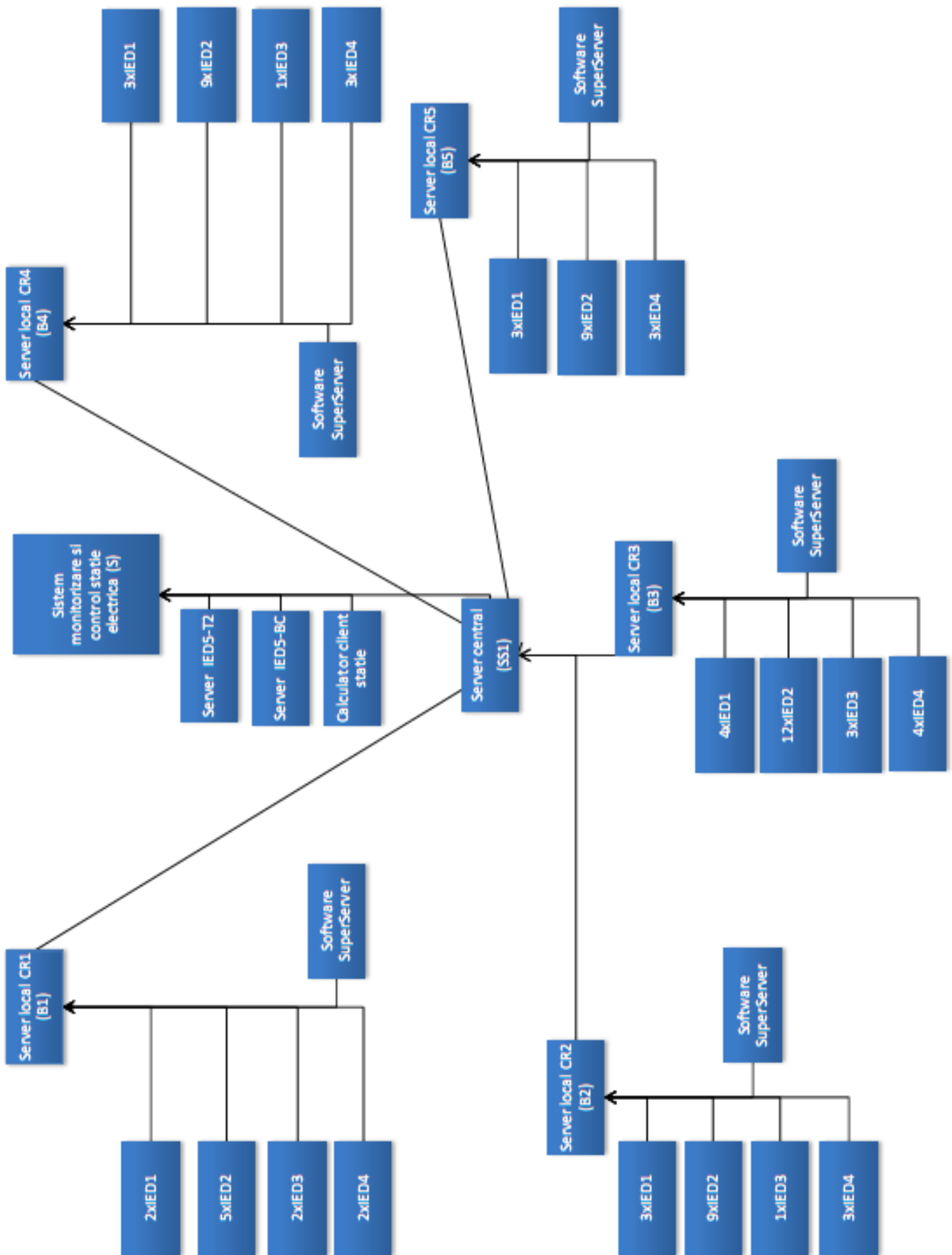


Fig. 6.3.3.1. Reprezentarea sistemului EMCSIT printr-o rețea Bayesiană

În cabina de releu 1 (CR1), sunt conectate la un server local IED-urile de tip IED1, IED2, IED3 și IED4. Acest server va fi reprezentat în rețeaua Bayesiană ca fiind nodul B1.

Similar, în cabina de releu 2 (CR2), sunt conectate IED-urile la un server local, reprezentat în rețeaua Bayesiană ca fiind nodul B2; în cabina de releu 3 (CR3), sunt conectate IED-urile la un server local, reprezentat în rețeaua Bayesiană ca fiind nodul B3; în cabina de releu 4 (CR4), sunt conectate IED-urile la un server local, reprezentat în rețeaua Bayesiană ca fiind nodul B4; în cabina de releu 5 (CR5), sunt conectate IED-urile la un server local, reprezentat în rețeaua Bayesiană ca fiind nodul B5.

Se vor calcula probabilitățile de defectare ale nodurilor B1, B2, B3, B4 și B5 în funcție de ratele de defectare ale IED-urilor care aparțin de respectivele cabine de releu.

Toate cele 5 noduri reprezentând serverele locale sunt conectate în rețea la un server central de baze de date denumit în rețeaua Bayesiană ca fiind nodul SS1.

Funcționarea acestui nod va fi influențată de nodurile B care sunt independente între ele.

În final, aplicația EMCSIT Stație, ce rulează pe un calculator aflat în camera de comandă, va avea propriile rate de defectare: informații achiziționate în timpul testelor efectuate în stație cu toate IED-urile și serverele conectate și în operare.

Funcționarea acestui nod, reprezentat în rețeaua Bayesiană ca fiind nodul S, va fi influențată pe lângă funcționarea software-ului ce rulează local și de nodul SS1 deci indirect de nodurile B.

În continuare putem calcula probabilitățile de defectare pentru fiecare server local B1, B2, B3, B4 respectiv B5, conform formulei lui Bayes:

$$P(B_1|E = defect) = \frac{P(B_1) \times P(E = defect|B_1)}{P(A_1) \times P(E = defect|A_1) + P(A_2) \times P(E = defect|A_2) + P(A_3) \times P(E = defect|A_3) + P(A_4) \times P(E = defect|A_4)}$$

$$P(B_2|E = defect) = \frac{P(B_2) \times P(E = defect|B_2)}{P(A_1) \times P(E = defect|A_1) + P(A_2) \times P(E = defect|A_2) + P(A_3) \times P(E = defect|A_3) + P(A_4) \times P(E = defect|A_4)}$$

$$P(B_2|E = defect) = \frac{P(B_2) \times P(E = defect|B_2)}{P(A_1) \times P(E = defect|A_1) + P(A_2) \times P(E = defect|A_2) + P(A_3) \times P(E = defect|A_3) + P(A_4) \times P(E = defect|A_4)}$$

$$P(B_4|E = defect) = \frac{P(B_4) \times P(E = defect|B_4)}{P(A_1) \times P(E = defect|A_1) + P(A_2) \times P(E = defect|A_2) + P(A_3) \times P(E = defect|A_3) + P(A_4) \times P(E = defect|A_4)}$$

$$P(B_5|E = defect) = \frac{P(B_5) \times P(E = defect|B_5)}{P(A_1) \times P(E = defect|A_1) + P(A_2) \times P(E = defect|A_2) + P(A_3) \times P(E = defect|A_3) + P(A_4) \times P(E = defect|A_4)}$$

Apoi se poate calcula probabilitatea de defectare a nodului SS1:

$$P(SS_1|E = defect) = P(B_1) \times P(E = defect|B_1) + P(B_2) \times P(E = defect|B_2) + P(B_3) \times P(E = defect|B_3) + P(B_4) \times P(E = defect|B_4) + P(B_5) \times P(E = defect|B_5)$$

În final se calculează probabilitatea de defectare a întregului sistem, nodul fiu care este influențat indirect de toate IED-urile prin intermediul serverelor locale și serverului central de baze de date:

$$P(S|E = defect) = P(SS_1) \times P(E = defect|SS_1) + P(A_5T2) \times P(E = defect|A_5T2) + P(A_5BC) \times P(E = defect|A_5BC) + P(HMI) \times P(E = defect|HMI)$$

6.4. Concluzii

În acest capitol am prezentat aplicarea a trei modele matematice pentru estimarea fiabilității unui sistem de monitorizare și control a unei stații electrice: rata defectelor în timpul operării folosind modelul Rayleigh, perioada de timp în care sistemul poate ajunge într-o stare de funcționare necorespunzătoare sau cădere folosind un lanț Markov, probabilitatea de defectare în timpul operării folosind o rețea Bayesiană. Modelul Rayleigh a fost utilizat pentru aplicațiile server corespunzătoare fiecărui tip de IED din cadrul sistemului EMCSIT, pentru a observa dacă rata descoperirii defectelor s-a stabilizat și este mică la sfârșitul perioadei de dezvoltare, inclusiv a testelor în stație (cu IED-urile conectate la echipamentele electrice), în caz contrar existând posibilitatea sa apară defecte în perioada imediat următoare.

Modelul Markov a fost folosit cu succes în domeniul energetic, pentru estimarea timpilor de tranziție între stările diverselor echipamente electrice primare. Aceasta estimare se face în scopul evaluării momentului în care echipamentele vor ceda. Pentru aceasta, trebuie să pe baza parametrilor mășurați ai echipamentelor, să se facă o încadrare a stării curente a echipamentului. În proiectele din domeniul energetic [Urs8-20] s-a propus ca un echipament electric să fie modelat prin 4 stări posibile (în care se poate afla acesta), în funcție de parametrii mășurați și limitele tehnologice aplicate: stare bună, acceptabilă, proastă și inacceptabilă. Am propus o modalitate similară de modelare a stărilor unui sistem software de monitorizare și control a unei stații electrice, în scopul utilizării modelului Markov pentru calculul FPT (first passage times). Utilizând aceasta metodă se poate calcula timpul în care sistemul poate ajunge în starea inacceptabilă.

De asemenea, am propus modelarea unui sistem de monitorizare și control a unei stații electrice utilizând rețelele Bayesiene pentru calculul probabilității de defectare a întregului sistem. Se poate calcula probabilitatea de defectare a fiecărui nod al rețelei în funcție de influența altor noduri asupra sa.

7. Aplicația software pentru estimarea fiabilității unui sistem de monitorizare și control a unei stații electrice

Aplicația software permite modelarea unui sistem de monitorizare și control a unei stații electrice printr-o rețea Bayesiană și evaluarea rețelei în scopul estimării probabilității de defectare a fiecărui nod al rețelei precum și a întregului sistem.

Configurația stației trebuie să fie descrisă într-un fișier în format SCL, conform standardului IEC61850. Fișierul poate fi creat cu un editor special (comercial) sau manual.

Aplicația permite:

- Preluarea configurației unei stații electrice dintr-un fișier scris în limbajul SCL;
- Adăugarea de noi noduri în configurație;
- Editarea rețelei Bayesiene prin definirea relațiilor între noduri;
- Adăugarea sau calcularea de probabilități de defectare a priori pentru fiecare nod, pe baza ratelor de defectare;
- Calculul probabilității de defectare a fiecărui nod și a întregului sistem ținând cont de relațiile existente între noduri în rețeaua Bayesiană;

Pentru construirea rețelei Bayesiene se efectuează următorii pași:

- se creează modelul rețelei Bayesiene bazat pe structura stației electrice definită în fișierul SCL. Nodurile rețelei sunt IED-urile sau serverele locale la care se conectează IED-urile, pe care se execută aplicațiile software tip server;
- se definesc tipurile de noduri: noduri de tip părinte și fiu;
- se completează informațiile privind ratele de defectare ale IED-urilor (numărul de defecte observate într-o anumită perioadă de timp) și ale serverelor locale;

Aplicația a fost realizată în mediul de dezvoltare Microsoft Visual Studio .NET 2010. Este compusă din modulele *Parser SCL* și *Calcul BN*.

7.1. Modulul Parser SCL

Pentru modelarea unei stații electrice conform standardului IEC61850 s-a folosit limbajul SCL (Substation Configuration Language) și s-a utilizat aplicația Visual SCL [Iec9-11].

Aplicația Visual SCL permite utilizatorului să salveze schemele de stație în formatul standard tip XML specific IEC61850 sub forma unor fișiere cu extensia .SCD.

Pentru utilizarea informațiilor prezente în fișierele .SCD am dezvoltat un modul software, denumit *Parser SCL*. Acesta citește informații din fișierele .SCD scrise în limbajul de configurare a unei stații electrice – SCL (IEC61850) și furnizează ca date de ieșire, structuri de date ce pot fi apoi definite ca noduri ale unei rețele Bayesiene. Datele de ieșire sunt folosite ulterior de aplicația *Calcul BN*, pentru estimarea fiabilității sistemului.

Nodurile și informațiile asociate lor, reprezentând datele de defectare ale IED-urilor, vor folosi la calculele privind probabilitatea de defectare a sistemului de monitorizare și control.

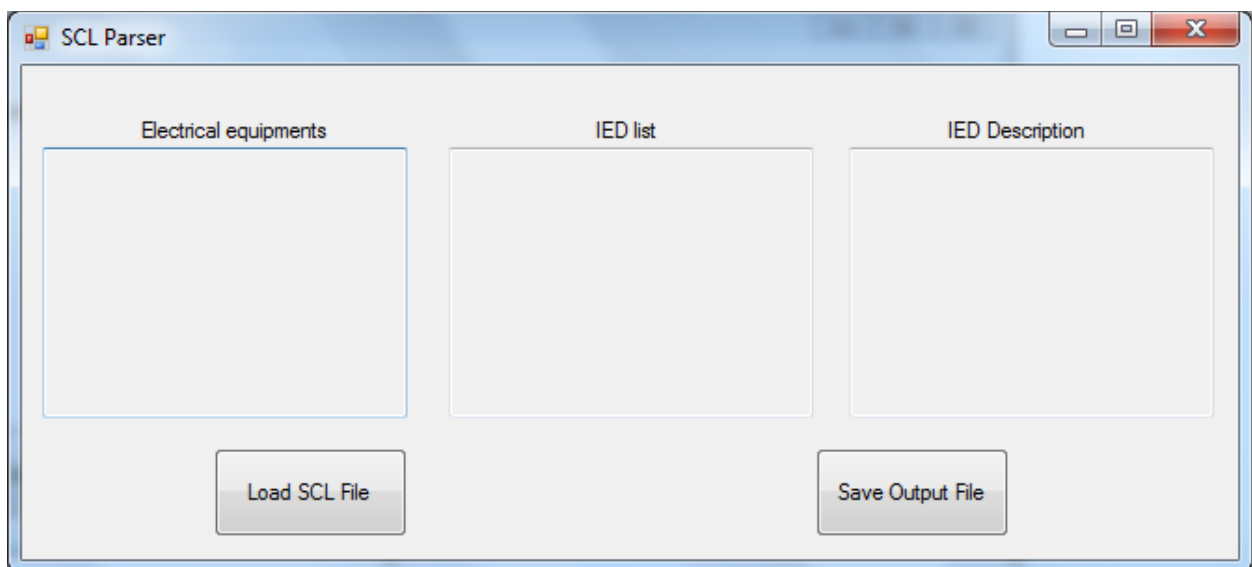


Fig. 7.1.1. Fereastra principală a modulului *Parser SCL*.

În cadrul ferestrei principale, utilizatorul are opțiunea de a încărca fișierul SCL dorit. Informațiile obținute din acest fișier sunt vizibile în cele 3 secțiuni:

- Electrical equipments (echipamentele electrice din stație);
- IED list (IED-urile asociate echipamentelor electrice);
- IED description (descrierea IED-urilor);

Informațiile pot fi salvate într-un fișier extern în format text prin apăsarea butonului “Save Output File”.

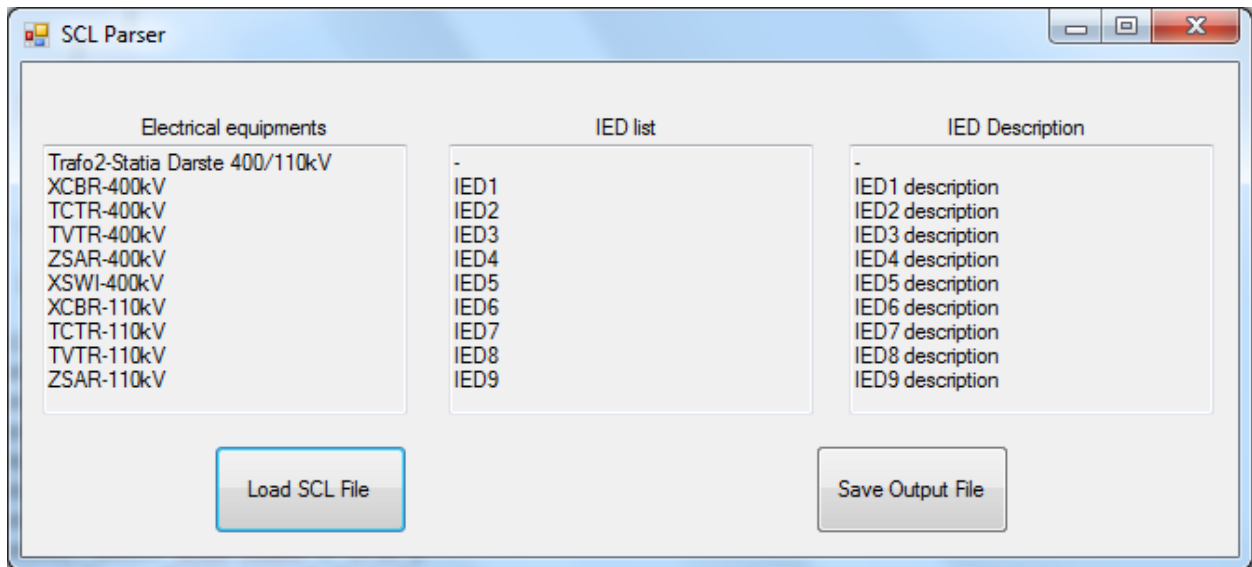


Fig. 7.1.2. Rezultate obținute

Modulul *Parser SCL* a fost implementat inițial ca o aplicație independentă iar ulterior a fost integrat în aplicația curentă. Salvarea datelor de ieșire ale modulului *Parser SCL* este opțională, ele fiind puse direct la dispoziția aplicației curente.

7.2. Modulul Calcul BN

Informațiile obținute, respectiv echipamentele electrice și IED-urile asociate se folosesc în modelarea matematică a rețelei Bayesiene ca noduri ale sistemului de monitorizare și control a stației electrice.

După ce au fost făcute legăturile între IED-uri și echipamentele electrice, aplicația de calcul a rețelei Bayesiene preia lista de IED-uri și oferă utilizatorului posibilitatea completării ratelor de defectare pentru acestea.

Suplimentar, se pot face conexiuni între IED-uri și noduri introduse manual de utilizator, pentru a permite alcătuirea unei rețele Bayesiene cât mai apropiată de configurația fizică a sistemului de monitorizare și control.

Fluxul completării informațiilor în cadrul aplicației software de modelare a rețelei Bayesiene este prezentat în următoarele figuri:

1. Se rulează modulul software *Parser SCL* ce va furniza o parte din datele de intrare ale aplicației. Acestea sunt nodurile rețelei Bayesiene bazată pe schema stației electrice conform IEC61850.

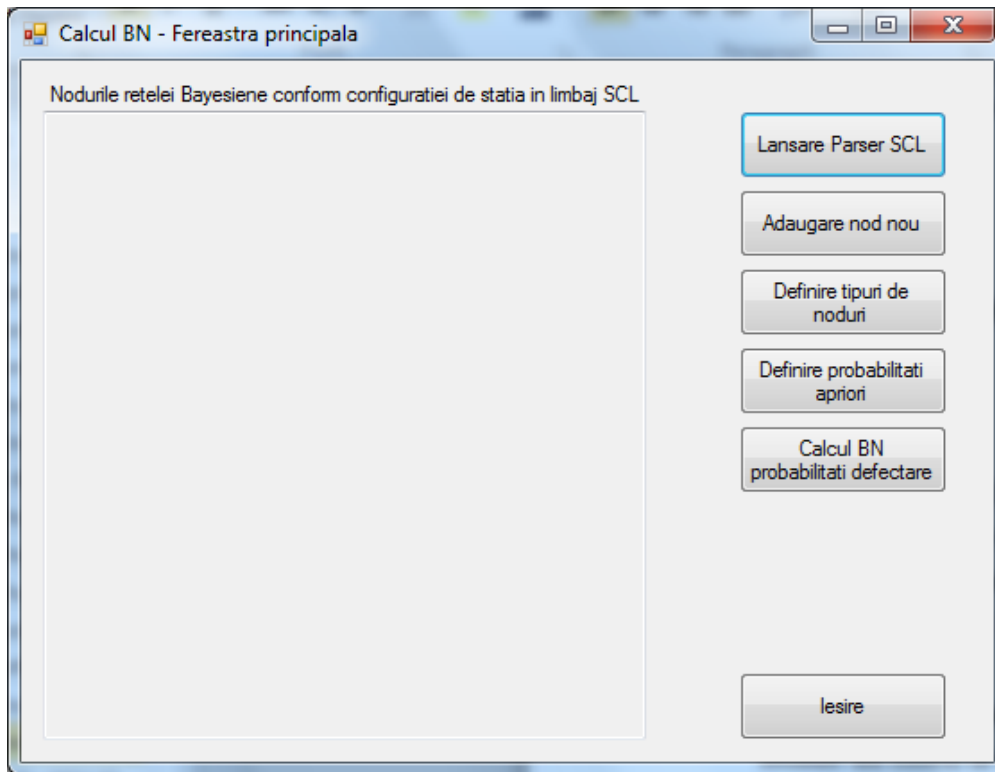


Fig. 7.2.1. Fereastra principală a aplicației

După încărcarea informațiilor din fișierul în format SCL, nodurile rețelei Bayesiene se vor regăsi în fereastra principală a aplicației *Calcul BN*, în partea stângă. Sunt următoarele tipuri de noduri:

- Noduri reprezentând IED-urile ce monitorizează echipamentele electrice din stație;
- Noduri de tip PC, definite de utilizator, ce reprezintă serverele locale din cabinetele de rele și respectiv serverul central de baze de date;
- Nodul de tip HMI (Human Machine Interface) ce reprezintă calculatorul client din camera de comandă ce rulează aplicația software tip client;

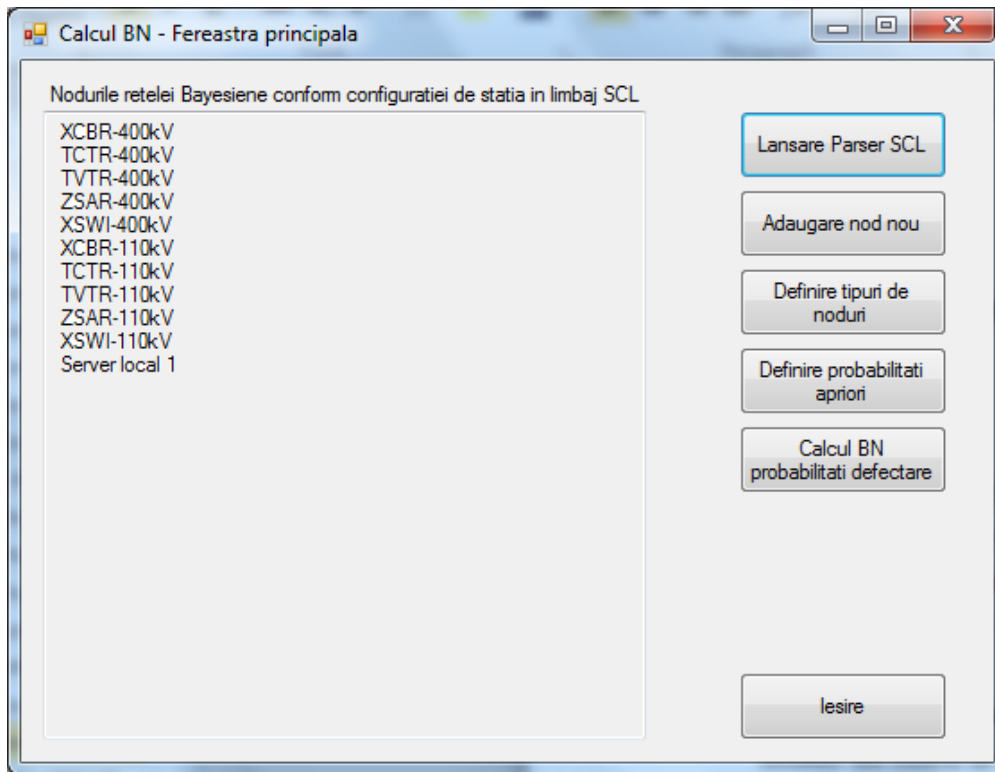


Fig. 7.2.2. Nodurile rețelei Bayesiene

2. Există posibilitatea adăugării de noi noduri pentru rețeaua Bayesiană, pe lângă cele obținute din fișierul de configurare a stației electrice, conform standardului IEC61850.

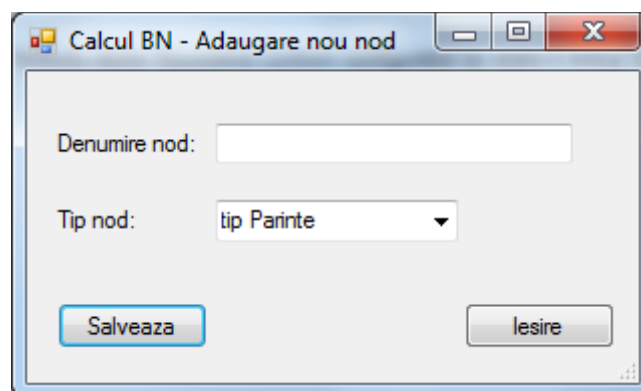


Fig. 7.2.3. Adăugarea de noi noduri în rețeaua Bayesiană

3. Sunt definite nodurile de tip părinte (IED-urile) și nodul fiu (subsistemul de monitorizare și control a stației electrice - serverul local):

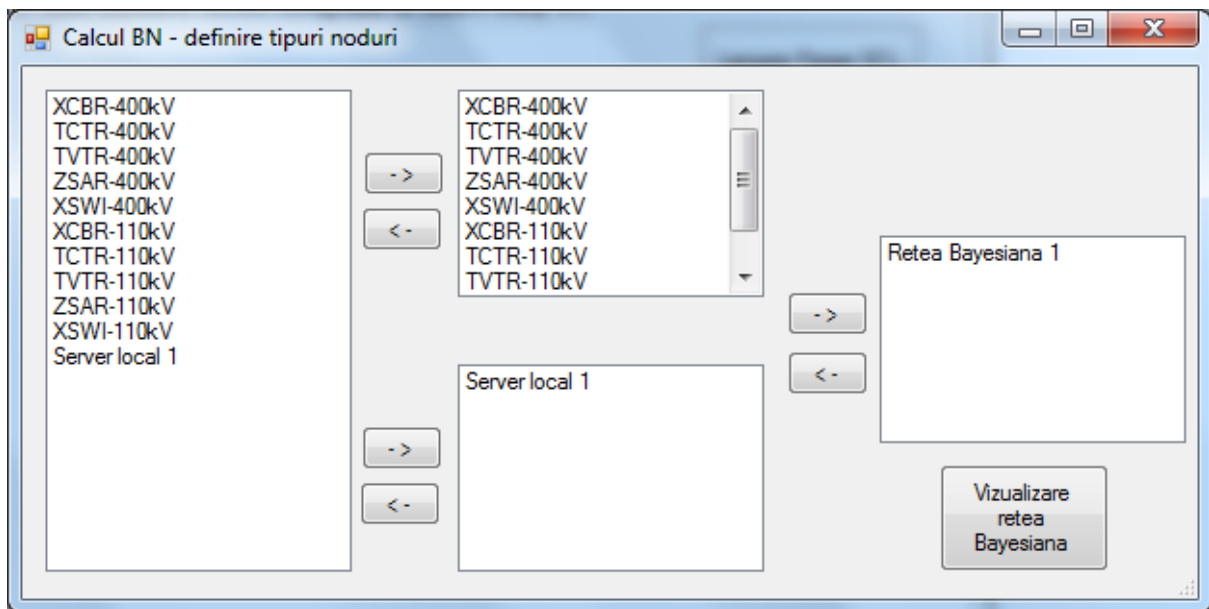


Fig. 7.2.4. Definirea tipurilor de noduri pentru rețeaua Bayesiană.

După definirea tipurilor de noduri, se pot vizualiza separat aceste informații într-o nouă fereastră:

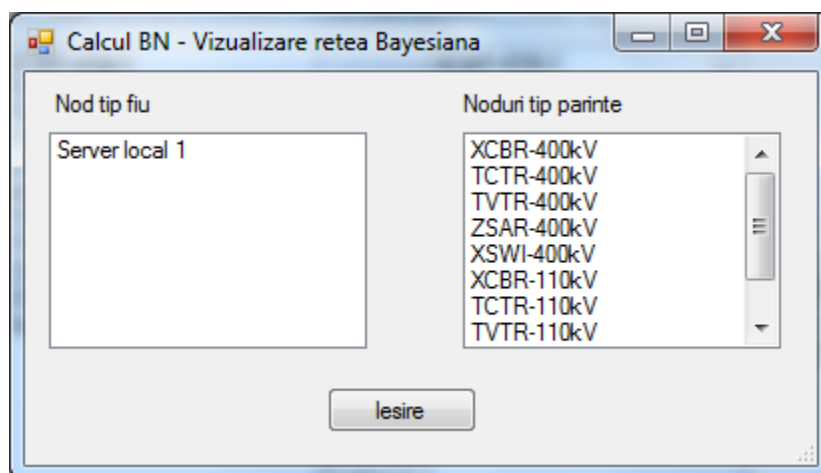


Fig. 7.2.5. Vizualizare noduri rețea Bayesiană și tipul lor

4. Pentru calculul fiabilității fiecărui IED, se încarcă informații privind numărul de defecte constatate de-a lungul perioadei de testare (rata de defectare), pentru fiecare nod al rețelei Bayesiane – IED_1, \dots, IED_n .

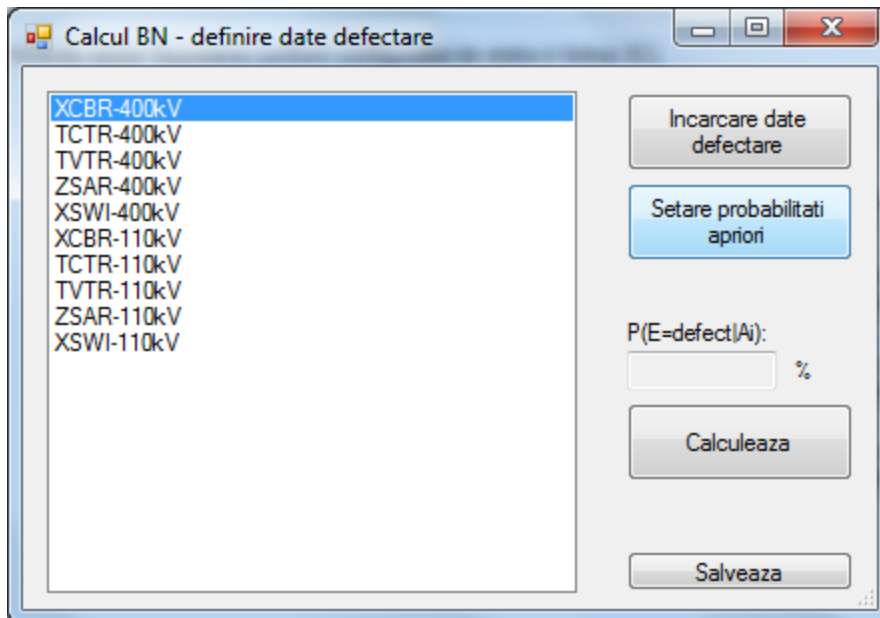


Fig. 7.2.6. Fereastra de încărcare a datelor de defectare pentru IED-uri.

În situația în care nu sunt disponibile date privind defectele înregistrate pentru un anumit IED, se poate seta manual probabilitatea a priori de defectare.

- După ce au fost completate toate informațiile prezentate anterior, aplicația calculează probabilitatea de defectare a sistemului de monitorizare și control precum și probabilitatea de defectare a fiecărui IED dar și a subsistemelor (în cazul în care au fost definite). În studiul de caz, aceste subsisteme sunt reprezentate de serverele locale din cabinele de rele.

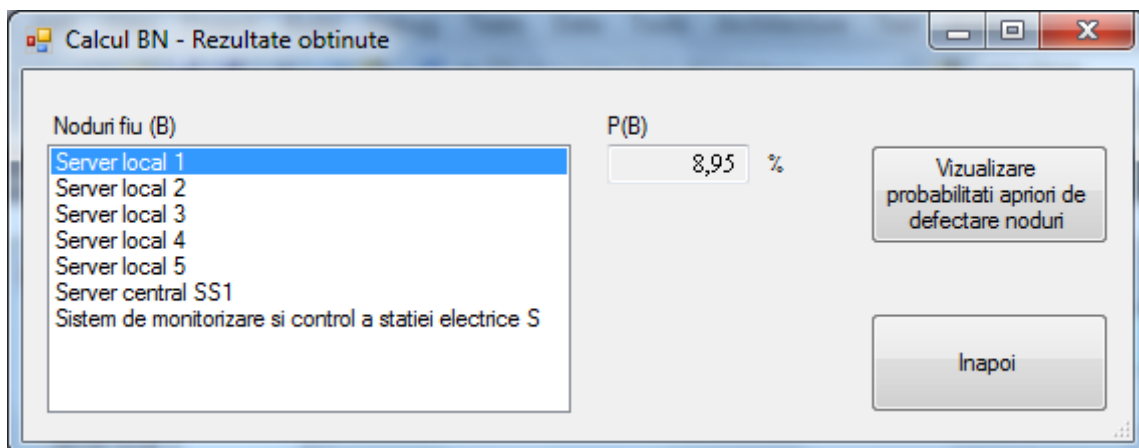


Fig. 7.2.7. Fereastra de afișare a rezultatelor finale

7.3. Rezultate obținute

Pentru estimarea fiabilității unui sistem de monitorizare și control utilizând metoda rețelelor Bayesiene, a fost folosită o configurație de stație de transformare aparținând rețelei de transport a energiei electrice din România, ce include 5 tipuri de IED-uri câte unul pentru fiecare tip de echipament electric primar:

- IED1 pentru întreruptor;
- IED2 pentru separator;
- IED3 pentru descărcător;
- IED4 pentru transformator de măsură de curent/tensiune;
- IED5 pentru transformator de putere/bobină de compensare;

Fișierul ce conține schema completă a stației de 400/110kV folosită pentru calcule în studiul de caz, se regăsește în anexa 2.

Pentru implementarea practică a modelului matematic al rețelei Bayesiene, am făcut calculele pe substația de 110kV care are în componență următoarele IED-uri descrise în fișierul SCL:

- 15 IED-uri de tip IED1 (notate cu A1);
- 44 IED-uri de tip IED2 (notate cu A2);
- 7 IED-uri de tip IED3 (notate cu A3);
- 15 IED-uri de tip IED4 (notate cu A4);

În total în substația de 110kV sunt 81 de IED-uri ce monitorizează echipamentele electrice primare.

Faptul că am luat drept exemplu o parte din toată stația electrică, nu aduce modificări în teoria modelării unei întregi stații electrice, fie că aparține rețelei de distribuție, fie că aparține rețelei de transport, fie că este stație de evacuare sau orice alt tip de stație electrică.

Sunt aceleași categorii de echipamente electrice primare, diferă doar numărul și poziționarea lor în cadrul stației electrice.

În literatura de specialitate [Ban9-7] se folosește următoarea notație pentru calculul probabilității de defectare a unui sistem format din nodurile A_i :

$$P(E = defect) = \sum_{i=1}^n P(A_i) \times P(E = defect | A_i)$$

Evenimentul E este un eveniment oarecare pentru care modelăm rețeaua Bayesiană, în cazul nostru ne interesează probabilitatea de defectare a întreg ansamblului de IED-uri ce

constituie sistemul de monitorizare și control a unei stații electrice. Deci E reprezintă evenimentul de defectare a sistemului.

Pentru calculul probabilității de defectare, trebuie calculată pentru fiecare nod A_i (IED $_i$) probabilitatea de defectare a priori. Aceste probabilități se obțin, colectând date din timpul testării IED-urilor. Acestea conțin informații privind numărul de căderi sau defectări al IED-ului într-o anumită lună.

Numărul de căderi ale IED-urilor repartizate pe cabinele de relee este prezentat în următorul tabel:

Tabel 7.3.1. Număr de căderi pe tipuri de IED-uri pentru fiecare cabină de relee (CR)

Tip IED	CR1	CR2	CR3	CR4	CR5
IED1	2	0	4	0	0
IED2	1	3	12	0	3
IED3	0	1	4	0	0
IED4	0	0	4	0	1

Numărul de defecte prezentat în tabelul 7.3.1. reprezintă informații colectate pe o perioadă de 4 luni de teste cu IED-urile conectate la echipamentele electrice monitorizate, în stația electrică.

S-au calculat probabilitățile de defectare pentru fiecare grup de IED-uri din cabinele de relee, unde acestea sunt conectate la câte un server local. În total sunt 5 astfel de servere locale.

De exemplu, pentru cabina de relee 1, se calculează probabilitatea de defectare a subsistemului de monitorizare și control aferent cabinei de relee 1: **Server local CR1.**

În total sunt 11 IED-uri în cabina de relee 1: 2 IED-uri de tip IED1 (A1), 5 IED-uri de tip IED2 (A2), 2 IED-uri de tip IED3 (A3) și 2 IED-uri de tip IED4 (A4). Utilizând aceste informații, se calculează probabilitățile pentru nodurile de tip IED din cabina de relee 1:

$$P(A1) = 2/11 = 0,18$$

$$P(A2) = 5/11 = 0,46$$

$$P(A3) = 2/11 = 0,18$$

$$P(A4) = 2/11 = 0,18$$

Utilizând informațiile din următorul tabel:

Tabel A4.1. Număr de căderi pentru fiecare IED, în perioada de 4 luni de test în stația electrică

IED1	IED2	IED3	IED4
2 căderi / 2 IED-uri diferite	1 cădere / 1 IED	0 căderi	0 căderi

se calculează probabilitățile de defectare a priori ale IED-urilor din cabina de relee 1.

Pentru IED-urile de tip IED1 din cabina de relee 1, au fost constatate 2 căderi la 2 IED-uri diferite de tip IED1, în perioada de 4 luni.

$$P(E=\text{defect}|A1) = 0,25$$

Pentru IED-urile de tip IED2 din cabina de relee 1, a fost constatată 1 cădere la 1 singur IED din totalul de 5 IED-uri de tip IED2, în perioada de 4 luni.

$$P(E=\text{defect}|A2) = 0,05$$

Pentru IED-urile de tip IED3 din cabina de relee 1, n-a fost constatată nici o cădere în perioada de 4 luni.

$$P(E=\text{defect}|A3) = 0$$

Pentru IED-urile de tip IED4 din cabina de relee 1, n-a fost constatată nici o cădere în perioada de 4 luni.

$$P(E=\text{defect}|A4) = 0$$

Se calculează probabilitatea de defectare a nodului tip server local din cabina de relee 1, notat în continuare CR1, modelat prin rețeaua Bayesiană:

$$P(\text{CR1}) = P(A1) \times P(E=\text{defect}|A1) + P(A2) \times P(E=\text{defect}|A2) + P(A3) \times P(E=\text{defect}|A3) + P(A4) \times P(E=\text{defect}|A4) = 0,25 \times 0,18 + 0,05 \times 0,46 = 0,068$$

Deci, probabilitatea de defectare a subsistemului de monitorizare din cabina de relee 1 este de 6,8%.

Calcululele detaliate se regăsesc în Anexa 4. Rezultatele obținute sunt următoarele:

- probabilitatea de defectare a subsistemului de monitorizare corespunzător cabinei de relee 2, P(CR2) este 5,2%.
- probabilitatea de defectare a subsistemului de monitorizare corespunzător cabinei de relee 3, P(CR3) este 26%.

- probabilitatea de defectare a subsistemului de monitorizare corespunzător cabinei de rele 4, P(CR4) este 0%.
- probabilitatea de defectare a subsistemului de monitorizare corespunzător cabinei de rele 5, P(CR5) este 6,6%.

Pentru calculul probabilității de defectare a nodului de tip server central, notat în continuare SS1, se folosesc probabilitățile de defectare ale serverelor locale CR1, CR2, CR3, CR4 și CR5, calculate anterior.

Se aplică formula lui Bayes pentru calculul probabilității de defectare a nodului SS1:

$$P(E=\text{defect}) = 0,2 \times 0,068 + 0,2 \times 0,052 + 0,2 \times 0,26 + 0,2 \times 0 + 0,2 \times 0,066 = 0,0895$$

Modelând sistemul de monitorizare și control din studiul de caz obținut prin citirea informațiilor din fișierul de configurare a stației electrice în limbajul SCL, prin 5 rețele Bayesiene (aferele cabinelor de rele, formate din noduri de tip IED), se obține pentru acest sistem o **probabilitate de defectare de 8,95%**.

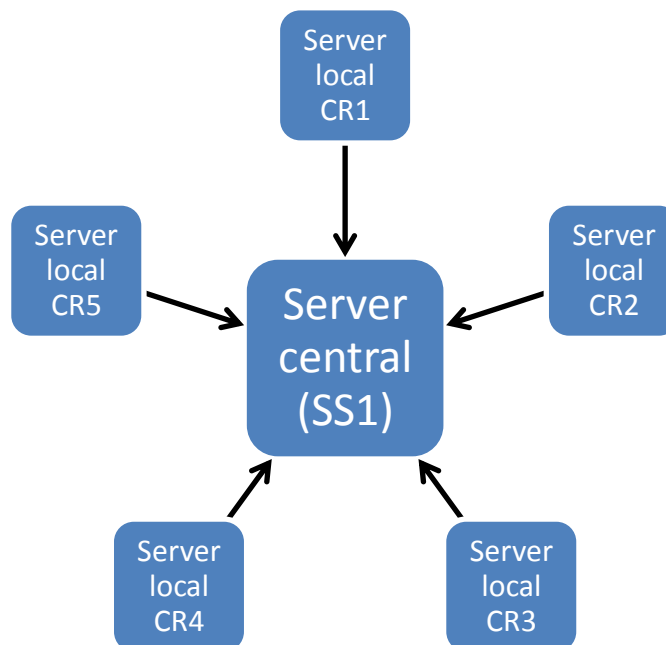


Fig. 7.3.1. Rețeaua Bayesiană pentru serverul central SS1 și serverele locale din cabinetele de rele

Putem completa configurația stației electrice în limbajul SCL conform standardului IEC61850, adăugând noduri de tip server și noduri ce rulează aplicații software.

Astfel vom extinde modelarea prin rețele Bayesiene a sistemului de monitorizare și control, adăugând noduri pentru serverele locale aferente IED5 și pentru calculatorul din camera de comandă ce rulează aplicația tip client de monitorizare și control.

Vom nota cu S (sistem de monitorizare) nodul fiu în această nouă rețea Bayesiană. Acesta este influențat de nodul SS1 (serverul central de BD) a cărei probabilitate de defectare am calculat-o anterior, de două noduri de tip server IED5 (Trafomon Trafo2 – pentru monitorizarea transformatorului de mare putere respectiv Trafomon BC – pentru monitorizarea bobinei de compensare) precum și de nodul ce reprezintă calculatorul din camera de comandă și pe care rulează aplicația tip client. Acesta din urmă va fi notat cu HMI (Human Machine Interface) conform notațiilor utilizate în cadrul standardului IEC61850.

În formula lui Bayes de calcul a probabilității de defectare a nodului S, sunt folosite următoarele informații:

- Probabilitatea de defectare a priori pentru nodul SS1 (calculată anterior), notată $P(E=\text{defect}|SS1)$;
- Probabilitatea de defectare a priori pentru nodul IED5 corespunzător Trafomon-T2, notat $P(E=\text{defect}|A5-T2)$;
- Probabilitatea de defectare a priori pentru nodul IED5 corespunzător Trafomon-BC, notat $P(E=\text{defect}|A5-BC)$;
- Probabilitatea de defectare a priori pentru nodul HMI, notată $P(E=\text{defect}|HMI)$;

Pentru calculatorul client din camera de comandă, notat HMI există următoarele informații din perioada de teste:

Tabel 7.3.2. Tabel număr defecte aplicație software client

Unitate de timp (lună)	Numărul de căderi ale aplicației software client
4 (februarie)	0
5 (martie)	0
6 (aprilie)	0
7 (mai)	0

8 (iunie)	0
9 (iulie)	5
10 (august)	2
11 (septembrie)	0

Astfel, $P(E=\text{defect}|HMI) = 2/8 = 0,25$

Pentru nodul A5 (IED5) aferent Trafomon-T2 nu a existat nici o cădere în timpul celor 4 luni, $P(E=\text{defect}|A5-T2) = 0$.

Similar pentru nodul A5 aferent Trafomon-BC, $P(E=\text{defect}|A5-BC) = 0$.

Pentru nodul SS1 se va folosi rezultatul obținut în urma calculelor anterioare utilizând rețeaua Bayesiană formată din nodurile părinte B1, B2, B3, B4 respectiv B5 corespunzătoare serverelor locale din cabinetele de relee.

Se cunosc probabilitățile pentru nodurile rețelei Bayesiene:

$P(SS1) = 0,5$ deoarece sunt două servere centrale;

$P(A5-T2) = 0,5$ și $P(A5-BC) = 0,5$ deoarece sunt două noduri de tip IED5;

$P(HMI) = 1$;

Se obține: $P(E=\text{defect}) = 0,5 \times 0,0895 + 0,5 \times 0 + 0,5 \times 0 + 1 \times 0,25 = 0,2947$

Probabilitatea de defectare a sistemului de monitorizare și control S, modelat prin rețeaua Bayesiană ce include serverul central de baze de date SS1, cele două servere locale pentru IED-urile de tip IED5 și calculatorul client din camera de comandă, **este de 29,47%.**

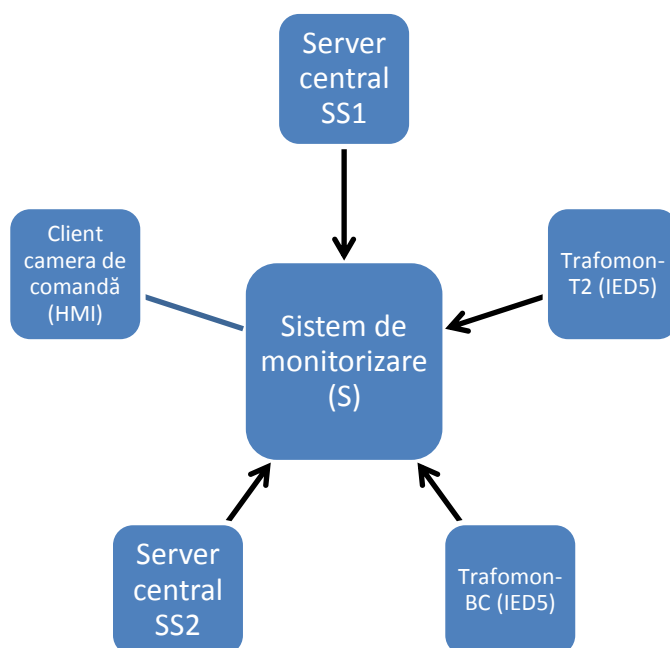


Fig. 7.3.2. Rețeaua Bayesiană pentru serverul central SS1 și serverele locale din cabinetele de rele

Deoarece am avut la dispoziție informații privind căderile IED-urile din substația de 110kV, calculele de mai sus au fost făcute pentru un singur server central de baze de date, aferent substației de 110kV. Pentru serverul central de baze de date aferent substației de 400kV, serverele locale din cabinetele de rele și IED-urile aferente, nu am avut la dispoziție suficiente informații pentru a efectua calculele.

Se poate calcula probabilitatea de defectare a sistemului pornind de la ipoteza că ambele servere au aceeași probabilitate de defectare. Se obține următorul rezultat:

$$P(E=\text{defect}) = 0,5 \times 0,0895 + 0,5 \times 0,0895 + 0,5 \times 0 + 0,5 \times 0 + 1 \times 0,25 = 0,3395$$

În acest caz, probabilitatea de defectare a sistemului de monitorizare și control S este de 33,95%.

7.4. Concluzii

În acest capitol am prezentat aplicația software pe care am dezvoltat-o în scopul evaluării probabilității de defectare, în timpul operării, a unui sistem de monitorizare și control a unei stații electrice, folosind o rețea Bayesiană.

Configurația stației electrice include atât noduri de tip IED cât și noduri de tip echipament electric. Fișierele în format SCL ce descriu configurația stației electrice,

precizează pentru fiecare echipament electric, IED-ul ce monitorizează parametrii acestuia. Întreg ansamblul de IED-uri ce monitorizează echipamentele electrice din stație, alcătuiesc sistemul de monitorizare și control.

Modelarea rețelei Bayesiene include nodurile de tip IED și date privind rata de defectare a acestora în timpul testelor efectuate în stație. Utilizând aceste informații, se poate estima fiabilitatea sistemului.

Am folosit aplicația pentru estimarea probabilității de defectare a sistemului din studiul de caz, folosind datele colectate pe parcursul dezvoltării și exploatării sistemului.

Aplicația este alcătuită din modulul *Parser SCL* și modulul *Calcul BN*. Modulul *Parser SCL* citește fișierele în format SCL și apoi salvează informațiile obținute sub forma unor structuri de date reprezentând IED-urile și echipamentele electrice monitorizate de către acestea. Modulul *Calcul BN* preia aceste date și alcătuiește nodurile unei rețele Bayesiene. Există posibilitatea completării rețelei Bayesiene cu noduri de tip server local, server central sau noduri ce rulează aplicații software.

După ce sunt definite nodurile tip părinte și nodul tip fiu pentru o rețea Bayesiană, se introduc date privind ratele de defectare. În final, sunt efectuate calcule privind probabilitatea de defectare a serverelor locale, a serverului central de baze de date și apoi a întregului sistem de monitorizare și control a stației electrice. Rezultatele pot fi interpretate pentru a estima fiabilitatea sistemului.

8. Concluzii, contribuții proprii și planuri de cercetare pentru viitor

8.1. Concluzii

În cadrul tezei de doctorat am identificat principalele probleme ce afectează fiabilitatea sistemelor de monitorizare și control a stațiilor electrice și am propus soluții de asigurare a calității acestor sisteme.

- ❖ În capitolul 2 am făcut o analiză a aspectelor de calitate software plecând de la un punct de vedere general, particularizând apoi pentru un sistem software de monitorizare și control a unei stații electrice. Astfel, sunt prezentate soluții generale de asigurare a calității software precum: tehnici și metode de prevenire a injectării defectelor, tehnici de eliminare a defectelor și de izolare a acestora. S-a pus accentul pe activitățile de inspecție și testare, utilizarea blocurilor de recuperare, N-version programming, self-checking precum și tehnici mai noi ca reconfigurarea și reîntinerirea.
- ❖ În capitolul 3 au fost prezentate pe scurt câteva sisteme de monitorizare și control, dezvoltate de cele mai reprezentative companii din domeniu, precum și tehnologia Smart Grid. Au fost identificate problemele care pot apărea în dezvoltarea, funcționarea și operarea unui sistem de monitorizare și control a unei stații electrice, precum și efectele acestora.
- ❖ În capitolul 4 am propus soluții concrete pentru asigurarea calității unui sistem de monitorizare și control a unei stații electrice, folosind ca studiu de caz un sistem dezvoltat și instalat într-o stație electrică de transformare din România. Este prezentată arhitectura și funcționalitatea sistemului, denumit EMCSIT (Echipament pentru Monitorizarea Complexă a Stațiilor de Înaltă Tensiune), la a cărui dezvoltare am participat. Sunt descrise soluțiile și exemple de aplicare a acestor soluții pentru asigurarea calității acestui sistem. Pentru îmbunătățirea procesului de testare a aplicațiilor (EMCSIT Server) care primesc date în timp real de la dispozitive tip IED (Intelligent Electronic Device), am dezvoltat un simulator software de IED-uri care generează pachete de date și le trimite pe interfața serială a serverului la care sunt cuplate. Pachetele de date sunt generate ținând cont de domeniile de valori ale mărimilor monitorizate de fiecare tip de IED, aplicând

metoda *Pairwise testing*. În acest fel, se generează mult mai puține cazuri de test față de numărul total al cazurilor care ar rezulta considerând toate combinațiile posibile între valorile de test selectate pentru mărimile monitorizate, însă se pot descoperi aproximativ 70% din erori în timpul testării.

- ❖ În capitolul 5 sunt prezentate aspecte generale privind standardul IEC61850 și utilizarea acestuia în cadrul unei stații electrice. Standardul prevede utilizarea de IED-uri pentru monitorizarea echipamentelor electrice primare. Pentru descrierea configurației unei stații electrice, în cadrul standardului este definit limbajul SCL. Structura generală a unui fișier SCL permite descrierea echipamentelor electrice din cadrul unei stații precum și asocierea IED-urilor destinate monitorizării și controlului acestora.
- ❖ În capitolul 6 am propus utilizarea unor modele matematice pentru estimarea fiabilității sistemelor de monitorizare și control a stațiilor electrice:
 - modelul de distribuție Rayleigh, prin care am făcut aprecieri asupra eficienței procesului de testare a aplicațiilor care achiziționează date în timp real de la dispozitivele de monitorizare (IED) a echipamentelor electrice;
 - modelul matematic al lanțurilor Markov, prin care se poate estima starea curentă a sistemului și timpul de trecere dintr-o stare în alta. Se poate prezice momentul când sistemul va cădea;
 - rețelele Bayesiene, pentru calculul probabilității de defectare a nodurilor rețelei și a întregului sistem de monitorizare și control.
- ❖ Capitolul 7 descrie aplicația software pe care am dezvoltat-o pentru modelarea matematică a unui sistem de monitorizare și control, în scopul estimării fiabilității sale. Aplicația conține modulul *Parser SCL* și modulul *Calcul BN*. Modulul *Parser SCL* citește informațiile din fișierul scris în limbajul SCL și pune la dispoziția modulului de modelare a rețelei Bayesiene (*Calcul BN*), informații reprezentând IED-urile instalate în stație. Aceste IED-uri monitorizează echipamentele electrice primare și sunt componente ale sistemului de monitorizare și control a stației electrice. În implementarea modelului matematic al rețelelor Bayesiene din modulul *Calcul BN*, aceste IED-uri sunt reprezentate ca fiind nodurile rețelei Bayesiene. Legăturile între noduri sunt editabile, existând posibilitatea definirii celor două tipuri de noduri: noduri de tip fiu și noduri de tip părinte.

Configurația stației electrice în limbajul SCL conform standardului IEC61850 poate fi completată, adăugând noduri de tip server și noduri pe care rulează aplicații software. Utilizând informații privind rata de defectare a IED-urilor din studiul de caz (sistemul EMCSIT), am calculat probabilitatea de defectare a serverelor locale, a serverului central precum și a întregului sistem de monitorizare și control a stației electrice. Scopul acestor calcule este estimarea fiabilității sistemului pentru a putea interveni prompt și eficient în cadrul subsistemelor care prezintă o probabilitate de defectare ridicată.

8.2. Contribuții proprii

În continuare, menționez principalele contribuții originale în domeniul tezei de doctorat, care au fost prezentate în diferite capitole ale tezei:

- Am analizat problemele care pot cauza căderi ale unui sistem de monitorizare și control a unei stații electrice și am propus o serie de soluții de asigurare a calității unui astfel de sistem, care pot contribui la creșterea fiabilității sale (capitolele 2 și 3). Aceste soluții presupun:

- Utilizarea unor metode eficiente de testare a aplicațiilor din componența sistemului.

Analiza prezentată în paragraful 6.1, bazată pe date reale culese în timpul procesului de testare, a evidențiat importanța dezvoltării unor simulatoare care să permită testarea înainte de instalarea în mediul real de funcționare, a aplicațiilor care primesc date în timp real de la dispozitivele de tip IED, cuplate la diferite tipuri de echipamente electrice. Astfel de teste permit descoperirea unui număr însemnat de defecte în aceste aplicații, înainte de testarea întregului sistem de monitorizare în mediul real de funcționare (instalat în stație). Efectul financiar poate fi semnificativ: timpul de testare cu întregul sistem de monitorizare instalat în stația electrică (în funcțiune) este limitat și din acest motiv și descoperirea defectelor în această perioadă este redusă.

- Asigurarea securității serverelor, a aplicațiilor software din componența sistemului de monitorizare și control și a transmisiei datelor între diversele componente ale sistemului.
- Implementarea unor tehnici de toleranță la defecte: folosirea blocurilor de recuperare, tehnici de duplicare, tehnici de reconfigurare și reîntinerire.

- Pornind de la analiza efectuată în capitolele 2 și 3, am dezvoltat un simulator de IED-uri care poate fi configurat pentru diferite tipuri de echipamente electrice (cap. 4). Acesta permite testarea automată a aplicațiilor (denumite aplicații server în sistemul studiu de caz) care preiau datele transmise în timp real de dispozitivele tip IED incluse într-un sistem de monitorizare și control a unei stații electrice. În plus, simulatorul permite efectuarea de teste pentru cazurile în care mai multe IED-uri sunt cuplate la aceeași aplicație, utilizând protocolul Daisy-Chain. Astfel de teste sunt extrem de dificil de realizat în absența unui astfel de simulator, deoarece nu sunt disponibile fizic, în timp util, un număr mare de IED-uri pentru conectarea la aplicațiile server. Pachetele de date transmise de simulator au fost generate prin metoda *Pairwise testing*, o metodă de testare „black-box” foarte eficientă, care poate conduce la descoperirea a aproximativ 70% din defectele existente într-un software, prin utilizarea unui număr relativ redus de cazuri de test. Deoarece testarea este automată, consumă un timp redus și nu necesită intervenția tester-ului pe parcursul testării.
- Am analizat, folosind modelul Rayleigh, eficiența eliminării defectelor pe parcursul dezvoltării și testării unor componente dintr-un sistem de monitorizare și control a unei stații electrice (paragraful 6.1.). Analiza a evidențiat importanța eliminării unui număr cât mai mare de defecte înainte de testarea în condiții reale de exploatare. Un exemplu de rezultate obținute în urma calculelor matematice pentru modelul Rayleigh folosit pentru evaluarea procesului de proiectare, dezvoltare și testare în stație a aplicațiilor server din componența sistemului studiu de caz este prezentat în anexa 3.
- Am propus modelarea unui sistem de monitorizare și control printr-un lanț Markov care presupune existența a 4 stări ale sistemului: stare bună, stare acceptabilă, stare proastă și stare inacceptabilă. S-a propus o metodă de a estima starea curentă a sistemului prin încadrarea într-una din cele 4 stări propuse, utilizând drept variabilă aleatoare „numărul de pachete de date ratate la intervalul fixat de achiziție de către sistem”. Este descrisă metoda de calcul a FPT (first passage times) – timpii de tranziție între stări – care ajută la predicția momentului de timp când un sistem poate ajunge într-o stare viitoare. Modelul propus, cu 4 stări ale sistemului (în loc de două, cf. [Ban9-4]) permite predicția momentului când sistemul poate ajunge într-o stare anterioară celei inacceptabile sau chiar în starea inacceptabilă, astfel încât să se poată interveni cât mai rapid pentru

remediarea defectelor. Implementarea acestui model poate preveni situații grave generate de funcționarea inacceptabilă sau chiar nefuncționarea sistemului. Propagarea acestor situații poate duce chiar la un dezechilibru energetic pe o anumită zonă din rețeaua energetică de transport sau distribuție ceea ce afectează direct consumatorii finali casnici și industriali [Urs8-20].

- În scopul estimării probabilității de apariție a defectelor în timpul operării sistemului, am propus utilizarea unei rețele Bayesiene (paragraful 6.3.). Am propus modelarea sistemelor de monitorizare și control definite conform standardului IEC61850 (anexa 2), printr-o astfel de rețea (paragraful 6.3.2.). De asemenea, am modelat printr-o rețea Bayesiană sistemul de monitorizare și control prezentat ca studiu de caz în capitolul 4 (paragraful 6.3.3. și anexa 4) [Urs8-6].
- Am descris configurația unei stații electrice reale, conform standardului IEC61850 (limbajul SCL). Această configurație include echipamentele electrice primare din stație și IED-urile asociate ce alcătuiesc sistemul de monitorizare și control a stației electrice. În anexa 2, este descrisă configurația unei stații electrice de transformare aparținând rețelei electrice naționale de transport a energiei electrice (RET), sub forma unui fișier scris în limbajul SCL.
- Am dezvoltat o aplicație software (capitolul 7) care:
 - Preia dintr-un fișier în format SCL configurația unui sistem de monitorizare și control a unei stații electrice.
 - Permite adăugarea de noi noduri definite de utilizator: noduri de tip calculator Server-local, noduri de tip calculator Client, noduri de tip Server de baze de date, etc.
 - Generează rețeaua Bayesiană prin definirea nodurilor de tipul părinte și a nodurilor de tip fiu din configurația sistemului de monitorizare și control;
 - Permite adăugarea de informații pentru nodurile de tip părinte: numărul de defecte/căderi pe o anumită perioadă de timp sau probabilitatea a priori de defectare a nodului;
 - Estimează probabilitatea de defectare a sistemului;
 - Estimează probabilitatea de defectare (a posteriori) a fiecărui nod al rețelei;

- În paragraful 7.3 sunt redate sintetic rezultatele obținute prin modelarea printr-o rețea Bayesiană și estimarea probabilității de defectare a sistemului din studiul de caz, folosind aplicația. Modelarea și estimarea detaliată sunt prezentate în anexa 4.

8.3. Planuri de cercetare pentru viitor

În viitor voi încerca să studiez și să aprofundez următoarele aspecte:

- Utilizarea practică a metodei N-version programming în dezvoltarea ulterioară a unor astfel de sisteme software.
- Simulatorul de IED-uri poate fi dezvoltat în continuare pentru a fi compatibil și cu alte protocoale de comunicație și tipuri de IED-uri.
- Implementarea posibilității de vizualizare grafică a unei rețele Bayesiene.
- Completarea aplicației de calcul a fiabilității sistemului cu un modul de calcul a unor metrici software relevante, pentru componentele software ale sistemului.
- Completarea modelului rețelei Bayesiene prin includerea în calcule a unor echipamente electrice care nu sunt monitorizate, deci nu au IED atașat dar prin defectarea lor mecanică/electrică pot afecta funcționarea sistemului de monitorizare și control a stației electrice.
- Implementarea modelului matematic pentru predicția timpilor de defectare bazat pe lanțul Markov, propus în paragraful 6.2;

Lista lucrărilor autorului

Am publicat un articol în buletinul științific UPB și un capitol dintr-un volum tipărit:

[Urs8-1] **V. Ursianu**, E. Ursianu, R. Ursianu, “Regression model approach through proper roots”, Scientific Bulletin UPB. Series A. Applied Mathematics and Physics Vol. 72/2010, Iss.4/33.

[Urs8-2] **V. Ursianu**, M. Iliescu, “Statistică Aplicată în Inginerie - aspecte teoretice”, Ed. Bren.

Am publicat 18 articole la conferințe naționale și internaționale din care câteva cotate ISI:

[Urs8-3] C. Moldoveanu, V. Brezoianu, A. Vasile, **V. Ursianu**, F. Goni, C. Radu, I. Ionița, M. Avramescu, S. Zaharescu, B. Toader: “Intelligent electronic system for continuous monitoring and diagnostic of high voltage substations”, CMDM2011 International Conference on Condition Monitoring, Diagnosis and Maintenance, 19-23 septembrie 2011, București.

[Urs8-4] C. Moldoveanu, **V. Ursianu**, M. Avramescu, I. Ionița, F. Goni, E. Mihalcea, M. Nestor, C. Diaconu, I.D. Hațegan: “Expert systems for condition assessment of power transformers”, CMDM2011 International Conference on Condition Monitoring, Diagnosis and Maintenance, 19-23 septembrie 2011, București.

[Urs8-5] **V. Ursianu**, Fl. Moldoveanu, R. Ursianu, E. Ursianu: “Software quality assurance for monitoring and control systems in the energy field”, CSCS18 International Conference on Control Systems and Computer Science, 24-27 mai 2011, București.

[Urs8-6] **V. Ursianu**, R. Ursianu, E. Ursianu: “Bayesian Networks to predict Software Quality”, SPSR14 Conferința Societății de Probabilități și Statistică din România, 29-30 aprilie 2011, București.

[Urs8-7] C. Moldoveanu, V. Brezoianu, A. Vasile, **V. Ursianu**, M. Avramescu: “NOVA QA - echipament inteligent pentru măsurarea în clasa A și monitorizarea on-line a calității energiei electrice”, Conferința Rețele Electrice Inteligente Smart Grids, 2-3 noiembrie 2010, Bran.

[Urs8-8] C. Moldoveanu, V. Brezoianu, A. Vasile, **V. Ursianu**, F. Goni, C. Radu, I. Ionița: “Intelligent System for the On-Line Real Time Monitoring of High Voltage Substations” IEEE ISGT2010 Innovative Smart Grid Conference, Goteborg (**cotată ISI**).

[Urs8-9] C. Moldoveanu, V. Brezoianu, A. Vasile, **V. Ursianu**, M. Avramescu: „NOVA QA - echipament inteligent pentru măsurarea în clasa A și monitorizarea on-line a calității energiei electrice”, REI Rețele Electrice Inteligente 2010, 21-23 septembrie 2010, Sibiu.

[Urs8-10] C. Moldoveanu, V. Brezoianu, A. Vasile, **V. Ursianu**, E. Mihalcea, F. Goni, C. Radu, I. Ionița, S. Zaharescu: „EMCSIT - sisteme inteligente pentru monitorizarea on-line a stațiilor electrice de înaltă tensiune”, REI Rețele Electrice Inteligente 2010, 21-23 septembrie 2010, Sibiu.

[Urs8-11] C. Moldoveanu, **V. Ursianu**, V. Brezoianu, A. Vasile, I. Ionița, S. Gal, C. Diaconu, V. Zaharescu, T. Fagarasan, M. Oltean, G. Moraru: “Solutions for life management and maintenance optimization for large power transformers”, CMD International Conference on Condition Monitoring and Diagnosis 2010, Tokyo (**cotată ISI**).

[Urs8-12] E. Ursianu, R. Ursianu, **V. Ursianu**: “Model Rayleigh generalizat cu aplicații”, SPSR13 Conferința Societății de Probabilități și Statistică din România, 16 aprilie 2010, București.

[Urs8-13] C. Moldoveanu, V. Brezoianu, **V. Ursianu**, A. Vasile, S. Grigorescu, S. Gal: “EMCSIT System for on-line monitoring of electrical stations: Part I: On-line monitoring of power transformers and shunt reactors”, CNEI 2009, 5-6 noiembrie 2009, Buzău.

[Urs8-14] C. Moldoveanu, V. Brezoianu, **V. Ursianu**, A. Vasile, S. Grigorescu, S. Gal: “NOVA-QX - complex power quality monitoring system”, CNEI Conferința Națională de Industrie Energetică 2009, 5-6 noiembrie 2009, Buzău.

[Urs8-15] C. Moldoveanu, O. Tutuianu, **V. Ursianu**, A. Vasile: “Abordarea sistemică a gestiunii deșeurilor în sectorul distribuției energiei electrice”, SNOSE 2009, 28-30 octombrie 2009, Buzău.

[Urs8-16] C. Moldoveanu, **V. Ursianu**, A. Vasile, O. Tutuianu: “Aplicație informatică de evidență și gestiune a deșeurilor în sectorul distribuției energiei electrice”, CNEE 2009, 21-23 octombrie 2009, Sinaia.

[Urs8-17] **V. Ursianu**, R. Ursianu, E. Ursianu: “Models for Determining the Quality of an Electrical Equipment”, CSCS17 International Conference on Control Systems and Computer Science 2009, București.

[Urs8-18] **V. Ursianu**, R. Ursianu, E. Ursianu: ”Mathematical Model for Deterioration Process of an Electrical Station with Multiple Components”, MACMESE 2008, WSEAS Conference, București (**cotată ISI**).

[Urs8-19] C. Moldoveanu, V. Brezoianu, **V. Ursianu**, A. Vasile: “Sistem pentru monitorizarea parametrilor de calitate ai energiei electrice”, International Seminar CIGRE SC 2008, Baia Mare.

[Urs8-20] C. Moldoveanu, R. Ursianu, E. Ursianu, E. Mihalcea, M. Nestor, F. Goni, L. Goia, P. Curiac, **V. Ursianu**: “Determine the optimal moments for investigating technical state of primary equipments for the purpose of assuring the safety levels imputed by the National Company Transelectrica – România”, CMD2008 International Conference on Condition Monitoring and Diagnosis, Beijing (**cotată ISI**).

Bibliografie

Calitate software

- [Swq9-1] “Software Quality Engineering”, J. Tian,
<http://lyle.smu.edu/~tian/SQEbook/slides2/16.pdf>
- [Swq9-2]”Software System Defect Content Prediction From Development Process And Product Characteristics”, Allen Peter Nikora. PhD Dissertation Thesis.
- [Swq9-3] Software Fault Tolerance, Carnegie Mellon University
http://www.ece.cmu.edu/~koopman/des_s99/sw_fault_tolerance/
- [Swq9-4] “A survey of software fault tolerance techniques”, Z. Xie, H. Sun, K. Saluja.
- [Swq9-5] “Software testing and Quality assurance”, K. Naik, P. Tripathy. Ed. Wiley.
- [Swq9-6]”Curs avansat de Ingineria Programelor – Asigurarea calității software”, Fl. Moldoveanu.
- [Swq9-7] “Methodology of N-version programming”, A. Avizienis, Ed. Wiley.
- [Swq9-8] “Metrics and Models în Software Quality Engineering”, S. Khan, Ed. Wiley.
- [Swq9-9] “Recovery blocks in action: A system supporting high reliability”, T. Anderson, R. Kerr.
- [Swq9-10] “Program result-checking: A theory of testing meets a test of theory”, M. Blum, H. Wasserman.
- [Swq9-11] “Designing programs that check their work”, M. Blum, S. Kannan.
- [Swq9-12] “Predicting dependability by testing”, D. Hamlet.
- [Swq9-13] Curs Sisteme distribuite – Toleranta la defecte, D. Petcu.
- [Swq9-14] Standardul SR ISO 8402:1995.
- [Swq9-15] „Function Point Software Sizing”, A. DeMarco.
- [Swq9-16] Function Point
http://en.wikipedia.org/wiki/Function_point

Smart Grid

- [Smg9-1] “NOVA EMCSIT – Sistem complex de monitorizare on-line a unei stații electrice”, C. Moldoveanu, V. Ursianu, A. Vasile, V. Brezoianu.
- [Smg9-2] “Sisteme de timp-real”, T. Letea, Ed. Albastra.
- [Smg9-3] GE website

http://gepower.com/prod_serv/products/substation_md/en/monitoring_instr_sys/faraday_ism_d.htm

[Smg9-4] ABB website

<http://www.abb.com/product/db0003db004281/c12573e700330419c225697300337dbc.aspx>

[Smg9-5] AREVA website

http://www.aveva-td.com/solutions/liblocal/docs/SBUS_ENT_C20_global.pdf

[Smg9-6] Siemens website

<http://www.energy.siemens.com/hq/pool/hq/services/power-transmission-distribution/asset-services/iscm-manager-6seiter-final.pdf>

[Smg9-7] Smart Grid wikipedia

http://en.wikipedia.org/wiki/Smart_grid

[Smg9-8] “Contoare inteligente și Rețele Energetice Inteligente”, M. Sanduleac, A. Pop, R. Strutu.

[Smg9-9] The National Institute of Standards and Technology (NIST) Smart Grid Conceptual model

<http://smartgrid.ieee.org/ieee-smart-grid/smart-grid-conceptual-model>

[Smg9-10] “Arhitecturi de rețele inteligente”, D. Federenciu, I. Silvas, P. Postolache.

[Smg9-11] “Echipamente electrice”, L. Popescu.

[Smg9-12] “Este standardul IEC 61850 întotdeauna garantul unor performante ridicate?”, S. Gadola, D. Dumitrascu, R. Scarlat.

[Smg9-13] Laborator Instrumentație Virtuală, UPB,

http://www.vlab.pub.ro/courses/smart_grids/

Rețele de calculatoare

[Net9-1] IPv6 website

<http://ro.wikipedia.org/wiki/IPv6>

[Net9-2] ArenaIT

<http://www.arenait.net/2007/03/12/tot-ce-trebuie-sa-stiti-despre-ipv6.html>

[Net9-3] “Rețele locale de calculatoare. Proiectare și administrare”, A. Munteanu.

IEC61850

[Iec9-1] “Standardizarea web-ului energetic”, M. Sanduleac, R. Pop, A. Pop, D. Simhas.

[Iec9-2] Neteon website

http://www.neteon.net/PDFFiles/Goose_Generic-Object-Oriented-Substation-Event.pdf

[Iec9-3] “IEC 61850 Power Industry Communications Standard”, B. Lydon.

[Iec9-4] “Understanding and Simulating the IEC 61850 Standard”, Y. Liang, R. Campbell.

[Iec9-5] “Systems Integration Specialists Company”, IEC61850 evaluation kit CD-ROM Software

<http://www.nettedautomation.com/solutions/uca/evalkit/index.html>

[Iec9-6] “Understanding and using the IEC61850: a case for meta-modelling“, T. Kostic, O. Preiss, C. Frei.

[Iec9-7] "Real Time Simulation Testing Using IEC 61850", M. Desjardine and others.

[Iec9-8] “Design of IEC61850 based Substation Automation Systems according to Customer Requirements”, K.P. Brand, C. Brunner, W.Wimmer.

[Iec9-9] “IEC 61850 Object Model and Configuration Language”, C. Brunner.

[Iec9-10] “Analysis and Implementation of the IEC 61850 standard”, E. Hammer, E. Sivertsen.

[Iec9-11] Visual SCL, Applied Systems Engineering website

<http://www.ase-systems.com/iec-61850/visual-scl.asp>

Metrici software

[Swm9-1] “Metrici de complexitate software bazate pe dependentele instructiunilor”, I. Ivan, A. Karadimou, A. Licuriceanu, G. Lupu.

[Swm9-2] “Maintainability Index Revisited”, T. Kuipers, J. Visser.

[Swm9-3] Microsoft MSDN website

<http://blogs.msdn.com/b/codeanalysis>

[Swm9-4] “Software Metrics”, Fl. Moldoveanu.

[Swm9-5] “Compendium of Software Quality Standards and Metrics – Version 1.0”, R. Lincke, W. Lowe.

[Swm9-6] Microsoft MSDN website

<http://blogs.msdn.com/b/codeanalysis/archive/2007/10/03/new-for-visual-studio-2008-code-metrics.aspx>

Rețele Bayesiene și modele matematice

[Ban9-1] Webopedia website

http://www.webopedia.com/TERM/S/software_entropy.html

[Ban9-2] Curs SPTR (Sisteme de Programe de Timp Real), Adina Florea.

- [Ban9-3] Curs IA (Inteligenta Artificiala), ASE București.
- [Ban9-4] “Event-based Failure Prediction. An Extended Hidden Markov Model Approach”, F. Salfner. PhD Dissertation Thesis.
- [Ban9-5] Math 115, Calculus II with Probability&Metrics, J. Guffin.
<http://www.math.upenn.edu/~guffin/teaching/spring11/index.html>
- [Ban9-6] “Predict and approximate software quality with Bayesian Networks and Quality Factors”, H. Motameni, H. Kamfar, A. Khanteimori.
- [Ban9-7] “Teoria deciziilor statistică”, V. Preda. Ed. Academiei Romane.
- [Ban9-8] "Software Project and Quality Modelling Using Bayesian Networks", N. Fenton, etc.
- [Ban9-9] "Predicting Software Defects in Varying Development Lifecycles using Bayesian Nets", N. Fenton, etc.
- [Ban9-10] Curs Inteligenta Artificiala, C. Bodea.
- [Ban9-11] “Evaluating Software Degradation through Entropy”, A. Bianchi, D. Caivano, F. Lanubile, G. Visaggio.
- [Ban9-12] “Dicționar explicativ de statistică”, V. Clocotici.
<http://profs.info.uaic.ro/~val/statistica/StatGloss.htm>

Fiabilitate

- [Rel9-1]“Fiabilitatea în arhitectură calculatoarelor”, M. Budiu.
- [Rel9-2] “Dependable computing: From concepts to design diversity“, A. Avizienis, J.-C. Laprie.

Anexe

Anexa 1. Exemplu de configurare a unei stații electrice în limbajul SCL

Structura tipică a unui fișier scris în limbajul SCL este următoarea:

<informații generice XML>

<informații generice SCL>

<header>

<history>

Informații opționale privind istoricul stației

</history>

</header>

<Substation>

<PowerTransformer>

Informații tehnice privind auto/transformatorul de putere

</PowerTransformer>

<VoltageLevel>

<Bay>

Informații privind celulele electrice

<ConductingEquipment>

Informații tehnice privind fiecare echipament electric primar aparținând de celula electrică și substația aferentă nivelului de tensiune descris

</ConductingEquipment>

<ConductingEquipment>

...

</ConductingEquipment>

</Bay>

<Bay>

Informații privind celulele electrice

<ConductingEquipment>

...

</ConductingEquipment>

<ConductingEquipment>

...

</ConductingEquipment>

</Bay>

<LNode>

Informații privind alte echipamente electrice primare sau secundare, noduri tip calculator, noduri tip HMI, noduri ce pot fi particularizate în funcție de situație, etc.

</LNode>

...

<LNode>

</LNode>

...

</VoltageLevel>

<IED>Informații privind IED-urile asociate nodurilor logice-echipamentelor electrice

</IED>

...

<IED>

</IED>

...

</Substation>

Se utilizează următoarele notații:

- Substation = stația electrică;
- PowerTransformer = auto/transformator de putere;
- VoltageLevel = nivelul de tensiune al substației electrice aparținând stației electrice;
- Bay = celula electrică ce aparține de substația corespunzătoare nivelului de tensiune descris de 'VoltageLevel';

ConductingEquipment = Informații tehnice privind fiecare echipament electric primar împărțite în următoarele categorii:

- CBR = întreruptor;
- DIS = separator;
- CTR = transformator de măsură de curent;
- VTR = transformator de măsură de tensiune;
- SAR = descărcător;
- RRC = bobina de compensare;
- IED = intelligent electronic device, dispozitivul hardware ce monitorizează și/sau controlează un echipament electric. Pe acest IED rulează software tip embedded.

Pașii modelării stației electrice sunt următorii:

1. Sunt adăugate informații privind stația electrică, nivelul de tensiune;
2. Se completează modelul cu auto/transformatorul de putere, componenta cea mai importantă a stației electrice;
3. Pentru fiecare nivel de tensiune - substație electrică se vor adăuga echipamentele electrice;
4. Se adaugă IED-urile și se fac legăturile cu echipamentele electrice;

Stația electrică în funcție de nivelul de tensiune de intrare și nivelul tensiunii de ieșire, este împărțită în două substații.

Fiecare substație este descrisă în cadrul secțiunii <VoltageLevel>. Ea conține minim două celule electrice. Fiecare celulă electrică are minim un întreruptor și două separatoare. În funcție de specificul stației, o celulă electrică mai poate conține un transformator de măsură de curent, un transformator de măsură de tensiune și/sau un descărcător.

În cazul celulei electrice pentru transformatorul de mare putere, cu siguranță aceasta va include minim un descărcător, mai multe separatoare (pentru conexiunile la barele din stație), transformator de măsură de curent și transformator de măsură de tensiune.

Chiar dacă se dorește implementarea unui sistem de monitorizare și control complet al unei stații electrice, există posibilitatea ca unele echipamente electrice să nu poată fi monitorizate.

Acest fapt se datorează tipului de echipament electric și/sau imposibilității conectării unor senzori sau traductori pentru achiziția de semnale de la acesta.

O structură simplă de stație electrică este reprezentată în limbajul SCL astfel:

```
<?xml version="1.0" encoding="utf-8"?>
<SCL xmlns:xsd="http://www.w3.org/2001/XMLSchema"
xmlns:xsi="http://www.w3.org/2001/XMLSchema-instance"
xmlns="http://www.iec.ch/61850/2003/SCL">
<Header toolID="Visual SCL" nameStructure="FuncName">
<History />
</Header>
<Substation name="Stația Dârste 400/110kV">
<PowerTransformer name="Trafo2">
<TransformerWinding name="W1" />
<TransformerWinding name="W2" />
<TransformerWinding name="W3" />
</PowerTransformer>
<VoltageLevel sxy:x="10" sxy:y="10" name="400kV"
xmlns:sxy="http://www.iec.ch/61850/2003/SCLcoordinates">
<ConductingEquipment name="CBR1" type="CBR" iedName="IED1"/>
<ConductingEquipment name="DIS1" type="DIS" iedName="IED2"/>
<ConductingEquipment name="CTR1" type="CTR" iedName="IED3"/>
<ConductingEquipment name="VTR1" type="VTR" iedName="IED4"/>
<ConductingEquipment name="SAR1" type="SAR" iedName="IED5"/>
</VoltageLevel>
<VoltageLevel sxy:x="406" sxy:y="10" name="110kV"
xmlns:sxy="http://www.iec.ch/61850/2003/SCLcoordinates">
<ConductingEquipment name="CBR2" type="CBR" iedName="IED6"/>
<ConductingEquipment name="DIS2" type="DIS" iedName="IED7"/>
<ConductingEquipment name="CTR2" type="CTR" iedName="IED8"/>
<ConductingEquipment name="VTR2" type="VTR" iedName="IED9"/>
<ConductingEquipment name="SAR2" type="SAR" iedName="IED10"/>
</VoltageLevel>
</Substation>
<IED name="IED1" desc="" type="" manufacturer="" configVersion="" />
<IED name="IED2" desc="" type="" manufacturer="" configVersion="" />
```

```

<IED name="IED3" desc="" type="" manufacturer="" configVersion="" />
<IED name="IED4" desc="" type="" manufacturer="" configVersion="" />
<IED name="IED5" desc="" type="" manufacturer="" configVersion="" />
<IED name="IED6" desc="" type="" manufacturer="" configVersion="" />
<IED name="IED7" desc="" type="" manufacturer="" configVersion="" />
<IED name="IED8" desc="" type="" manufacturer="" configVersion="" />
<IED name="IED9" desc="" type="" manufacturer="" configVersion="" />
<IED name="IED10" desc="" type="" manufacturer="" configVersion="" />
<LNode lnInst="1" lnClass="IHMI" />
<LNode lnInst="ServerLocal" />
</SCL>

```

Nodurile de tip IHMI sunt noduri predefinite și înseamnă Human Machine Interface ce ar fi echivalentul la un terminal (PC) client pe care se afișează parametrii electrici monitorizați cu ajutorul IED-urilor. Pe acest IHMI rulează un modul software de tip aplicație client. Acest nod poate reprezenta calculatorul din camera de comandă pe care rulează aplicația software tip client, de monitorizare și control a stației electrice.

Există posibilitatea adăugării de noduri definite de utilizator, cum ar fi nodul de tip “ServerLocal” ce intră în categoria User Extension. În această categorie pot intra serverele locale sau serverul central de baze de date.

În varianta complexă, un fișier în format SCL conține mai multe secțiuni de tip <VoltageLevel> ce corespund substațiilor electrice. Fiecare astfel de secțiune corespunzătoare unei substații va conține informații privind echipamentele electrice și IED-urile asociate acestora aparținând doar de aceasta.

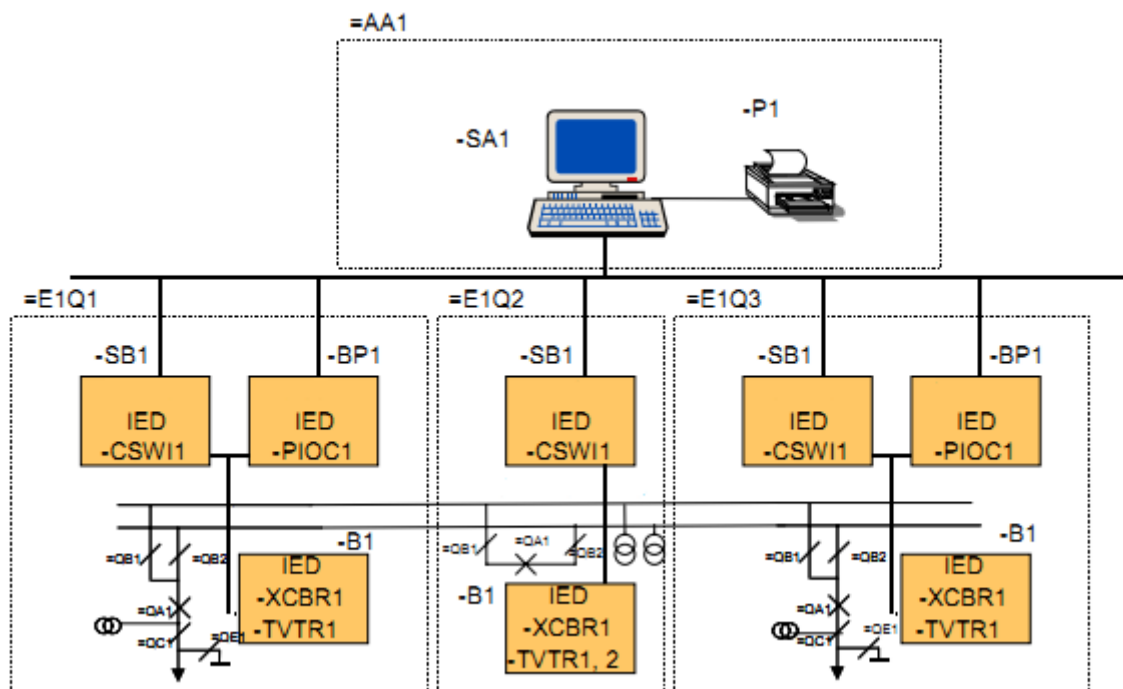


Fig. A1. Exemplu de configurare a unui sistem de monitorizare și control a unei stații electrice conform IEC61850-6

Anexa 2. Modelarea în limbajul SCL a stației electrice studiu de caz

Fișierul cu extensia .SCD scris în limbajul Substation Configuration Language (SCL) și care conține schema stației 400/110kV utilizată în cadrul studiului de caz conține următoarele date:

```
<?xml version="1.0" encoding="utf-8"?>
<SCL xmlns:xsd="http://www.w3.org/2001/XMLSchema" xmlns:
xsi="http://www.w3.org/2001/XMLSchema-instance"
xmlns="http://www.iec.ch/61850/2003/SCL">
<Header toolID="Visual SCL" nameStructure="FuncName">
<History />
</Header>
<Substation name="Stația 400/110kV">
<VoltageLevel sxy:x="-54" sxy:y="51" name="Substația 400kV"
xmlns:sxy="http://www.iec.ch/61850/2003/SCLcoordinates">
<Bay sxy:x="81" sxy:y="107" name="LEA Brașov">
<ConductingEquipment sxy:x="-74" sxy:y="229" name="SB2-bv400" type="DIS"
iedName="EMCSIT-S-1-bv400"/>
<ConductingEquipment sxy:x="-75" sxy:y="64" name="SBTF-bv400" type="DIS"
iedName="EMCSIT-S-2-bv400"/>
<ConductingEquipment sxy:x="-76" sxy:y="-35" name="D-bv400" type="SAR"
iedName="EMCSIT-D-bv400"/>
<ConductingEquipment sxy:x="133" sxy:y="-37" name="TT-bv400" type="VTR"
iedName="EMCSIT-TCTT-bv400"/>
<ConductingEquipment sxy:x="19" sxy:y="20" name="Tc-bv400" type="CTR"
iedName="EMCSIT-TCTT-bv400"/>
<ConductingEquipment sxy:x="22" sxy:y="116" name="SL-bv400" type="DIS"
iedName="EMCSIT-S-3-bv400"/>
<ConductingEquipment sxy:x="22" sxy:y="170" name="I-bv400" type="CBR"
iedName="EMCSIT-I-bv400"/>
<ConductingEquipment sxy:x="134" sxy:y="227" name="SB1-bv400" type="DIS"
iedName="EMCSIT-S-4-bv400"/>
</Bay>
```

```

<VoltageLevel      sxy:x="25"      sxy:y="8"      name="Substația      110kV"
xmlns:sxy="http://www.iec.ch/61850/2003/SCLcoordinates">
<Bay sxy:x="78" sxy:y="810" name="Zizin2">
<ConductingEquipment      sxy:x="6"      sxy:y="23"      name="SL-z2"      type="DIS"
iedName="EMCSIT-S-1-z2"/>
<ConductingEquipment      sxy:x="-34"      sxy:y="175"      name="SB-2-z2"      type="DIS"
iedName="EMCSIT-S-2-z2"/>
<ConductingEquipment      sxy:x="54"      sxy:y="176"      name="SB-1B-z2"      type="DIS"
iedName="EMCSIT-S-3-z2"/>
<ConductingEquipment      sxy:x="76"      sxy:y="-6"      name="TT-z2"      type="VTR"
iedName="EMCSIT-TCTT-z2"/>
<ConductingEquipment      sxy:x="6"      sxy:y="77"      name="TC-z2"      type="CTR"
iedName="EMCSIT-TCTT-z2"/>
<ConductingEquipment      sxy:x="6"      sxy:y="122"      name="I-z2"      type="CBR"
iedName="EMCSIT-I-z2"/>
</Bay>
<Bay sxy:x="1013" sxy:y="807" name="Sacele2">
<ConductingEquipment      sxy:x="125"      sxy:y="-3"      name="TT-sac2"      type="VTR"
iedName="EMCSIT-TCTT-sac2"/>
<ConductingEquipment      sxy:x="58"      sxy:y="28"      name="SL-sac2"      type="DIS"
iedName="EMCSIT-S-1-sac2"/>
<ConductingEquipment      sxy:x="58"      sxy:y="81"      name="TC-sac2"      type="CTR"
iedName="EMCSIT-TCTT-sac2"/>
<ConductingEquipment      sxy:x="58"      sxy:y="126"      name="I-sac2"      type="CBR"
iedName="EMCSIT-I-sac2"/>
<ConductingEquipment      sxy:x="7"      sxy:y="176"      name="SB-2-sac2"      type="DIS"
iedName="EMCSIT-S-2-sac2"/>
<ConductingEquipment      sxy:x="119"      sxy:y="173"      name="SB-1B-sac2"      type="DIS"
iedName="EMCSIT-S-3-sac2"/>
</Bay>
<Bay sxy:x="1780" sxy:y="801" name="Trafo2-110">
<ConductingEquipment      sxy:x="36"      sxy:y="8"      name="TT-T2-110"      type="VTR"
iedName="EMCSIT-TCTT-T2-110"/>

```

```

<ConductingEquipment sxy:x="12" sxy:y="92" name="TC-T2" type="CTR"
iedName="EMCSIT-TCTT-T2-110"/>
<ConductingEquipment sxy:x="11" sxy:y="134" name="I-T2-110" type="CBR"
iedName="EMCSIT-I-T2-110"/>
<ConductingEquipment sxy:x="-30" sxy:y="179" name="SB-2-T2" type="DIS"
iedName="EMCSIT-S-1-T2"/>
<ConductingEquipment sxy:x="47" sxy:y="182" name="SB-1A-T2" type="DIS"
iedName="EMCSIT-S-2-T2"/>
</Bay>
</VoltageLevel>
</Substation>
<IED name="EMCSIT-S-1-bv400" />
<IED name="EMCSIT-S-2-bv400"/>
<IED name="EMCSIT-D-bv400"/>
<IED name="EMCSIT-TCTT-bv400"/>
<IED name="EMCSIT-TCTT-bv400"/>
<IED name="EMCSIT-S-3-bv400"/>
<IED name="EMCSIT-I-bv400"/>
<IED name="EMCSIT-S-4-bv400"/>

<IED name="EMCSIT-TCTT-z2" />
<IED name="EMCSIT-S-1-z2" />
<IED name="EMCSIT-I-z2" />
<IED name="EMCSIT-S-2-z2" />
<IED name="EMCSIT-S-3-z2" />

<IED name="EMCSIT-TCTT-sac2" />
<IED name="EMCSIT-S-1-sac2" />
<IED name="EMCSIT-I-sac2" />
<IED name="EMCSIT-S-2-sac2" />
<IED name="EMCSIT-S-3-sac2" />

<IED name="EMCSIT-TCTT-T2-110" />
<IED name="EMCSIT-S-1-T2-110" />

```

```

<IED name="EMCSIT-I-T2-110" />
<IED name="EMCSIT-S-2-T2-110" />
<IED name="EMCSIT-D-T2" />

```

În selecția prezentată sunt enumerate echipamentele electrice din cadrul stației electrice, grupate în 4 celule electrice.

Prima celulă aparține de substația de 400kV, corespunzătoare secțiunii

```

<VoltageLevel sxy:x="-54" sxy:y="51" name="Substația 400kV"
xmlns:sxy="http://www.iec.ch/61850/2003/SCLcoordinates">.

```

Următoarele trei celule aparțin de substația de 110kV, corespunzătoare secțiunii

```

<VoltageLevel sxy:x="25" sxy:y="8" name="Substația 110kV"
xmlns:sxy="http://www.iec.ch/61850/2003/SCLcoordinates">.

```

Aceste celule sunt grupate în secțiuni delimitate de separatorul <Bay>

În partea finală a fișierului sunt enumerate IED-urile ce monitorizează echipamentele electrice și care alcătuiesc sistemul de monitorizare și control.

Legătura IED-urilor cu echipamentele electrice este făcută în cadrul secțiunii ce descrie echipamentele electrice: <ConductingEquipment> prin completarea atributului „iedName” cu numele IED-ului conectat.

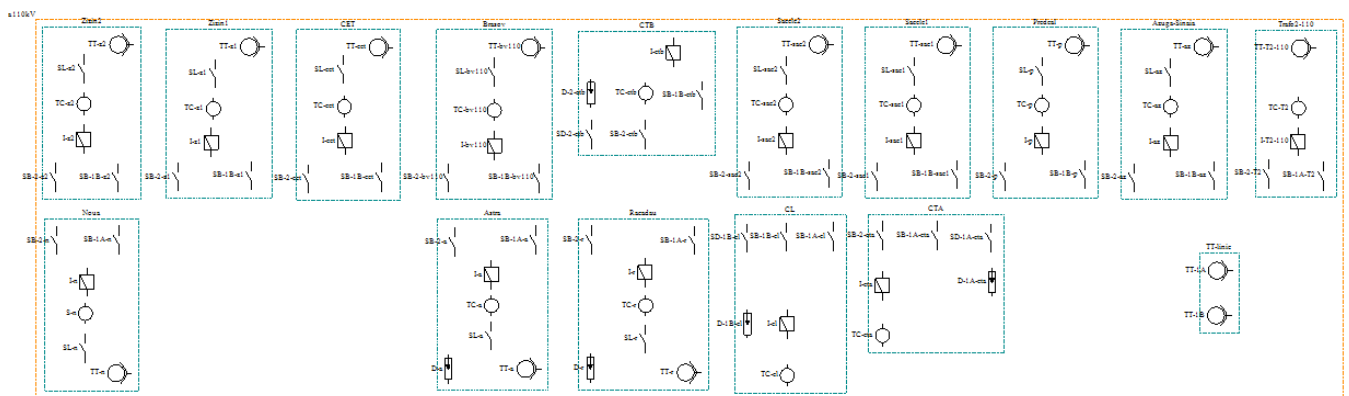


Fig. A2.1. Exemplu de modelare grafică a substației de 110kV studiu de caz

Datele reprezintă o parte din configurația realizată pentru stația electrică din studiul de caz.

Anexa 3. Rezultatele matematice pentru modelul de distribuție Rayleigh

Definirea modelului Rayleigh:

$$Y = x/(\sigma * \sigma) * e^{-(x*x)/(2 * \sigma * \sigma)}$$

unde σ este parametrul de scală al modelului Rayleigh și x este variabila aleatoare.

Numărul de observații = 11

Rezultatele aplicării modelului Rayleigh pentru ratele de defectare corespunzătoare aplicației server pentru IED1

În urma aplicării modelului Rayleigh pe datele de intrare reprezentate de numărul de defecte din perioada de testare a aplicației server pentru IED1, a rezultat că se potrivește cel mai bine curba Rayleigh cu parametrul $\sigma = 3,9894$.

Tabel de valori obținute prin aplicarea modelului Rayleigh

Număr luni	f(x) funcția de densitate de probabilitate
1	0,060889291
2	0,11082536
3	0,142072758
4	0,152034487
5	0,143237539
6	0,121662008
7	0,094347591
8	0,067307579
9	0,044388438
10	0,027151441
11	0,015440567

Rezultatele aplicării modelului Rayleigh pentru ratele de defectare corespunzătoare aplicației server pentru IED2

În urma aplicării modelului Rayleigh pe datele de intrare reprezentate de numărul de defecte din perioada de testare a aplicației server pentru IED2, a rezultat că se potrivește cel mai bine curba Rayleigh cu parametrul $\sigma = 4,5697$

Tabel de valori obținute prin aplicarea modelului Rayleigh

Număr luni	f(x) funcția de densitate de probabilitate
1	0,04675477
2	0,087028165
3	0,115813077
4	0,130588657
5	0,131591305
6	0,121345247
7	0,103701847
8	0,082755712
9	0,061968738
10	0,043687268
11	0,029065308

Rezultatele aplicării modelului Rayleigh pentru ratele de defectare corespunzătoare aplicației server pentru IED3

În urma aplicării modelului Rayleigh pe datele de intrare reprezentate de numărul de defecte din perioada de testare a aplicației server pentru IED3, a rezultat că se potrivește cel mai bine curba Rayleigh cu parametrul $\sigma = 3,4075$

Tabel de valori obținute prin aplicarea modelului Rayleigh

Număr luni	f(x) funcția de densitate de probabilitate
1	0,082494787
2	0,144994393
3	0,175361255
4	0,172965716
5	0,146741907
6	0,109651858
7	0,073086951
8	0,04378298
9	0,02368797
10	0,011613197

11	0,005171392
----	-------------

Rezultatele aplicării modelului Rayleigh pentru ratele de defectare corespunzătoare aplicației server pentru IED4

În urma aplicării modelului Rayleigh pe datele de intrare reprezentate de numărul de defecte din perioada de testare a aplicației server pentru IED4, a rezultat că se potrivește cel mai bine curba Rayleigh cu parametrul $\sigma = 3,4817$

Tabel de valori obținute prin aplicarea modelului Rayleigh

Număr luni	f(x) funcția de densitate de probabilitate
1	0,079159705
2	0,139892605
3	0,170734126
4	0,170556047
5	0,147081792
6	0,112123246
7	0,076519423
8	0,047104955
9	0,026284263
10	0,013338399
11	0,006170503

Rezultatele aplicării modelului Rayleigh pentru ratele de defectare corespunzătoare aplicației server pentru IED5

În urma aplicării modelului Rayleigh pe datele de intrare reprezentate de numărul de defecte din perioada de testare a aplicației server pentru IED5, a rezultat că se potrivește cel mai bine curba Rayleigh cu parametrul $\sigma = 2,6458$

Tabel de valori obținute prin aplicarea modelului Rayleigh

Număr luni	f(x) funcția de densitate de probabilitate
1	0,133004423
2	0,214702154
3	0,225334763

4	0,182233276
5	0,119772927
6	0,065512035
7	0,030200162
8	0,011822323
9	0,003949273
10	0,001129527
11	0,00027725

Anexa 4. Estimarea probabilității de defectare a sistemului de monitorizare și control utilizând rețeaua Bayesiană

Se calculează probabilitatea de defectare a subsistemului de monitorizare și control aferent cabinei de relee 1: **Server local CR1.**

În total sunt 11 IED-uri în cabina de relee 1: 2 IED-uri de tip IED1 (A1), 5 IED-uri de tip IED2 (A2), 2 IED-uri de tip IED3 (A3) și 2 IED-uri de tip IED4 (A4). Utilizând aceste informații, se calculează probabilitățile pentru nodurile de tip IED din cabina de relee 1:

$$P(A1) = 2/11 = 0,18$$

$$P(A2) = 5/11 = 0,46$$

$$P(A3) = 2/11 = 0,18$$

$$P(A4) = 2/11 = 0,18$$

Utilizând informațiile din tabelul A4.1 se calculează probabilitățile de defectare a priori ale IED-urilor din cabina de relee 1.

Tabel A4.1. Număr de căderi pentru fiecare IED, în perioada de 4 luni de test în stația electrică

IED1	IED2	IED3	IED4
2 căderi / 2 IED-uri diferite	1 cădere / 1 IED	0 căderi	0 căderi

Pentru IED-urile de tip IED1 din cabina de relee 1, au fost constatate 2 căderi la 2 IED-uri diferite de tip IED1, în perioada de 4 luni.

$$P(E=defect|A1) = 0,25$$

Pentru IED-urile de tip IED2 din cabina de relee 1, a fost constatată 1 cădere la 1 singur IED din totalul de 5 IED-uri de tip IED2, în perioada de 4 luni.

$$P(E=defect|A2) = 0,05$$

Pentru IED-urile de tip IED3 din cabina de relee 1, n-a fost constatată nici o cădere în perioada de 4 luni.

$$P(E=defect|A3) = 0$$

Pentru IED-urile de tip IED4 din cabina de relee 1, n-a fost constatată nici o cădere în perioada de 4 luni.

$$P(E=defect|A4) = 0$$

Se calculează probabilitatea de defectare a nodului tip server local din cabina de rele 1, notat în continuare CR1, modelat prin rețeaua Bayesiană:

$$P(\text{CR1}) = P(A1) \times P(E=\text{defect}|A1) + P(A2) \times P(E=\text{defect}|A2) + P(A3) \times P(E=\text{defect}|A3) + P(A4) \times P(E=\text{defect}|A4) = 0,25 \times 0,18 + 0,05 \times 0,46 = 0,068$$

Deci, probabilitatea de defectare a subsistemului de monitorizare din cabina de rele 1 este de 6,8%.

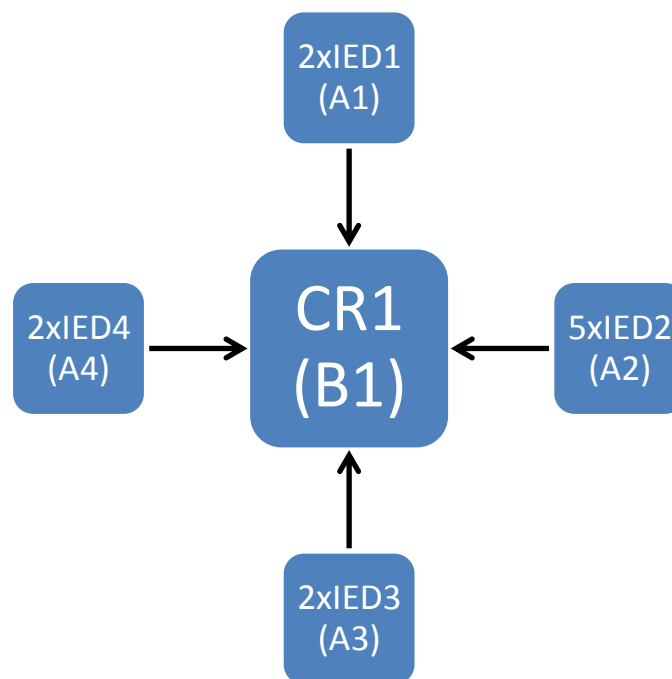


Fig. A3.1. Distribuția IED-urilor pentru cabina de rele CR1 și notația conform rețelei Bayesiene

Se calculează probabilitatea de defectare a subsistemului de monitorizare și control aferent cabinei de rele 2: **Server local CR2.**

În total sunt 16 IED-uri în cabina de rele 2: 3 IED-uri de tip IED1 (A1), 9 IED-uri de tip IED2 (A2), 1 IED de tip IED3 (A3) și 3 IED-uri de tip IED4 (A4). Utilizând aceste informații, se calculează probabilitățile pentru nodurile de tip IED din cabina de rele 2:

$$P(A1) = 3/16 = 0,1875$$

$$P(A2) = 9/16 = 0,5625$$

$$P(A3) = 1/16 = 0,0625$$

$$P(A4) = 3/16 = 0,1875$$

Utilizând informațiile din următorul tabel:

Tabel A4.2. Număr de căderi pentru fiecare IED, în perioada de 4 luni de test în stația electrică

IED1	IED2	IED3	IED4
0 căderi	3 căderi / 3 IED-uri	1 cădere / 1 IED	0 căderi

se calculează probabilitățile de defectare a priori ale IED-urilor din cabina de relee 2.

Pentru IED-urile de tip IED1 din cabina de relee 2, n-a fost constatată nici o cădere în perioada de 4 luni.

$$P(E=\text{defect}|A1) = 0$$

Pentru IED-urile de tip IED2 din cabina de relee 2, au fost constatate 3 căderi la 3 IED-uri diferite din totalul de 9 IED-uri de tip IED2, în perioada de 4 luni.

$$P(E=\text{defect}|A2) = 0,083$$

Pentru IED-urile de tip IED3 din cabina de relee 2, a fost constatată 1 cădere la 1 IED din totalul de 3 IED-uri de tip IED3, în perioada de 4 luni.

$$P(E=\text{defect}|A3) = 0,083$$

Pentru IED-urile de tip IED4 din cabina de relee 2, n-a fost constatată nici o cădere în perioada de 4 luni.

$$P(E=\text{defect}|A4) = 0$$

Se calculează probabilitatea de defectare a nodului tip server local din cabina de relee 2, notat în continuare CR2, modelat prin rețeaua Bayesiană:

$$P(CR1|E=\text{defect}) = P(A1) \times P(E=\text{defect}|A1) + P(A2) \times P(E=\text{defect}|A2) + P(A3) \times P(E=\text{defect}|A3) + P(A4) \times P(E=\text{defect}|A4) = 0,083 \times 0,5625 + 0,083 \times 0,1875 = 0,052$$

Deci, probabilitatea de defectare a subsistemului de monitorizare din cabina de relee 2 este de 5,2%.

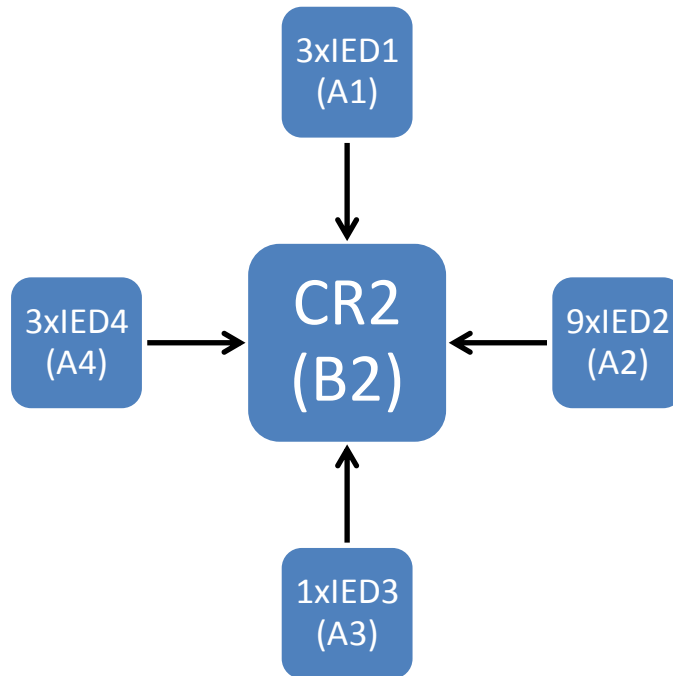


Fig. A3.2. Distribuția IED-urilor pentru cabina de relee CR2 și notația conform rețelei Bayesiene

Se calculează probabilitatea de defectare a subsistemului de monitorizare și control aferent cabinei de relee 3: **Server local CR3.**

În total sunt 23 IED-uri în cabina de relee 3: 4 IED-uri de tip IED1 (A1), 12 IED-uri de tip IED2 (A2), 3 IED-uri de tip IED3 (A3) și 4 IED-uri de tip IED4 (A4). Utilizând aceste informații, se calculează probabilitățile pentru nodurile de tip IED din cabina de relee 3:

$$P(A1) = 4/23 = 0,17$$

$$P(A2) = 12/23 = 0,52$$

$$P(A3) = 3/23 = 0,13$$

$$P(A4) = 4/23 = 0,18$$

Utilizând informațiile din tabelul A4.3 se calculează probabilitățile de defectare a priori ale IED-urilor din cabina de relee 3.

Tabel A4.3. Număr de căderi pentru fiecare IED, în perioada de 4 luni de test în stația electrică

IED1	IED2	IED3	IED4
4 căderi / 4 IED-uri	12 căderi / 12 IED-uri	3 căderi / 3 IED-uri	4 căderi / 4 IED-uri

Pentru IED-urile de tip IED1 din cabina de relee 3, au fost constatate 4 căderi la 4 IED-uri diferite din totalul de 4 IED-uri de tip IED1, în perioada de 4 luni.

$$P(E=\text{defect}|A1) = 0,25$$

Pentru IED-urile de tip IED2 din cabina de relee 3, au fost constatate 12 căderi la 12 IED-uri diferite din totalul de 12 IED-uri de tip IED2, în perioada de 4 luni.

$$P(E=\text{defect}|A2) = 0,25$$

Pentru IED-urile de tip IED3 din cabina de relee 3, au fost constatate 3 căderi la 3 IED-uri din totalul de 3 IED-uri de tip IED3, în perioada de 4 luni.

$$P(E=\text{defect}|A3) = 0,33$$

Pentru IED-urile de tip IED4 din cabina de relee 3, au fost constatate 4 căderi la 4 IED-uri diferite din totalul de 4 IED-uri de tip IED4, în perioada de 4 luni.

$$P(E=\text{defect}|A4) = 0,25$$

Se calculează probabilitatea de defectare a nodului tip server local din cabina de relee 3, notat în continuare CR3, modelat prin rețeaua Bayesiană:

$$P(\text{CR3}|E=\text{defect}) = P(A1) \times P(E=\text{defect}|A1) + P(A2) \times P(E=\text{defect}|A2) + P(A3) \times$$

$$P(E=\text{defect}|A3) + P(A4) \times P(E=\text{defect}|A4) = 0,25 \times 0,17 + 0,25 \times 0,52 + 0,33 \times 0,13 + 0,25 \times 0,18 = 0,26$$

Deci, probabilitatea de defectare a subsistemului de monitorizare din cabina de relee 3 este de 26%.

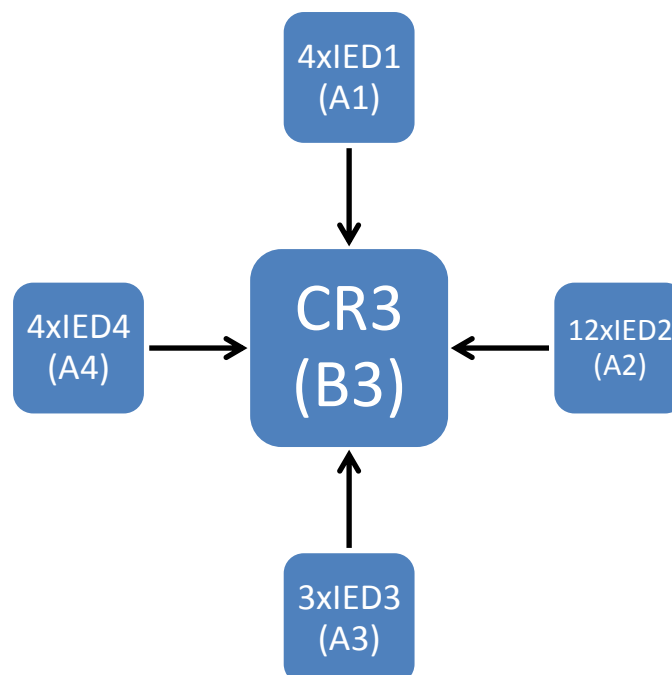


Fig. A3.3. Distribuția IED-urilor pentru cabina de relee CR3 și notația conform rețelei Bayesiene

Se calculează probabilitatea de defectare a subsistemului de monitorizare și control aferent cabinei de relee 4: **Server local CR4.**

În total sunt 16 IED-uri în cabina de relee 4: 3 IED-uri de tip IED1 (A1), 9 IED-uri de tip IED2 (A2), 1 IED de tip IED3 (A3) și 3 IED-uri de tip IED4 (A4). Utilizând aceste informații, se calculează probabilitățile pentru nodurile de tip IED din cabina de relee 4:

$$P(A1) = 3/16 = 0,1875$$

$$P(A2) = 9/16 = 0,5625$$

$$P(A3) = 1/16 = 0,0625$$

$$P(A4) = 3/16 = 0,1875$$

Utilizând informațiile din tabelul A4.4 se calculează probabilitățile de defectare a priori ale IED-urilor din cabina de relee 4.

Tabel A4.4. Număr de căderi pentru fiecare IED, în perioada de 4 luni de test în stația electrică

IED1	IED2	IED3	IED4
0 căderi	0 căderi	0 căderi	0 căderi

Pentru IED-urile de tip IED1 din cabina de relee 4, nu au fost înregistrate căderi.

$$P(E=defect|A1) = 0$$

Pentru IED-urile de tip IED2 din cabina de relee 4, nu au fost înregistrate căderi.

$$P(E=defect|A2) = 0$$

Pentru IED-urile de tip IED3 din cabina de relee 4, nu au fost înregistrate căderi.

$$P(E=defect|A3) = 0$$

Pentru IED-urile de tip IED4 din cabina de relee 4, nu au fost înregistrate căderi.

$$P(E=defect|A4) = 0$$

Se poate calcula probabilitatea de defectare a nodului tip server local din cabina de relee 4, notat în continuare CR4, modelat prin rețeaua Bayesiană:

$$P(\text{CR4}|\text{E=defect}) = P(A1) \times P(\text{E=defect}|A1) + P(A2) \times P(\text{E=defect}|A2) + P(A3) \times P(\text{E=defect}|A3) + P(A4) \times P(\text{E=defect}|A4) = 0$$

Deci, probabilitatea de defectare a subsistemului de monitorizare din cabina de rele 4 este de 0%.

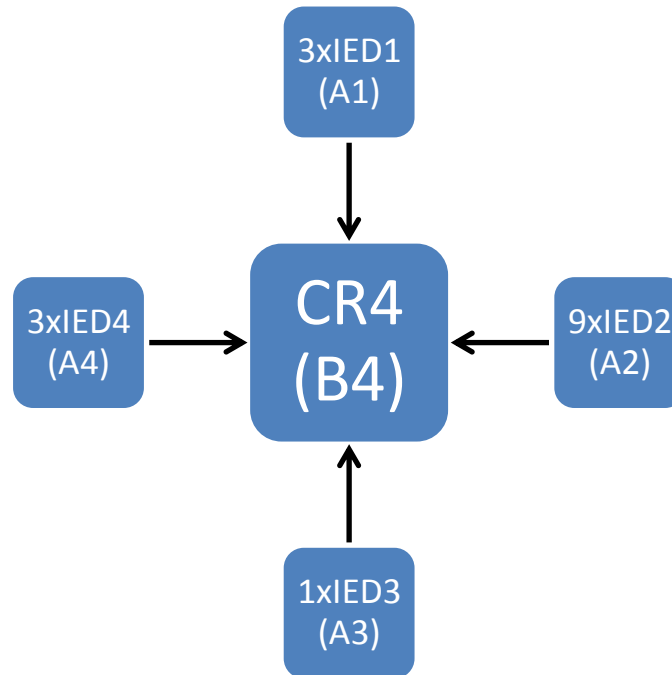


Fig. A3.4. Distribuția IED-urilor pentru cabina de rele CR4 și notația conform rețelei Bayesiene

Se calculează probabilitatea de defectare a subsistemului de monitorizare și control aferent cabinei de rele 5: **Server local CR5.**

În total sunt 15 IED-uri în cabina de rele 5: 3 IED-uri de tip IED1 (A1), 9 IED-uri de tip IED2 (A2), nici un IED de tip IED3 (A3) și 3 IED-uri de tip IED4 (A4). Utilizând aceste informații, se calculează probabilitățile pentru nodurile de tip IED din cabina de rele 5:

$$P(A1) = 3/15 = 0,2$$

$$P(A2) = 9/15 = 0,6$$

$$P(A3) = 0/15 = 0$$

$$P(A4) = 3/15 = 0,2$$

Utilizând informațiile din tabelul A4.5, se calculează probabilitățile de defectare a priori ale IED-urilor din cabina de rele 5.

Tabel A4.5. Număr de căderi pentru fiecare IED, în perioada de 4 luni de test în stația electrică

IED1	IED2	IED4
0 căderi	3 căderi / 3 IED-uri	3 căderi / 3 IED-uri

Pentru IED-urile de tip IED1 din cabina de relee 5, nu au fost constatate căderi la cele 3 IED-uri diferite, în perioada de 4 luni.

$$P(E=\text{defect}|A1) = 0$$

Pentru IED-urile de tip IED2 din cabina de relee 5, au fost constatate 3 căderi la 3 IED-uri diferite din totalul de 9 IED-uri de tip IED2, în perioada de 4 luni.

$$P(E=\text{defect}|A2) = 0,083$$

Nu există IED-uri de tip IED3 în cabina de relee 5.

$$P(E=\text{defect}|A3) = 0$$

Pentru IED-urile de tip IED4 din cabina de relee 5, a fost constatată o cădere la 1 IED din totalul de 3 IED-uri de tip IED4, în perioada de 4 luni.

$$P(E=\text{defect}|A4) = 0,083$$

Se calculează probabilitatea de defectare a nodului tip server local din cabina de relee 5, notat în continuare CR5, modelat prin rețeaua Bayesiană:

$$P(\text{CR5}|E=\text{defect}) = P(A1) \times P(E=\text{defect}|A1) + P(A2) \times P(E=\text{defect}|A2) + P(A3) \times P(E=\text{defect}|A3) + P(A4) \times P(E=\text{defect}|A4) = 0,083 \times 0,6 + 0,083 \times 0,2 = 0,198 + 0,066 = 0,066$$

Deci, probabilitatea de defectare a subsistemului de monitorizare din cabina de relee 5 este de 6,6%.

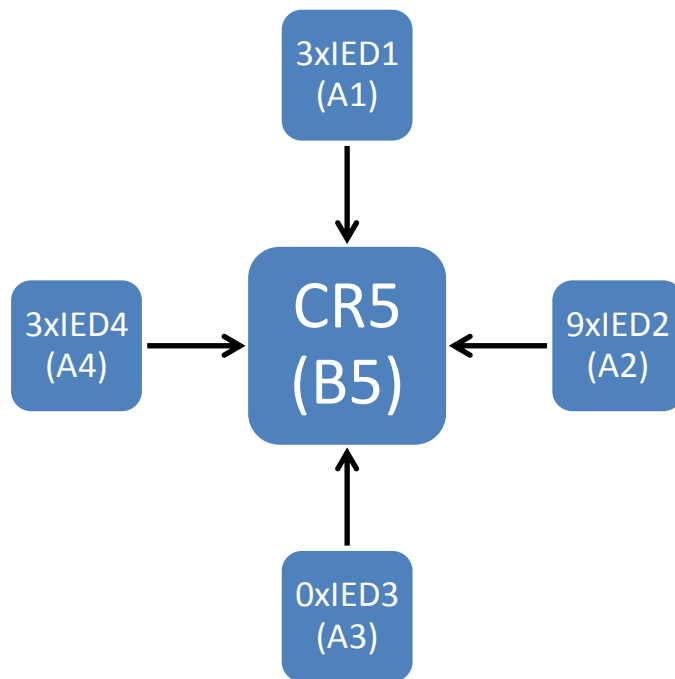


Fig. A3.5. Distribuția IED-urilor pentru cabina de relee CR5 și notația conform rețelei Bayesiene

Anexa 5. Exemplu de date de test generate prin metoda Pairwise testing

Se iau în considerare 6 mărimi analogice ce pot lua fiecare câte 6 valori:

Parametrul 0 (mărime analogica MA1): -1, 0, 1, 399, 400, 401

Parametrul 1 (mărime analogica MA2): -1, 0, 1, 399, 400, 401

Parametrul 2 (mărime analogica MA3): -1, 0, 1, 399, 400, 401

Parametrul 3 (mărime analogica MA4): -1, 0, 1, 299, 300, 301

Parametrul 4 (mărime analogica MA5): -1, 0, 1, 299, 300, 301

Parametrul 5 (mărime analogica MA6): -1, 0, 1, 299, 300, 301

O selecție a cazurilor de test obținute utilizând metoda *Pairwise testing* este prezentată în continuare:

Cazul de test 0: -1 -1 -1 -1 -1 -1

1: 0 0 0 -1 0 0

2: 1 1 -1 0 1 0

3: 399 399 -1 1 0 1

4: 400 400 1 -1 1 1

5: 401 401 0 0 -1 1

6: 1 -1 399 299 0 299

7: 399 -1 400 300 299 0

8: -1 399 401 301 300 0

9: 0 400 -1 299 301 300

10: 400 0 399 0 299 301

11: 401 1 1 300 0 -1

12: 0 401 400 1 1 -1

13: 399 1 401 -1 301 299

14: 1 0 1 301 -1 300

15: 1 401 -1 300 300 301

16: -1 400 0 1 299 299

17: 400 399 0 299 301 -1

18: 401 399 399 -1 1 300

19: 401 400 400 301 0 301

20: 0 -1 401 301 299 1

21: 399 400 399 0 300 -1

22: -1 0 400 299 300 1

23: 400 1 400 1 -1 300
24: 399 401 1 299 299 0
25: 0 399 401 300 -1 299
26: -1 -1 1 1 301 301
27: 400 401 401 0 0 300
28: 401 0 -1 1 300 299
29: 1 -1 0 -1 300 300
30: -1 1 399 300 301 1
31: 399 1 0 301 1 301
32: 1 399 400 0 301 299
33: 0 1 1 0 300 299
34: 401 -1 401 299 1 301
35: 400 400 399 300 -1 0
36: 400 401 399 301 301 299
37: 1 0 401 1 299 -1
38: -1 401 -1 -1 299 300
39: 1 400 401 299 -1 1
40: 399 0 0 300 1 300
41: 400 -1 -1 301 300 -1
42: 0 0 399 1 301 0
43: -1 -1 -1 0 0 -1
44: -1 -1 400 -1 1 299
45: 399 399 1 -1 -1 301
46: 401 1 -1 299 299 0
47: 401 -1 -1 -1 301 -1
48: 0 -1 -1 -1 -1 301
49: -1 399 -1 -1 299 -1